

Şt. Drăgan

*Exploatarea
și întreținerea
transformatoarelor
de măsură*

colectia
electricianului



editura tehnica

Lucrarea prezintă, la un nivel accesibil, problemele legate de construcția, funcționarea și exploatarea transformatoarelor de curent și de tensiune folosite în schemele de măsură, protecție și automatizare. Sunt indicate metodele cele mai eficiente din punct de vedere tehnic și economic pentru verificarea și încercarea transformatoarelor, în vederea realizării și menținerii unor caracteristici tehnice corespunzătoare și a exploatarii în condiții bune a instalațiilor.

Cartea se adresează electricienilor, maștrilor și tehnicienilor care lucrează în instalațiile electrice ale întreprinderilor de electricitate, ale secțiilor PRAM, ale întreprinderilor industriale, ale sănătăților etc.

1. Principiile de funcționare ale transformatoarelor de măsură

1.1. Bazele teoretice ale funcționării transformatoarelor de măsură

Transformatorul de măsură este un aparat electromagnetic static, care transformă parametrii energiei în curent alternativ (tensiunea respectiv curentul), reducind valoarea acestora de un anumit număr de ori. Funcționarea transformatoarelor de măsură se bazează pe inducția electromagnetică dintre două circuite (infășurări)

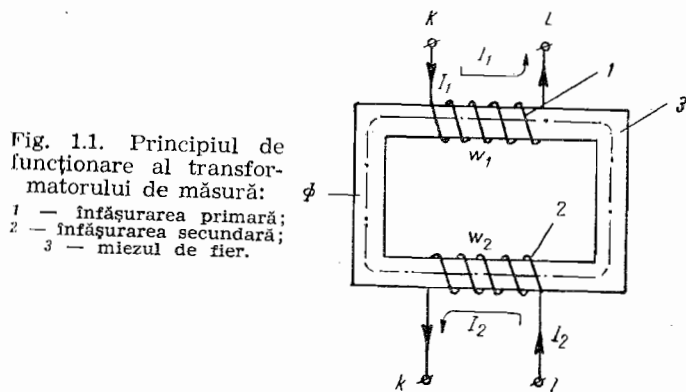


Fig. 1.1. Principiul de funcționare al transformatorului de măsură:

1 — infășurarea primară;
2 — infășurarea secundară;
3 — miezul de fier.

Control științific: ing. **MIRCEA SUPP**
Redactor: ing. **MARCEL CROITORU**
Tehnoredactor: **MARIA IONESCU**
Coperta: arh. **VALENTIN VIȘAN**

electrică, cuplate electromagnetic. Curentul alternativ I_1 ce parcurge infășurarea primară 1 din fig. 1.1 creează un flux alternativ Φ care, în ceea mai mare parte, se închide prin circuitul magnetic 3, construit din tole de oțel electro-

tehnic. Fluxul alternativ Φ întreține spirele înfășurării secundare 2 și induce în acestea o tensiune electromotoare alternativă e_2 , a cărei valoare instantanee se exprimă matematic prin relația

$$e_2 = -w_2 \frac{d\Phi}{dt}. \quad (1.1)$$

Relația ne arată că valoarea instantanee a tensiunii electromotoare (t.e.m.) e_2 induse în înfășurarea secundară 2 este egală cu produsul dintre numărul de spire w_2 ale înfășurării secundare și viteza cu care variază fluxul magnetic în timp ($d\Phi/dt$), luată cu semn schimbat. Valoarea efectivă a t.e.m. induse (exprimată în volți) se determină cu relația

$$E_2 = 4,44 f w_2 \Phi, \quad (1.2)$$

în care:

f — frecvența tensiunii de alimentare, în Hz;
 w_2 — numărul de spire ale înfășurării secundare;
 Φ — valoarea efectivă a fluxului magnetic, în Wb.

Dacă circuitul înfășurării secundare este conectat la receptoare exterioare (care în cazul transformatoarelor de măsură sunt aparatele de măsurat, releele etc.), în circuit apare un curent. Valoarea sarcinii determină încărcarea secundară a transformatoarelor, care se poate exprima prin produsul dintre curentul secundar I_2 și tensiunea secundară U_2 .

1.2. Rolul transformatoarelor de măsură și domeniul lor de utilizare

Transformatoarele de măsură au rolul de a transforma tensiunea, respectiv curentul, dintr-o instalație electrică (în mod obișnuit micșorind valoarea acestora), în scopul:

- lărgirii domeniului de măsurare al unei serii de aparatelor de măsurat, de curent alternativ;
- alimentării circuitelor de protecție prin relee cu tensiuni, respectiv cu curenți, într-un anumit raport față de cele din circuitele primare, în vederea obținerii unor mă-

rimi secundare normale (de exemplu 1 A sau 5 A și tensiunea de 100 V);

— protejării instalațiilor circuitelor secundare, a releeelor și a aparatelor de măsurat, împotriva străpușerii izolației acestora de către tensiunea înaltă a instalațiilor primare;

— protejării personalului de exploatare împotriva electrocutării, atunci cînd vine în contact cu instalațiile de măsurare și protecție.

Protejarea personalului de exploatare și a circuitelor secundare față de tensiunea înaltă a circuitelor primare se realizează atât prin izolația înfășurării secundare a transformatoarelor de măsură față de înfășurarea primară, cît și prin legarea la pămînt a uneia dintre bornele înfășurării secundare.

Transformatoarele de măsură se utilizează pentru scopurile arătate mai sus, atât în instalațiile electroenergetice de înaltă tensiune, cît și în cele de joasă tensiune (în acestea din urmă se folosesc mai ales transformatoarele de curent). În unele cazuri transformatoarele de măsură pot înlocui transformatoarele pentru încercări de laborator. Domeniul de utilizare al transformatoarelor de măsură și condițiile ce li se impun în ceea ce privește clasa de precizie rezultă din tabelul 5.11.

1.3. Clasificarea transformatoarelor de măsură

Transformatoarele de măsură se clasifică după mai multe criterii.

1. În funcție de parametrul a cărui valoare o reduc, există:

— transformatoare de curent, simbol TC, a căror înfășurare primară se conectează în serie cu circuitul primar, iar bobinajul secundar alimentează releele de curent, ampermetrele, bobinele de curent ale wattmetrelor, contoarelor, fazmetrelor etc. (fig. 1.2).

— transformatoare de tensiune, simbol TT, a căror înfășurare primară se conectează în paralel cu circuitul primar, iar înfășurarea secundară alimentează releele de ten-

R.M.

sime, voltmetrele, bobinele de tensiune ale wattmetrelor, contoarelor, fazmetrelor etc. (fig. 1.2).

2. În funcție de numărul de faze, transformatoarele de măsură pot fi:

monofazate (de curent și de tensiune); bifazate (de tensiune) sau trifazate (de tensiune).

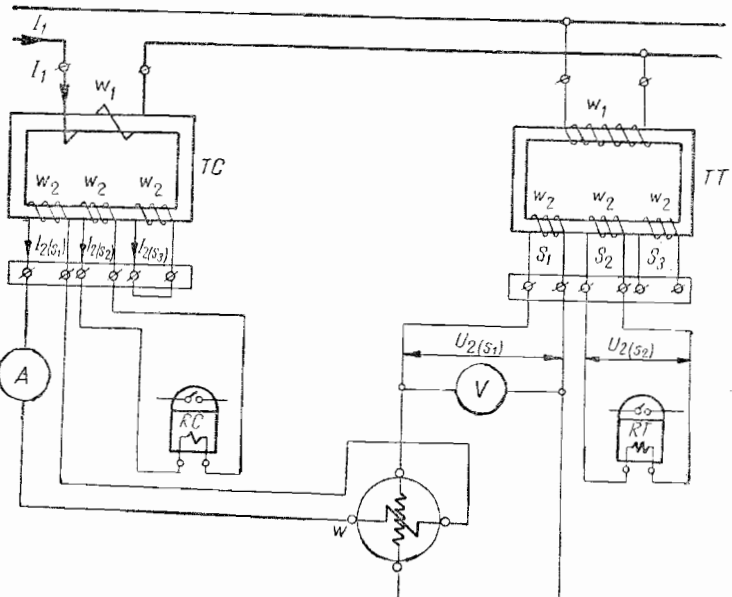


Fig. 1.2. Schema de conectare a transformatoarelor de măsură și modul de alimentare al aparatelor:

TC — transformator de curent; TT — transformator de tensiune; W_1 — infășurarea primară; $W_2(S_1, S_2, S_3)$ — infășurări secundare; A — ampermetru; RC — relee de curent; V — voltmetru; RT — relee de tensiune; W — wattmetru.

3. După numărul infășurărilor secundare, transformatoarele de măsură pot fi:

- cu o singură infășurare secundară;
- cu două sau cu mai multe infășurări secundare.

4. După felul instalației în care sunt destinate a se monta și a funcționa, există:

- transformatoare de tip interior (simbol I);

— transformatoare de tip exterior (simbol E);
— transformatoare pentru instalații complexe (ce se montează în transformatoare de putere sau în întrerupătoare).

5. După modul în care se instalează, deosebim:

- transformatoare de trecere, simbol T (numai pentru cele de curent);
- transformatoare tip suport (simbol S).

6. După felul izolației dintre infășurarea primară și cea secundară, deosebim:

- transformatoare cu aer sau uscate;
- transformatoare cu izolație în ulei (simbol U);
- transformatoare cu izolație de portelan (simbol P);
- transformatoare cu izolație de rășini sintetice de turărare (simbol R).

7. În funcție de caracteristicile tehnice nominale (v. § 1.4.1 și 1.4.2).

8. În funcție de tensiunea infășurării primare, deosebim:

- transformatoare de înaltă tensiune;
- transformatoare de joasă tensiune;
- transformatoare de tensiune în cascadă (utilizate în instalațiile de foarte înaltă tensiune (de la 220 kV în sus)).

9. În funcție de destinație, deosebim:

- transformatoare montate în instalații electrice;
- transformatoare de laborator;
- transformatoare portative;
- transformatoare montate în scheme speciale.

1.4. Caracteristicile transformatoarelor de măsură

1.4.1. Caracteristicile transformatoarelor de tensiune

Caracteristicile principale ale transformatoarelor de tensiune, prevăzute de STAS 4324-62 și STAS 4323-62, sunt următoarele:

- tensiunea nominală primară U_{1n} ;
- tensiunea nominală secundară U_{2n} ;
- tensiunea maximă de lucru U_{max} , adică valoarea efectivă cea mai mare a tensiunii, în condiții normale de ex-

ploatare, la care transformatorul de tensiune poate funcționa în regim de lucru de lungă durată;

— tensiunea de încercare U_i , adică valoarea tensiunii de frecvență industrială sau de impuls la care se încearcă transformatorul de tensiune;

— raporturile de transformare, nominal k_n și efectiv sau real k_e ;

— eroarea de tensiune Δ_u și de unghi δ_u ;

— clasa de precizie;

— puterea nominală P_{2n} și puterea nominală maximă P_{max} ;

— frecvența nominală, adică frecvența tensiunii de alimentare pentru care este destinat a funcționa transformatorul și la care sunt îndeplinite condițiile clasei de precizie.

1.4.2. Caracteristicile transformatoarelor de curent

Caracteristicile tehnice principale ale transformatoarelor de curent sunt următoarele:

— curentul nominal primar I_{1n} și curentul nominal secundar I_{2n} ;

— tensiunea nominală U_n , în kV, egală cu tensiunea nominală a rețelei electrice pentru care este dimensionat și construit transformatorul, care este înscrișă pe plăcuța lui indicatoare;

— tensiunea maximă de lucru sau de serviciu U_{max} ;

— tensiunea de încercare U_i , sinusoidală, cu frecvență de 50 Hz;

— raporturile de transformare, nominal k_n și efectiv sau real k_e ;

— curentul limită dinamic I_d , care reprezintă valoarea de vîrf, în kA, a primei alternanțe a curentului primar de scurtcircuit (curentul de soc) pentru care stabilitatea dinamică a transformatorului este asigurată (fără a se deteriora sub acțiunea forțelor electrodinamice), înfășurarea secundară a acestuia fiind scurtcircuitată;

— curentul limită termic I_t , în kA, care reprezintă valoarea efectivă cea mai mare a curentului primar de scurtcircuit, pe care transformatorul de curent, având înfășu-

rările secundare scurtcircuitate, îl poate suporta timp de o secundă, fără a depăși limita de încălzire;

— eroarea de curent Δ_i și de unghi δ_i ;

— clasa de precizie;

— sarcina secundară Z_2 și sarcina nominală secundară Z_{2n} ;

— puterea nominală P_n , în VA;

— curentul de magnetizare I_0 ;

— curentul nominal primar de saturatie I_{1sn} , curentul nominal secundar de saturatie I_{2sn} și coeficientul de saturatie n .

Definițiile caracteristicilor enumerate sunt precizate în lucrare la capitolele respective.

1.5. Comportarea transformatoarelor de măsură în diferite regimuri de funcționare ale sistemului electroenergetic

Funcționarea corectă a instalațiilor de protecție și a celor de măsurare este determinată și de gradul de exactitate cu care transformatoarele de măsură pot reproduce în secundar tensiunea, respectiv curentul rețelei în care sunt montate. În regim normal de funcționare al sistemului, cînd parametrii rețelei au valori în jurul parametrilor nominali ai transformatoarelor de măsură, acestea reproduc în înfășurările secundare parametrii primari, cu o exactitate determinată de clasa lor de precizie. Prin urmare, aparatelor de măsurat și releele de protecție vor fi alimentate cu un curent, respectiv cu o tensiune secundară, proportionale (în limitele clasei de precizie a transformatoarelor de măsură) cu curentul, respectiv cu tensiunea din primar. Unele regimuri anormale de funcționare, cum sunt regimurile tranzistorii, scurtcircuitele asimetrice etc., care apar în exploatarea sistemelor electroenergetice, fac ca transformatoarele de măsură să nu mai reproducă cu fiabilitate valorile mărimilor primare, datorită unor fenomene relativ complexe ce au loc în timpul acestor regimuri. Acest lucru influențează în special funcționarea protecțiilor, care au rolul de a sesiza cît mai real și mai

rapid regimurile anormale, pentru a acționa în consecință. Privită problema din acest punct de vedere, în ultimii ani s-au efectuat și sînt în curs o serie de studii, cercetări și experimentări asupra modului de comportare a transformatoarelor de măsură în timpul regimurilor tranzitorii. Toate acestea se efectuează în scopul stabilirii unor metode de calcul și de dimensionare a transformatoarelor de măsură, metode care să țină cont de particularitățile de funcționare ale acestora în regimurile tranzitorii și pe baza cărora transformatoarele să se construiască de așa manieră încît ele să asigure corecta alimentare a instalațiilor de protecție. De asemenea, se urmărește stabilirea unor metode de măsurare a erorii transformatoarelor de măsură în condițiile funcționării lor în regimuri tranzitorii, metode care să reproducă cît mai exact condițiile reale ce se întâlnesc în exploatare. Bineînțeles că în acest sens nu s-au epuizat toate posibilitățile și urmează ca cercetările ce se efectuează să contribuie la rezolvarea în continuare a problemelor amintite.

1.6. Alegerea transformatoarelor de măsură

Siguranța în funcționare a transformatoarelor de măsură este determinată de alegerea corectă a acestora, atât din punctul de vedere al regimului normal de funcționare, cît și din punctul de vedere al regimurilor de avarie ale rețelei în care sunt montate. Principal, alegerea transformatoarelor de măsură se face comparîndu-se parametrii determinați prin calcul cu cei din cataloagele de aparate. Se vor alege acelea ale căror caracteristici constructive corespund acoperitor cu toți parametrii calculați.

1.6.1. Alegerea transformatoarelor de tensiune

Transformatoarele de tensiune nu se verifică la stabilitate termică și electrodinamică, întrucît ele sunt conectate în paralel la rețea, astfel încît în cazul unui scurtcircuit în acestea, ele nu sunt supuse acțiunii curentului de scurtcircuit. Alegerea transformatoarelor de tensiune se

face în baza verificării următoarelor caracteristici ale acestora:

- tensiunea nominală primară a transformatorului de tensiune U_{1n} , ce trebuie să fie egală cu tensiunea nominală a rețelei la care se conectează (intre faze, respectiv pe fază);

- tensiunea nominală secundară a transformatorului de tensiune U_{2n} , ce trebuie să fie egală cu tensiunea nominală a aparatelor pe care le alimentează;

- tipul transformatorului de tensiune și schema sa de conexiune, care se aleg în funcție de destinația lui (de exemplu, pentru alimentarea conțoarelor și a wattmetrelor trifazate se pot utiliza transformatoare de tensiune monofazate legate în V, iar pentru alimentarea aparatelor destinate controlului izolației se utilizează trei transformatoare monofazate legate în stea sau un transformator cu cinci coloane, cu aceeași schemă de conexiuni);

- clasa de precizie a transformatorului de tensiune, care trebuie să corespundă clasei de precizie a aparatelor pe care le alimentează (conform tabelului 5.11); dacă transformatorul alimentează mai multe aparițe cu clase de precizie diferite, clasa de precizie a transformatorului trebuie să corespundă aparatelor cu clasa de precizie cea mai bună;

- puterea nominală a transformatorului de tensiune P_{2n} , corespunzătoare preciziei ce trebuie aleasă, se compară cu puterea P_2 absorbită de toate aparatelor de măsurat și releele conectate la bornele secundare ale transformatorului; se consideră că transformatorul de tensiune s-a ales corect din punctul de vedere al puterii nominale, dacă este îndeplinită condiția $P_{2n} > P_2$.

1.6.2. Alegerea transformatoarelor de curent

Se consideră că un transformator de curent s-a ales corect, dacă sunt respectate condițiile de alegere și verificare indicate în tabelul 1.1.

Metodologia de verificare a erorilor în condițiile reale de funcționare ale transformatoarelor de curent utilizate pentru protecții (tabelul 1.1) constă în următoarele:

Tabelul 1.1

Tabelul 1.1 (continuare)

Alegerea și verificarea transformatoarelor de curent

Parametrii de verificat			
Regimul de funcționare al retelei	Ai transformatorului de curent	Ai rețelei în care se montează transformatoarele de curent sau ai circuitelor secundare alimentate de acestea	Condiții de alegere și verificare
Regimul normal de funcționare	Tensiunea nominală U_n , în kV	Tensiunea nominală a rețelelor U_{nr} , în kV	$U_n \geq U_{nr}$
	Curentul nominal primar I_{1n} , în A	Curentul de sarcină de lungă durată a rețelei I_{sr} , în A	$I_{1n} \geq I_{sr}$
	Curentul nominal secundar I_{2n} , în A	Curentul nominal al aparatelor conectate la bornele secundare ale transformatorului $I_{nap}=5\text{A}$ sau 1A	$I_{2n} = I_{nap}$
	Sarcina secundară nominală Z_{2n} , în Ω (calculată din puterea secundară P_{2n})	Sarcina Z_2 , în Ω (impedanța reală a circuitului exterior conectat la bornele secundare)	$Z_{2n} \geq Z_2$
	Puterea nominală secundară $P_{2n}=Z_{2n} I_{2n}$, în VA	Puterea nominală absorbită de toate aparatelor conectate la bornele secundare ale transformatorului de curent P_{ncp} , în VA	$P_{2n} \geq P_{ncp}$
	Erorile de curent, în %, și de unghi, în min	Conform indicațiilor din tabelul 5.11	Conform tabelului 5.11

Parametrii de verificat			Condiții de alegere și verificare
Regimul de funcționare al rețelei	Ai transformatorului de curent	Ai rețelei în care se montează transformatoarele de curent sau ai circuitelor secundare alimentate de acestea	
Regim de scurtcircuit în instalație	Coeficientul de saturare n	—	Conform precizărilor din subcap. 5.10
	Curentul de stabilitate termică al transformatorului I_t , în kA	Curentul efectiv de scurtcircuit de soc maxim ce trece prin transformator (I_{soc} , în kA)	$I_t > I_{soc}$
	Curentul de stabilitate dinamică I_d , în kA	Amplitudinea curentului de scurtcircuit de soc I_{soc}	$I_d > I_{soc}$
	Eroarea de curent, în % (pentru protecție)	—	$\Delta_i \leq 10\%$
	Eroarea de unghi, în min (pentru protecție)	—	$\delta_i \leq 7^\circ$
	— se calculează sarcina secundară Z_2 conform § 5.13 (tabelul 5.22); — în funcție de sarcina Z_2 , se ia din curbele erorilor de 10% ale transformatorului de curent (care reprezintă variația raportului I_1/I_{1n} în funcție de sarcina secundară Z_2).		

Tabelul 1.2

Calculul curentului de defect [3]

Relația de calcul al curentului de defect I_{1def}	Felul protecției	Semnificația notațiilor și valoarea lor
$I_{1def} = \frac{(1,1..1,2)I_{2p}k_n}{k_{rev} k_{sch}}$	<ul style="list-style-type: none"> — Maximală rapidă (secționare de curent) — Maximală cu temporizare independentă — Maximală cu temporizare dependentă (valoarea lui I_{2p} este cea corespunzătoare caracteristicii reglate a protecției) 	<p>I_{2p} este curentul de pornire al releului k_n — raportul de transformare al transformatorului de curent k_{sch} — coeficientul de schemă, a cărui valoare se ia din tabelul 5.22 $k_{rev}=0,85$</p>
$I_{1def} = k I_{sc max}$	<ul style="list-style-type: none"> — Protecții direcționale — Protecții diferențiale — Protecții de distanță 	<p>$I_{sc max}$ este curentul maxim de scurtcircuit k — coeficientul de corecție, care ține cont de saturarea transformatoarelor de curent în regim transistoriu ($k=1$, pentru temporizări ale protecției $t=1s$; $k=1,5$, pentru $t=0,3s$; $k=2$, pentru $t=0,1s$)</p>

pentru care eroarea de curent este mai mică de 10%) valoarea coeficientului de multiplicitate maxim admis, dată de relația

$$m_a = \frac{I_{1max}}{I_{1n}} ; \quad (1.3)$$

— se calculează raportul real dintre curentul primar de defect I_{1def} și curentul nominal I_{1n} , cu relația $m_r = \frac{I_{1def}}{I_{1n}}$; valoarea curentului de defect se calculează cu relațiile din tabelul 1.2, în funcție de felul protecției și al schemei de conexiuni a transformatoarelor;

— se compară coeficientul de multiplicitate admis m_a cu raportul real dintre curentul de defect și cel nominal m_r ; se consideră că transformatorul de curent este bine ales dacă este îndeplinită condiția $m_a \geq m_r$; în caz contrar, este necesar să se aleagă un transformator de curent cu I_{1n} mai mare sau se iau măsuri de reducere a valorii Z_2 , prin mărirea secțiunii conductoarelor de legătură.

2. Tipurile constructive și schemele electrice interioare ale transformatoarelor de măsură

2.1. Transformatoare de fabricație românească

Industria electrotehnică românească produce transformatoare de măsură pentru instalații electrice având tensiunea nominală cuprinsă între 0,5 și 220 kV (între faze).

2.1.1. Transformatoare de tensiune

În tabelul 2.1 sunt indicate tipurile constructive de transformatoare de tensiune produse de Uzinele Electroputere din Craiova.

Tabelul 2.1

Tipuri de transformatoare de tensiune fabricate de Uzinele Electropuțere Craiova

Denumirea transformatorului de tensiune	Tipul	Caracteristici tehnice principale ale variantelor fabricate						
		Repartiul de transformare kV/kV	Tensiunea maxima de lucru kV	Tensiunea de incarcare kV	Puterea nominală P _{2n} , în VA	Puterea maxima VA		
1	2	3	4	5	6	7	8	9
Transformator de tensiune monofazat, pentru montaj interior, cu izolația din râșini de turărare	TIRM-0,5	0,38/0,1 0,4/0,1 0,5/0,1	0,46 0,48 0,60	3 3 3	15 30 30	30 60 60	60 90 90	120 180 180
Transformator de tensiune monoizolat, pentru montaj interior, cu izolația din râșini de turărare	TIRM-6	$\frac{5}{\sqrt{3}} / \frac{0,1}{\sqrt{3}} / \frac{0,1}{3}$ $\frac{6}{\sqrt{3}} / \frac{0,1}{\sqrt{3}} / \frac{0,1}{3}$	$6/\sqrt{3}$ $7,2/\sqrt{3}$	27 27	60 60	120 120	240 240	480 480
	TIRM-10	$\frac{10}{\sqrt{3}} / \frac{0,1}{\sqrt{3}} / \frac{0,1}{3}$	$12/\sqrt{3}$	35	60	120	240	480
	TIRM-15	$\frac{15}{\sqrt{3}} / \frac{0,1}{\sqrt{3}} / \frac{0,1}{3}$	$17,5/\sqrt{3}$	45	90	180	300	600

Transformator trifazat, pentru montaj interior, cu izolație din ulei	TIBU-6	5/0,1 6/0,1 10/0,1 15/0,1	3,6 6,0 7,2 12,0 17,5	50 50 80 80 80	50 80 150 150 150	120 200 320 320 320	240 400 400 640 640
Transformator trifazat, pentru montaj interior, cu izolație din râșini de turărare	TIRB-6	5/0,1 6/0,1 10/0,1 15/0,1	6,0 7,2 12,0 17,5	27 35 45	60 60 90 90	120 120 180 180	240 480 480 600 600
Transformator trifazat, pentru montaj interior, cu izolație din râșini de turărare	TITU-6 TITU-10 TITU-15	$\frac{3}{\sqrt{3}} / \frac{0,1}{\sqrt{3}} / \frac{0,1}{3}$ $\frac{5}{\sqrt{3}} / \frac{0,1}{\sqrt{3}} / \frac{0,1}{3}$ $\frac{6}{\sqrt{3}} / \frac{0,1}{\sqrt{3}} / \frac{0,1}{3}$	$3,6/\sqrt{3}$ $6/\sqrt{3}$ $7,2/\sqrt{3}$	50 80 80	80 150 150	200 320 320	400 640 640
Expl. și întrețin. transform. de măsură							

Tabelul 2.1 (continuare)

1	2	3	4	5	6	7	8	9
Transformator de tensiune monofazat, pentru montaj interior, cu izolație din rășini de turăre	TIRM-20	$\frac{20}{\sqrt{3}} / \frac{0,1}{\sqrt{3}} / \frac{0,1}{\sqrt{3}}$	$24/\sqrt{3}$	55	120	240	450	960
	TIRM-25	$\frac{25}{\sqrt{3}} / \frac{0,1}{\sqrt{3}} / \frac{0,1}{\sqrt{3}}$	$30/\sqrt{3}$	65	120	240	480	960
	TIRM-35	$\frac{35}{\sqrt{3}} / \frac{0,1}{\sqrt{3}} / \frac{0,1}{\sqrt{3}}$	$42/\sqrt{3}$	85	120	240	480	960
Transformator de tensiune bifazat, pentru montaj interior, cu izolație din rășini de turăre	TIRB-20	$20/0,1$	24	55	120	240	450	960
	TIRB-25	$25/0,1$	30	65	120	240	480	960
	TIRB-35	$35/0,1$	42	85	120	240	480	960
Transformator de tensiune monofazat, pentru montaj exterior, cu izolație din ulei	TEMU-20	$\frac{20}{\sqrt{3}} / \frac{0,1}{\sqrt{3}} / \frac{0,1}{\sqrt{3}}$	$24/\sqrt{3}$	55	90	180	300	600
	TEMU-25	$\frac{25}{\sqrt{3}} / \frac{0,1}{\sqrt{3}} / \frac{0,1}{\sqrt{3}}$	$30/\sqrt{3}$	65	90	180	300	600
	TEMU-35	$\frac{35}{\sqrt{3}} / \frac{0,1}{\sqrt{3}} / \frac{0,1}{\sqrt{3}}$	$42/\sqrt{3}$	85	90	180	300	600

Transformator de tensiune bifazat, pentru montaj exterior, cu izolație din ulei (de tip inducțiv)	TEBU-20 TEBU-25 TEBU-35	$20/0,1$ $25/0,1$ $35/0,1$	24 30 42	55 65 85	90 90 90	180 180 180	300 300 300	600 600 600
Transformator de tensiune monofazat, cu izolație din ulei, pentru montaj exterior (tip inducțiv cu un singur circuit magnetic)	TEMU-110	$\frac{110}{\sqrt{3}} / \frac{0,1}{\sqrt{3}} / 0,1$	$123/\sqrt{3}$	185	300	600	900	1800

Schemele electrice interioare ale transformatoarelor de tensiune sunt foarte simple și sunt reprezentate în fig. 2.1, unde AX reprezintă

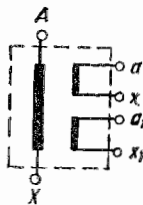


Fig. 2.1. Reprezentarea schemei electrice interioare a transformatorului de tensiune.

tă îmfășurarea primară, iar a_1x_1 și a_2x_2 , îmfășurările secundare. Pentru o ușoară identificare a îmfășurărilor, aceste notații sunt marcate și pe bornele transformatoarelor.

2.1.2. Transformatoare de curent

Tipurile de transformatoare de curent și caracteristicile lor sunt indicate în tabelul 2.2. Schemele electrice interioare ale transformatoarelor

Tipuri de transformatoare de curent fabricate de Uzinele Electroputere Craiova

Denumirea transformatorului de curent	Tipul	Caracteristicile tehnice principale								Observații
		Raportul de transformare I_{1n}/I_{2n}	U_n kV	U_t kV	I_t kA	J_d kA	Clasa de precizie	P_{2n} VA	n	
1	2	3	4	5	6	7	8	9	10	11
Transformator de curent tip trecere, cu izolatie din bachelită, pentru montaj interior	CIT-0,5 t	100—250/5	0,5	3	$I_t = 60 I_{1n}$	—	1	5	<10	Execuție monospirală
Transformator de curent tip sină, cu izolatie din bachelită, pentru montaj interior	CIT-0,5 t	300—3000/5	0,5	3	$I_t = 60 I_{1n}$	—	0,5	10 15 30	<5 <10	Primerul transformator este chiar îmbara instalatiei
Idem, cu izolatie din răsină tur-nată, pentru montaj interior	CIRS-0,5 t	5—300/5	0,5	3	$I_t = 60 I_{1n}$	—	1	5	<5	Pentru condiții grele de mediu (climat tropical umed, marin etc.)
Idem, tip trecere, cu izolatie din răsină tur-nată, pentru montaj interior	CIRT-0,5 t	100—250/5	0,5	3	$I_t = 50 I_{1n}$	—	1	5	<10	Idem, monospiral
Idem, de trecere, tip sină, pentru in-	CIRT-0,5 t	300—3 000/5	0,5	3	$I_t = 60 I_{1n}$	—	0,5	10 15 30	<5 <10	Idem. Bo-binajul primar este format din înșesii bară instalatiei

Tabelul 2.2 (continuare)

1	2	3	4	5	6	7	8	9	10	11
Transformator de curent cu izolație de portelan, tip trecere, pentru montaj interior	CIPT-10; 15	5—400/5	10 15	42 55	$I_t = 90 I_{1n}$	$I_d = 250 I_{1n}$	$\frac{0,5}{3}$	$\frac{15/30}{15/15}$	$<\frac{10}{5}$	Infășurărea primării multișpirală
Transformator de curent tip trecere, monospiral, cu izolație de portelan, pentru montaj interior	CIPT 1—10; 15	600—1500/5	10 15	42 55	$I_t = 100 I_{1n}$	—	$\frac{0,5}{D}$	$\frac{20/50}{20/20}$	$>\frac{20}{10}$	
							$\frac{1}{3}$	$\frac{15}{10}$	$>\frac{15}{10}$	
							$\frac{0,5}{3}$	$\frac{10}{5}$	$<\frac{10}{5}$	
							$\frac{0,5}{3}$	$\frac{15/30}{30/60}$	$>\frac{10}{5}$	
							$\frac{1}{3}$	$\frac{10}{5}$	$<\frac{10}{5}$	
Transformator de curent de trecere, tip sină, cu izolație de portelan, pentru montaj interior	CIP-10	2—500/5	10	42	$I_t = 100 I_{1n}$	$I_d = 250 I_{1n}$	$\frac{0,5}{3}$	$\frac{15/30}{30/30}$	$<\frac{10}{10}$	
Transformator de curent, cu izolație de portelan, tip suport, pentru montaj interior	CIPS-10	15—800/5 2(15—400)/5	10	42	$I_t = 100 I_{1n}$	$I_d = 250 I_{1n}$	$\frac{0,5}{3}$	$\frac{30/30}{30/30}$	$>\frac{10}{5}$	
Transformator de curent tip suport, pentru montaj interior, cu izolație din răsină turată	CIRS-10 a	15—600/5	10	42	$I_t = 100 I_{1n}$	$I_d = 250 I_{1n}$	$\frac{0,5}{D}$	$\frac{15/30}{30/30}$	$<\frac{10}{5}$	
							$\frac{1}{3}$	$\frac{10}{5}$	$>\frac{10}{5}$	

	1	2	3	4	5	6	7	8	9	10	11
Idem, de 35 kV	CIRS-6; 10; 20; 35	$\frac{2(5-400)}{5/5}$	6 10 20 35	27 35 55 85	$I_t = 100 I_{in}$	$I_d = 250 I_{in}$	$\frac{0,5}{3}$ $0,5/3$ D/D	$15/30$ $30/30$ $30/60$ $0,5/1$ $0,2/1$	<5 >10 <10 >5		
Transformator de curent tip suport, cu izolație din ulei, pentru montaj exterior	CESU-35	$5-1\ 000/5$	35 (95)	85	$I_t = 100 I_{in}$	$I_d = 250 I_{in}$	$0,5/3$ $0,5/D$ D/D	$50/50$ $30/30$ $60/60$	>20 <5 <15 >15 <10 >5		
Idem	CESU-35	$\frac{2-50-350}{5/5/5}$	140 (260)	250	$I_t = 100 I_{in}$	$I_d = 250 I_{in}$	$\frac{0,5}{D/3}$ $0,5/D$	30 30 30	<15 >5 >15 >5		
Transformator de curent, cu saturatie rapida, pentru ali- mentarea bobinelor de declan- șare	CIS _r -1	4-5/3,5	1	3	$I_{1 \max} = 9,5 \text{ A}$ $I_{2 \max} = 8 \text{ A}$						
Transformator de curent homopolar (se introduc pe cablu)	CIH-75				$I_{in} = 10 \text{ A}$	0,5	2	0,2		Pentru protecția contra punjerilor la pămînt	

relor de curent de orice tip sînt reprezentate în fig. 2.2, în care KL reprezintă înfăşurarea primară, iar $k_1 l_1$ și $k_2 l_2$ înfăşurările secundare.

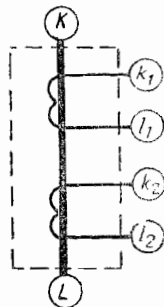


Fig. 2.2. Reprezentarea schemei electrice interioare a unui transformator de curent.

2.2. Transformatoare de fabricație străină

Transformatoarele de măsură obișnuite de fabricație străină sînt similare cu cele de fabricație românească, deosebindu-se de acestea numai în ceea ce privește forma și construcția unora dintre ele. Așa, de exemplu, transformatoarele de tensiune tip Skoda sînt prevăzute cu cîte două secții ale înfășurărilor secundare principale și auxiliare (fig. 2.3).

Cele două secții ale aceleiași înfășurări secundare pot fi legate în serie (în care caz tensiunea secundară este $2U_{2n}$, iar puterea este cea nominală) sau în paralel (în care caz tensiunea secundară este U_{2n} iar puterea $2P_{2n}$). De asemenea se fabrică transformatoare de curent tip Skoda avînd schema interioară din fig. 2.4, la care un secundar are clasa de precizie 0,2 (pentru măsură).

Din categoria transformatoarelor speciale de fabricație străină, cel mai mult se utilizează:

— Transformatorul universal de curent tip UTT, portativ, de fabricație sovietică, avînd forma din fig. 2.5 și schema interioară ca în fig. 2.6. Înfășurarea primară a transformatorului este reprezentată de un cablu flexibil izolat, parcurs de curentul primar și care se bobinează în-

tr-un număr de spire determinat de raportul de transformare dorit, prin orificiul practicat în acest scop.

— Transformatorul de curent dreptunghiular, folosit ca filtru de curent de secvență homopolară în protecția contra

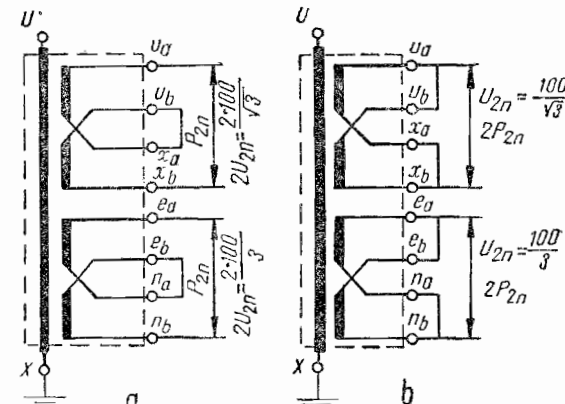


Fig. 2.3. Schema electrică de conexiuni a transformatorului de tensiune Skoda:
a — legarea în serie a secțiunilor; b — legarea în paralel a secțiunilor.

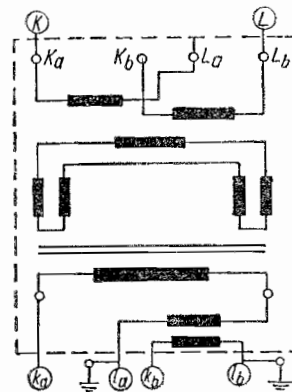


Fig. 2.4. Schema de conexiuni a transformatorului de curent Skoda.

punerilor la pămînt monofazate în statorul generatorului (fig. 2.7). Forma lui este astfel aleasă, încît prin interiorul

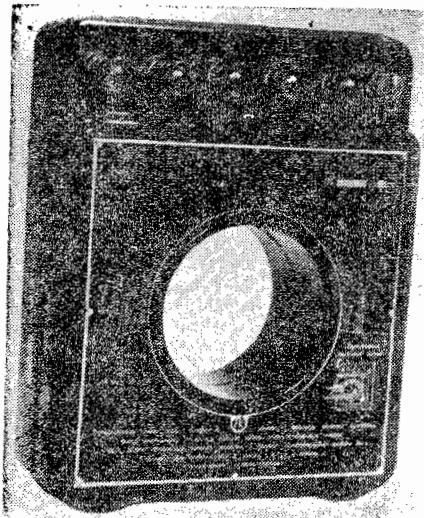


Fig. 2.5. Transformator universal de curent tip UTT.

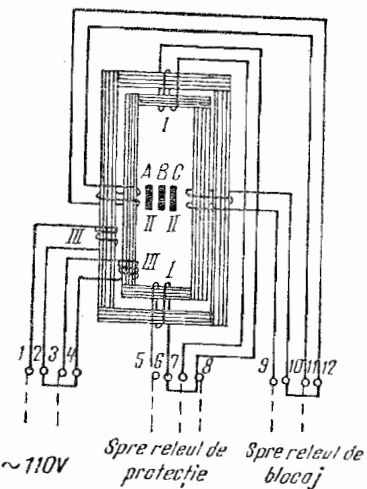


Fig. 2.7. Schema transformatorului dreptunghiular, homopolar de tip TMP-S.

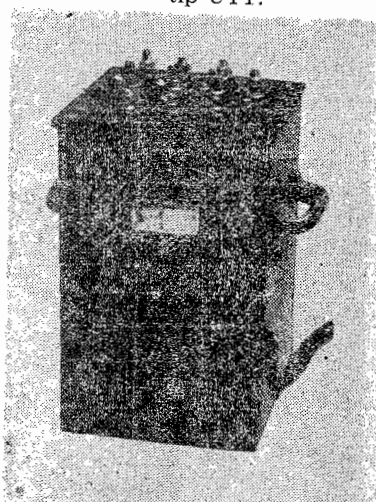


Fig. 2.8. Transformator etalon tip VEM.

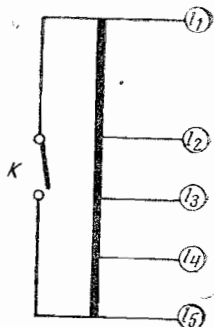


Fig. 2.6. Schema interioară a transformatorului universal de curent tip UTT.

miezului său se poate trece barele sau cablurile generato- rului. În regim normal de funcționare și la scurtcircuitu- bifazate și trifazate, fluxul magnetic rezultant este zero, astfel că în infășurarea secundară bobinată pe miez nu apare tensiune electromotoare. În cazul punerii la pămînt monofazate, fluxul rezultant nu mai este zero, datorită curentului mare din fază defectă, astfel că în secundar apare o tensiune electromotoare, care determină funcțio- narea protecției.

— Transformatoarele etalon tip VEM (fig. 2.8), având mai multe domenii de măsurare.

3. Principiile de exploatare ale transformatoarelor de măsură

Transformatoarele de măsură montate în instalații trebuie supravegheate permanent în timpul funcționării, de către personalul de exploatare. Exploatarea transformatoarelor de măsură constă în următoarele:

- Verificarea aspectului exterior al acestora, conform indicațiilor de la subcap. 5.2.
- Periodic (conform tabelului 5.1) este necesar să se scoată din funcțiune transformatoarele de măsură, pentru luarea probelor de ulei prin bușonul prevăzut în acest scop la partea inferioară a cuvei. Probele respective se trimit la laborator pentru determinarea calității uleiurilor.
- Se completează sau se umplu cu ulei transformatoarele de măsură care necesită acest lucru. Completarea, respectiv umplerea cu ulei, se fac numai pe la bușonul de aerisire, ce se află în partea superioară a cuvei.
- În cazul transformatoarelor de curent cu mai multe infășuri secundare, dacă unele din acestea nu se folosesc, ele trebuie să fie scurtcircuitate. În cazul cînd se lucrează în circuitele secundare alimentare de transformatoarele de curent, acestea fiind în funcțiune, se vor lăsa de asemenea

măsuri ca în timpul lucrării să fie scurtcircuite toate infăşurările secundare, cu ajutorul unor cleme speciale sau cu blocuri de încercare.

— Transformatoarele de măsură trebuie supuse periodic (la termenele indicate în cap. 5) verificărilor și încercărilor prescrise.

— Respectarea normelor de tehnica securității și a instrucțiunilor tehnice interne este obligatorie în timpul exploatarii transformatoarelor de măsură.

— Pentru toate transformatoarele de măsură este necesar să se țină o evidență tehnică la zi, care trebuie să cuprindă cel puțin:

— buletinele de verificare și încercare, emise de întreprinderea constructoare, precum și cele întocmite la punerea în funcțiune și periodic în exploatare sau la verificări ale organelor D.G.M.S.I.;

— datele la care s-au luat probele de ulei și rezultatele acestora, ale schimbării uleiului și ale completărilor cu ulei;

— datele la care s-au efectuat uscări sau reparații ale transformatorului, defecțiunile constatate, modul în care s-au manifestat și ce anume reparații au suferit;

— în ce instalații sunt montate și condițiile specifice de funcționare (temperatura mediului, existența agenților corosivi, încărcarea transformatorului, grupa de conexiuni, raportul de transformare etc.).

4. Schemele de legare a transformatoarelor de măsură în instalațiiile electroenergetice

4.1. Noțiuni generale

În mod obișnuit, prin intermediul transformatoarelor de măsură se controlează următorii parametri caracteristici circuitelor trifazate [3]: curentii pe faze, tensiunea fiecărei

faze față de pămînt și tensiunile între faze. De asemenea, acești parametri, reduși cu ajutorul transformatoarelor de măsură, se pot combina în circuitele secundare în așa fel încât pe de o parte să se poată măsura parametrii derivați, cum sunt: puterea, energia, factorul de putere etc., iar pe de altă parte să se poată obține mărimi care să caracterizeze anumite regimuri de funcționare, normale sau de avarie, ale instalațiilor. Acești parametri cu care se alimentează aparatul din circuitele secundare se pot obține prin realizarea unei serii de scheme de conexiuni ale transformatoarelor de tensiune, respectiv ale celor de curent. Principalele scheme de conexiuni utilizate sunt indicate mai jos.

Avinđ în vedere că o serie de aparițe de măsurat și relee sunt sensibile nu numai la valoarea mărimilor cu care se alimentează ci și la sensul, respectiv la defazajul fazelor acestor mărimi, este necesar să se dea o atenție deosebită modului în care se execută schemele de conexiuni ale transformatoarelor de măsură. Din acest motiv, bornele transformatoarelor de măsură sunt marcate după anumite reguli stabilite de fiecare țară pentru produsele ei. Regulile de marcărire stabilite pentru transformatoarele românești sunt următoarele [3]:

1. Pentru transformatoarele monofazate de tensiune:

— Bornele infășurării primare sunt marcate cu litere mari: *A* pentru începutul infășurării și *X* pentru sfîrșitul ei.

— Bornele infășurării secundare principale — cu literele mici corespunzătoare (*a*, *x*), în așa fel încât, dacă curentul în infășurarea primară circulă de la *A* spre *X*, în cea secundară va circula de la *x* spre *a*, ceea ce face să corespundă pentru circuitul exterior legat la aceste borne sensul de la *a* spre *x*, aşa cum se vede în fig. 4.1.

— Bornele infășurării secundare auxiliare se marchează cu *a₁*, *x₁*.

2. Pentru transformatoarele trifazate de tensiune:

— Începuturile infășurărilor primare ale fazelor *R*, *S*, *T*

se marchează cu literele mari A , B , C , iar sfîrșiturile acestor înfășurări — cu literele mari X , Y , Z ; neutru înfășurării primare se marchează cu litera N .

— Începuturile înfășurărilor secundare principale se marchează cu literele mici corespunzătoare a , b , c , iar sfîrșiturile acestora — cu literele mici x , y , z .

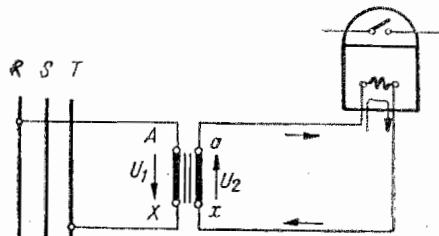


Fig. 4.1. Marcarea bornelor transformatoarelor de tensiune.

— Înfășurarea secundară auxiliară se marchează cu aceleași litere mici, purtînd indicele 1 (a_1 , x_1); neutru înfășurării secundare — cu n .

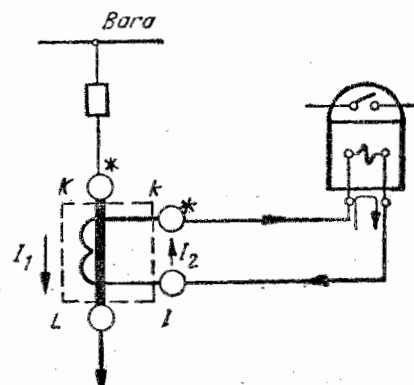


Fig. 4.2. Marcarea bornelor transformatoarelor de curent.

3. Pentru transformatoarele de curent, regula pe care se bazează marcarea bornelor este aceea că aparatul sau releul se conectează la secundarul transformatorului, astfel încît

sensul de curgere al curentului prin aparatul respectiv să fie același ca și în cazul cînd ar fi legat direct în circuitul primar (în rețea).

Începuturile înfășurărilor primare se notează cu literele mari K și L (prima literă marind începutul iar cea de-a doua sfîrșitul bobinajului primar).

— Înfășurările secundare se marchează cu literele mici corespunzătoare k și l , aşa cum se vede în fig. 4.2. Dacă transformatorul are mai multe înfășurări secundare, literele k și l sunt urmate de indici numerici.

4.2. Schemele de legare a transformatoarelor de tensiune

4.2.1. Schema de legare pentru măsurarea tensiunii între faze

Această schemă este reprezentată în fig. 4.3 și se utilizează în toate cazurile în care este necesar să se măsoare o singură tensiune între faze în sistemele cu neutru izolat (în țara noastră, în rețelele de medie tensiune pînă la 35 kV inclusiv). Cazurile practice în care se folosesc această schemă sint:

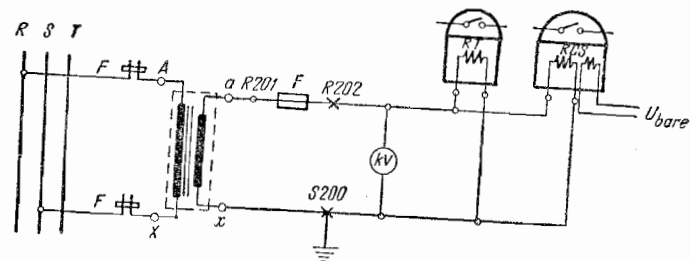


Fig. 4.3. Schema de conexiuni pentru măsurarea tensiunii între faze.

— controlul prezenței tensiunii pe liniile interconectate (cînd măsoară cu un voltmetru etalonat în kilovolti sau se verifică cu o lampă de control);

II - Expl. și întrețin. transform. de măsură

— alimentarea releelor de minimă și maximă tensiune (RT) utilizate în schemele de automatizări (RAR și AAR);

— alimentarea sincronoscopului, a dublu-voltmetrului, a dublu-frecvențimetrușui sau a releului de control al sincronismului (RCS), aparate prin care se controlează condițiile de cuplare în sincronism a două surse.

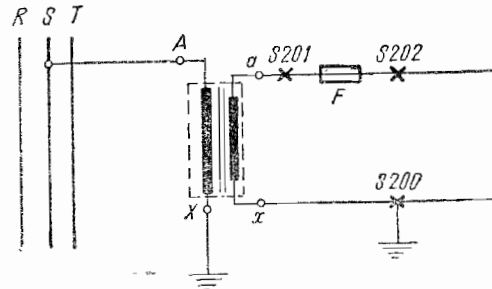


Fig. 4.4. Schema de conexiuni pentru măsurarea tensiunii fazei S față de pămînt, în sistemele cu neutrul legat la pămînt.

În cazul rețelelor cu neutrul legat la pămînt (rețele de 110, 220 și 400 kV), pentru aceleași scopuri se utilizează schema din fig. 4.4 cu care se obține tensiunea fazei S față de pămînt.

4.2.2. Schema de legare în V

Se utilizează în rețelele cu neutrul izolat, pentru alimentarea aparatelor de măsurat, a aparatelor de protecție și automatizare, cu cele trei tensiuni între faze (de exemplu voltmetre, wattmetre și contoare cu două echipaje, relee de tensiune etc.). Pentru realizarea schemei de legare în V sunt necesare două transformatoare bifazate de tensiune, legate ca în fig. 4.5. În scopul realizării acestei conexiuni trebuie să se acorde o atenție deosebită, în sensul ca marcajul bornelor primare respectiv secundare să corespundă notăților din fig. 4.5. Schema are avantajul că se economisește un transformator bifazat de tensiune, dar are dezavantajul că nu se pot obține în secundar tensiunile pe fază.

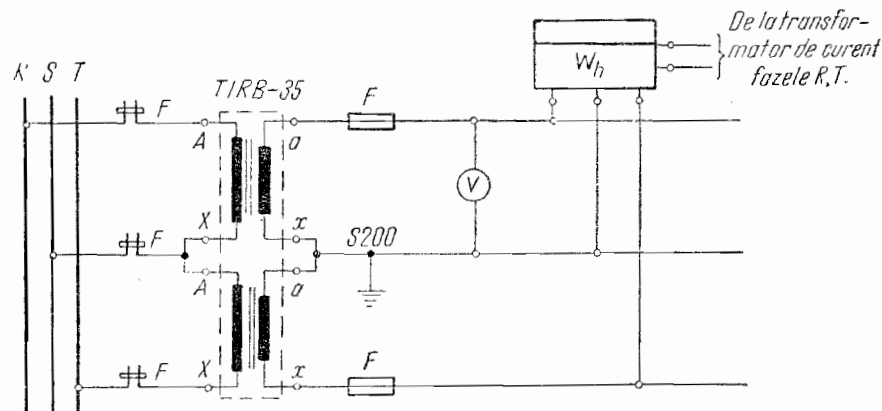


Fig. 4.5. Schema de conexiuni în V , a două transformatoare bifazate de tensiune.

4.2.3. Schema de legare în stea

Se utilizează atât în sistemele cu neutrul izolat cît și în cele cu neutrul legat la pămînt, pentru alimentarea aparatelor din circuitele secundare cu cele trei tensiuni pe faze și cu cele trei tensiuni între faze. Schema se poate realiza cu trei transformatoare de tensiune monofazate (TIRM-25,35, TEMU-25,35, TEMU-110) legate ca în fig. 4.6, din care rezultă că fiecare transformator are primarul conectat la tensiunea $U_{in}/\sqrt{3}$. Secundarul principal al fiecarui transformator, notat cu a , x , are tensiunea nominală de $100/\sqrt{3}$ V. Înfășurările secundare principale ale celor trei transformatoare de tensiune au bornele x (sfîrșiturile) legate împreună, formând nulul stelei legat la pămînt printr-un elator, iar prin bornele a ale celor trei transformatoare se alimentează aparatelor din circuitele secundare, cu tensiunile dintre faze. Tensiunile pe fază se realizează prin conectarea aparatelor între una din aceste faze și conductorul de nul, legat la steaua secundarelor

principale. Înfăşurarea secundară suplimentară, notată cu a_1 , x_1 , are tensiunea de 100 V la TEMU-110 și 100/3 V la TEMU-25,35. Aceste înfăşurări secundare auxiliare ale celor trei transformatoare de tensiune se leagă în triunghi deschis, ceea ce constituie un filtru de tensiune ho-

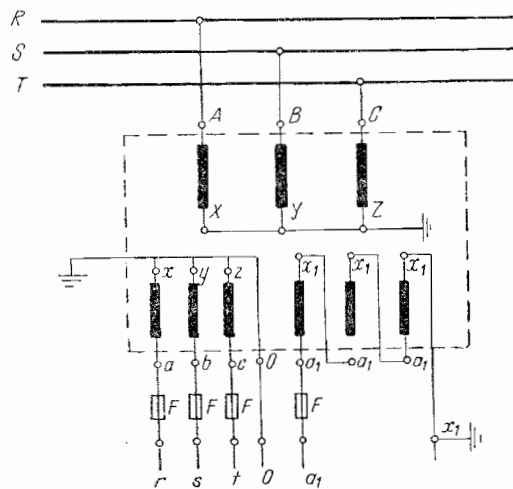


Fig. 4.6. Schema de conexiuni în stea.

monopolară (fig. 4.6), de la care se alimentează cu tensiune monopolară celelele din schema de protecție monopolară

În regim normal de funcționare al rețelei sau în regim de scurtcircuit fără punere la pămînt, dacă suma geometrică a celor trei tensiuni pe fază ale sistemului trifazat are valoarea zero, rezultă că și tensiunea la bornele triunghiului deschis (a_1, x_1), numită *tensiune homopolară*, este egală cu zero. Datorită faptului că în mod practic există un oarecare dezechilibru în sistemele trifazate, valoarea tensiunii homopolare va fi diferită de zero însă va avea o valoare foarte mică (circa 0,5—2 V). La un defect cu punere la pămînt al uneia dintre fazele rețelei de înaltă tensiune, la bornele triunghiului deschis apare o tensiune egală cu suma geometrică a tensiunilor celor două faze

sănătoase (fără defect). Numărul de spire ale bobinajelor secundare auxiliare a_1, x_1 (deci raportul de transformare al transformatorului de tensiune) se alege astfel încât această sumă geometrică să aibă valoarea limită de 100 V, respectiv $100/3$ V. Alegerea acestui raport de transformare are la bază faptul că în cazul punerii la pămînt a uneia dintre fazele rețelei, tensiunea homopolară în rețelele cu neutru legat direct la pămînt este egală cu tensiunea pe fază U_f a rețelei, iar la rețelele cu neutru izolat este egală cu $\sqrt{3} U_f$. Din acest motiv, raportul de transformare corespunzător înfășurărilor secundare auxiliare s-a ales la TEMU — 110 de $\frac{110\ 000}{\sqrt{3}}$ /100 V, iar la TEMU-25,35 — de $\frac{35\ 000}{\sqrt{3}}/\frac{100}{3}$ V.

La bornele a_1 , x_1 ale triunghiului deschis se conectează reful homopolar, care în cazul defectelor monofazate va fi alimentat la limită cu 100 V, având condiții de acționare. În cazul cînd în instalațiile de 110 kV se găsesc montate transformatoare cu tensiunea nominală a secundarului auxiliar de $100/3$ V, este necesar să se monteze la bornele triunghiului deschis un transformator ridicător de tensiune de $\frac{100}{3}$ /100 V, având o putere corespunzătoare, de la care

apoi să se alimenteze releele direcționale tip IMB-178 ale protecției homopolare de curent direcționale a liniilor. Acest lucru este necesar deoarece releele IMB-178 sunt construite pentru $U_n=100$ V și $I_n=5$ A și, în consecință, dacă ar fi alimentate cu $100/3$ V ar avea o siguranță în funcționare mai scăzută.

Schemele de conexiuni ale transformatoarelor de tensiune monofazate descrise mai sus se întâlnesc și la transformatoarele de tensiune trifazate cu cinci coloane, ce se construiesc pentru tensiuni primare pînă la 35 kV (fără site în rețelele cu neutral izolat). În fig. 4.7 se reprezintă schița unui transformator trifazat cu cinci coloane. Pe cele trei coloane din mijloc sunt amplasate înfășurările primare ale celor trei faze, conectate în stea cu punctul neutru scos și legat la pămînt. Pe aceleași coloane este amplasată și înfășurarea secundară principală, legată în stea. Cele

două coloane extreme au rolul de a crea posibilitatea închiderii fluxului de secvență homopolară Φ_0 ce apare în cazul unui defect monofazat în rețeaua de înaltă tensiune. Din acest motiv, pe coloanele extreme se ampla-

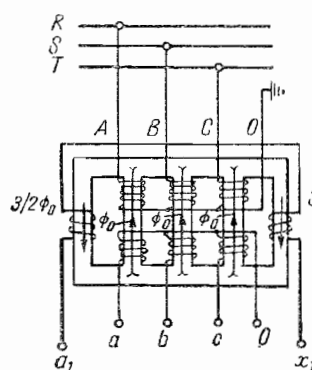


Fig. 4.7. Transformator de tensiune trifazat, cu înfășurările suplimentare amplasate pe coloanele externe.

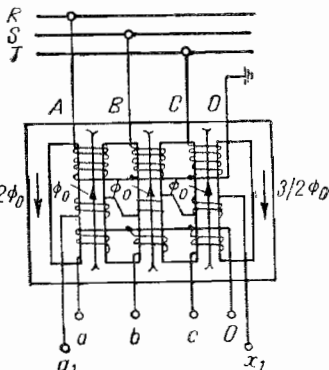


Fig. 4.8. Transformator de tensiune trifazat, cu înfășurările secundare ale triunghiului deschis amplasate pe coloanele centrale.

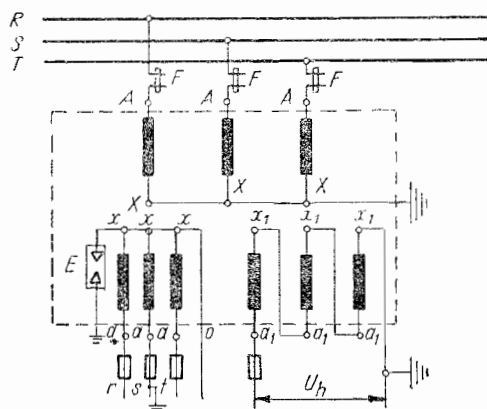


Fig. 4.9. Schema electrică de conexiuni a transformatorului de tensiune trifazat din fig. 4.8.

sează două înfășurări (legate împreună în serie și scoase la bornele a_1, x_1) în care la defecte monofazate, din cauza fluxului homopolar, se induce o tensiune homopolară. În regim normal de funcționare, tensiunea la bornele a_1, x_1 este nulă, deoarece suma tensiunilor electromotoare induse în cele trei faze ale înfășurării secundare principale este egală cu zero (nu există flux homopolar).

În fig. 4.8 se reprezintă un transformator de tensiune trifazat, cu înfășurările secundare suplimentare ale triunghiului deschis amplasate pe coloanele centrale. Schema de conexiuni a acestui transformator, mult utilizat, este reprezentată în fig. 4.9. Cu ajutorul transformatorului de tensiune trifazat se pot obține cele trei tensiuni ale fiecărei faze față de pămînt în sistemele cu neutrul izolat, cum și tensiunea homopolară.

4.3. Schemele de legare a transformatoarelor de curent

4.3.1. Schema de legare a două transformatoare în stea incompletă

Se realizează cu două transformatoare de curent montate pe două faze, în sistemele cu neutrul izolat, cu fazele încărcate uniform sau neuniform, aşa cum se vede în fig. 4.10. Cele două relee (sau ampermetre) montate în secundar, unul pe fază R iar celălalt pe fază T , măsoară curentii secundari ai fazelor R și respectiv T , care au valo-

$$\text{rite: } I_{2R} = \frac{I_{1R}}{k_e}, \text{ respectiv } I_{2T} = \frac{I_{1T}}{k_e}.$$

În schemă se poate monta și un al treilea ampermetru sau relee, legat pe conductorul de întoarcere (releul H) și care va măsura curentul fazei S . Acest lucru se vede clar din faptul că prin conductorul de întoarcere (releul H) circulă un curent egal cu valoarea sumei curentilor din fazele R și T și opus ca sens acestei sume. Oricum, în instalațiile indicate este întotdeauna îndeplinită condiția: $I_{1R} + I_{1S} + I_{1T} = 0$, de unde rezultă că

$I_{1S} = -(I_{1R} + I_{1T})$. Deci releul H va măsura curentul

$$I_0 = I_{2S} = -\frac{I_{1R} + I_{1T}}{k_e}$$

Această schemă se utilizează în sistemele cu neutrul izolat, pentru alimentarea protecțiilor împotriva scurtcircuitelor între faze. Releul H , legat pe firul de întoarcere,

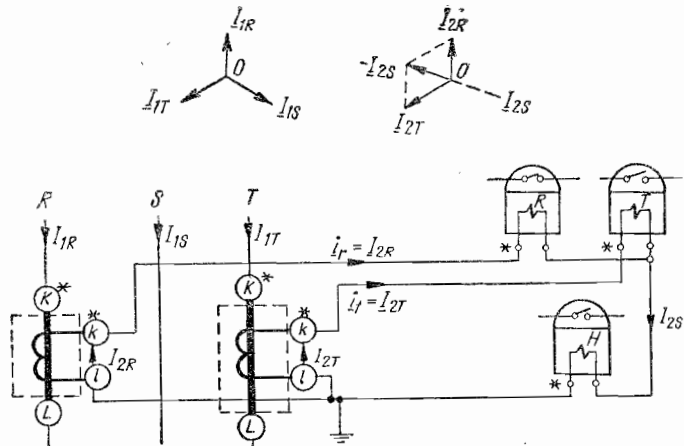


Fig. 4.10. Schema de legătură a două transformatoare de curent în stea incompletă și diagramele fazoriale ale curenților.

are condiții de lucru numai la scurtcircuite bifazate între fazele R și S sau S și T . Schema prezintă avantajul că în rețelele cu neutrul izolat se face economie de un transformator de curent (cel de pe faza S) și de releul de pe faza S .

4.3.2. Schema de legare a trei transformatoare în stea

Această schemă (fig. 4.11) se utilizează în rețelele cu neutrul legat la pămînt. Secundarele celor trei transformatoare de curent de pe cele trei faze au bornele l legate împreună și la pămînt (nulul stelei), iar de la bornele k ieșirele ce se leagă la bornele releelor de pe cele trei faze

(R, S, T) . În schemă se poate lega pe conductorul de întoarcere un al patrulea releu (H). În regim normal de funcționare al rețelei, la o încărcare uniformă a fazelor, prin releul H nu trece nici un curent, iar prin cele trei repe-

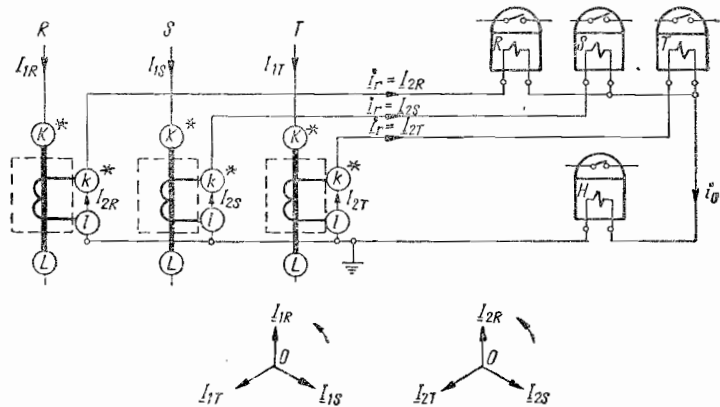


Fig. 4.11. Schema de legătură a trei transformatoare de curent în stea și diagrama fazorială în primar, respectiv în secundar.

montate pe faze trec curenții fazelor respective ($i_r = I_{2R} = \frac{I_{1R}}{k_e}$ etc.). În caz de scurtcircuit monofazat, prin releul montat pe faza defectă trece curentul de defect, iar prin releul H trece curentul de secvență homopolară, $i_0 = \frac{I_{1R} + I_{1S} + I_{1T}}{k_e}$. Rezultă că această schemă de conexiuni a transformatoarelor de curent se utilizează pentru alimentarea schemei de protecție împotriva tuturor categoriilor de scurtcircuite în rețele (scurtcircuit monofazat-releul H , scurtcircuite monofazate și polifazate-releele legate pe cele trei faze).

4.3.3. Schema filtrului de secvență homopolară

Este reprezentată în fig. 4.12 și se realizează prin legarea în paralel a secundarelor celor trei transformatoare de pe cele trei faze. Releul H este inseriat pe conductorul ce

unește bornele k și t . Prin releul H va trece un curent numai în cazul scurtcircuitelor monofazate, respectiv în cazul punerii la pămînt a unei faze, ca și prin releul H din fig. 4.11, deoarece atât în regim normal de funcționare

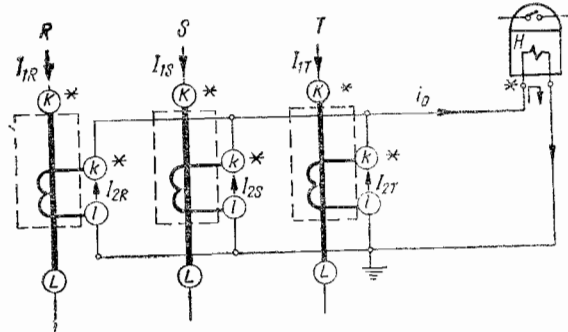


Fig. 4.12. Schema filtrului de secvență homopolară.

nare și la scurtcircuite bifazate și trifazate, suma geometrică a curenților de pe cele trei faze este zero. Acest tip de schema de conexiuni a transformatoarelor de curent se folosește pentru alimentarea protecțiilor împotriva scurtcircuitelor monofazate din rețelele cu neutru legat la pămînt, ca și pentru alimentarea instalațiilor de semnalizare a punerii la pămînt a unei faze în rețelele cu neutru izolat, respectiv compensat.

4.3.4. Schema de legare în triunghi

Secundarele celor trei transformatoare de curent se leagă în triunghi, așa cum se vede în fig. 4.13, și anume începutul înfășurării secundare a transformatorului de pe fază $R(k)$ cu sfîrșitul înfășurării secundare a transformatorului de pe fază $S(l)$. În continuare, borna k a transformatorului de pe fază S cu borna l a transformatorului de pe fază T , iar borna k a transformatorului de pe fază T cu borna l a transformatorului de pe fază R . În acest caz, curentul i_r cu care se alimentează releul R în regim nor-

mal de funcționare ca și în regim de scurtcircuit trifazat va fi de $\sqrt{3}$ ori mai mare decât curentul pe fază (adică $i_r = 3I_{2R}$) și defazat cu 30° înaintea acestuia din urmă (vezi diagramea fazorială la bornele relee, fig. 4.13).

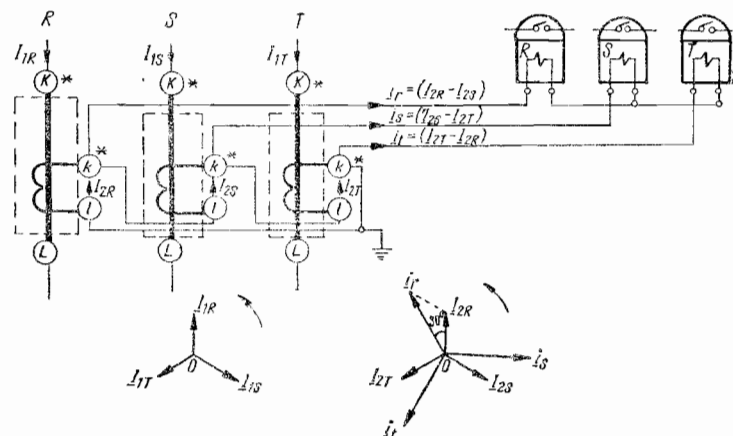


Fig. 4.13. Schema de legătură în triunghi a transformatoarelor de curent și diagramele fazoriale în primar, respectiv în secundar.

Triunghiul se poate realiza și invers, adică borna l a transformatorului de pe fază R cu borna k a transformatorului de pe fază S și l și k în locul lor. În acest caz, curenții cu care vor fi alimentate releele vor avea valoarea tot de $\sqrt{3}$ ori mai mare decât curenții pe faze ($i_r = \sqrt{3}I_{2R}$; $i_s = \sqrt{3}I_{2S}$; $i_t = \sqrt{3}I_{2T}$), dar vor fi defazați în urmă cu 30° față de curenții pe faze.

Curentul de secvență homopolară i_0 nu trece prin relee deoarece el se închide în triunghiul format de secundarele transformatoarelor de curent, astfel încât, la scurtcircuite monofazate, prin relee vor circula numai curenți de secvență directă și inversă.

Scoaterea firelor de la secundarele transformatoarelor de curent și ducerea lor la relee se poate face ca în fig. 4.13, adică de la bornele k , sau invers de la bor-

nele I . În acest din urmă caz, curentul prin releu va fi defazat cu 120° față de cel din primul caz.

Schela de conexiuni în triunghi permite acționarea releeelor la orice fel de scurtcircuit și se utilizează în mod obișnuit pentru alimentarea instalațiilor de protecție diferențială.

4.3.5. Schela de legare în opt

Este reprezentată în fig. 4.14 și se utilizează pentru alimentarea instalațiilor de protecție împotriva scurtcircuitelor polifazate ale motoarelor electrice alimentate din rețelele cu neutrul izolat. Nu se folosește pentru protecția transformatoarelor de forță avînd conexiunea stea-triunghi.

Schela se realizează prin legarea bornei polarizate (semnul *) secundare k a transformatorului de curent de pe faza R cu borna secundară nepolarizată l a transformatorului de pe faza T , precum și prin legarea bornei nepolarizate l a secundarului transformatorului fazei R cu borna polarizată k a secundarului transformatorului de pe faza T . Circuitul secundar exterior ce merge la releu se

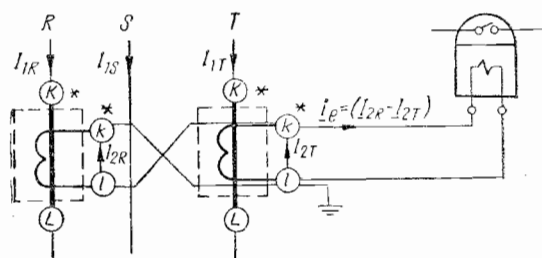


Fig. 4.14. Schela de legare a două transformatoare de curent în opt.

conectează la bornele k și l ale transformatorului de pe faza T , adică la diferența geometrică a curentilor din secundarele celor două transformatoare de curent ($i_e = I_{2R} - I_{2T}$).

► Din fig. 4.15 se observă că în regim normal de funcționare al rețelei, precum și în regim de scurtcircuit trifazat, diferența geometrică $i_e = (I_{2R} - I_{2T})$ este de $\sqrt{3}$ ori mai mare decât curentul pe fază. Aceasta datorită faptului că în regim normal și în regim de scurtcircuit trifazat, prin cele trei faze ale rețelei trec curenti egali ca valoare și defazați

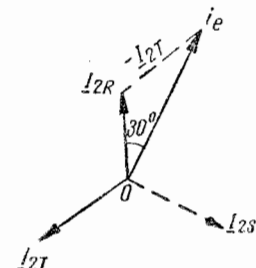


Fig. 4.15. Diagrama fazorială.

intre ei cu 120° . Curentii din secundarele transformatoarelor de măsură de pe fazele R și T vor fi defazați corespunzător (curentul secundar I_{2S} desenat punctat în fig. 4.15 lipsește, deoarece pe faza S nu avem transformator de curent). Din diagrama fazorială reprezentată în fig. 4.15 se observă că prin circuitul exterior va trece în acest caz, curentul $i_e = (I_{2R} - I_{2T}) = \sqrt{3} I_{2R}$.

În regim de scurtcircuit trifazat al rețelei (fig. 4.16,a, b, c), valoarea curentului debitat de secundarele transformatoarelor legate în opt, pe circuitul secundar exterior (prin releu), depinde de fazele defecte, și anume:

— în cazul scurtcircuitelor între fazele R și S , curentul în circuitul exterior va fi $i_e = I_{2R}$;

— la un scurtcircuit între fazele S și T , curentul va fi $i_e = I_{2T}$;

— la un scurtcircuit între fazele R și T , curentul va fi $i_e = 2 I_{2R}$.

Dacă scurtcircuitul este monofazat, și anume pe faza S pe care nu avem transformator de curent, în circuitul exterior nu vom avea curent.

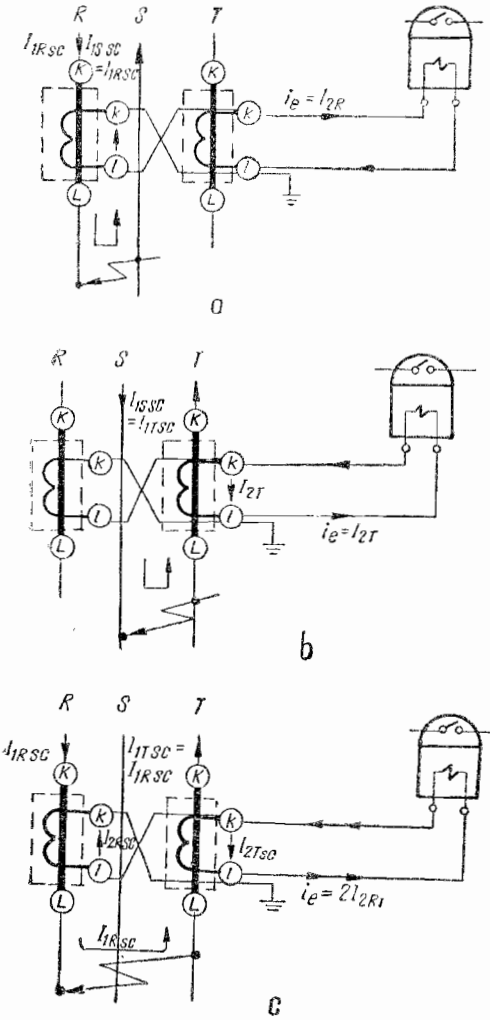


Fig. 4.16. Circulația curenților în circuitul secundar exterior alimentat de schema în opt, în regimul de scurtcircuit al rețelei:
a — scurtcircuit bifazat RS; b — scurtcircuit bifazat ST; c — scurtcircuit bifazat RT.

4.3.6. Schema cu înfășurările secundare ale transformatoarelor legate în serie

Această schemă de conexiuni (fig. 4.17) se folosește în mod frecvent în cazul transformatoarelor de curent incluse în izolatoarele intreruptoarelor cu ulei IU-35. Se observă

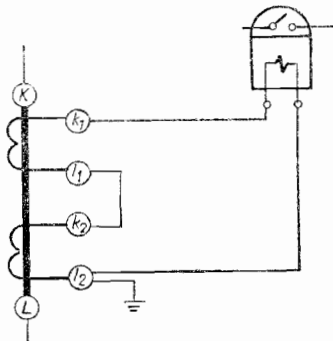


Fig. 4.17. Schema cu înfășurările secundare ale transformatoarelor de curent legate în serie.

că secundarele de pe aceeași fază s-au legat în serie (borna l a primului secundar cu borna k a celui de-al doilea secundar), fapt pentru care sarcina ce revine fiecărui dintr-o secundară este de numai 50% din sarcina secundară totală. Prin această schemă se poate mări deci sarcina secundară utilă.

4.3.7. Schema cu înfășurările secundare ale transformatoarelor legate în paralel

La această schemă se leagă bornele secundare de același nume împreună și releul se conectează la bornele unuia dintre cele două secundare. Executând conexiunea din fig. 4.18, raportul de transformare se micșorează de două ori față de cazul unui singur transformator, iar sarcina ce revine fiecărui din secundare crește la dublu.

Această schemă se folosește în cazurile în care dorim să obținem un raport de transformare micșorat de două ori față de cazul când avem un singur transformator (de exemplu, legind ca în fig. 4.18 două transformatoare de

75/5 A, se obține raportul nestandardizat de 37,5/5 A). De asemenea se poate folosi în cazul cînd dorim să realizăm puteri mari cu ajutorul transformatoarelor avînd raporturi de transformare mici. De exemplu, în loc să se folosească

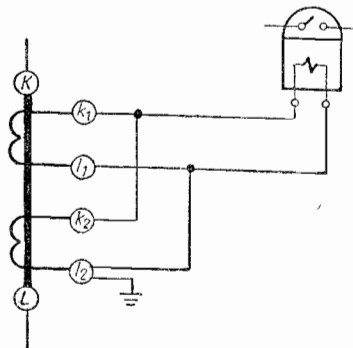


Fig. 4.18. Schema cu înfășurările secundare ale transformatoarelor de curent legate în paralel.

un transformator cu raportul 50/5 A, care are o anumită putere (insuficientă pentru o situație determinată) se pot folosi două transformatoare cu raportul 50/2,5 A, care vor avea o putere dublă și un raport de 50/5 A.

5. Verificări și încercări ale transformatoarelor de măsură

5.1. Noțiuni generale

Transformatoarele de măsură, ca și restul echipamentului electric, sînt supuse în timpul funcționării la o serie de solicitări (electrice, termice, electrodinamice, intreruperi etc.), pe care acestea trebuie să le suporte în bune condiții. De aceea, asupra lor se fac o serie de măsurări, verificări și încercări, dintre care unele în laboratoarele întreprinderilor constructoare și institutelor de cercetări,

iar altele în exploatare. Probele la care se supun trebuie să reproducă cît mai fidel solicitările și condițiile pe care transformatoarele de măsură le întîlnesc la funcționarea în sarcină.

Grupa de încercări ce se execută de laboratoarele întreprinderilor constructoare are rolul de a verifica dacă transformatoarele fabricate corespund proiectului, normelor și standardelor prin care se impun caracteristicile acestora, condițiilor pe care ele trebuie să le îndeplinească și solicitărilor pe care trebuie să le suporte.

Grupa probelor de punere în funcțiune precum și a celor preventive (profilactice), ce se execută periodic în exploatare, are rolul de a ne ajuta ca pe baza rezultatelor obținute la măsurări să putem stabili starea transformatorului respectiv. Din interpretarea tehnică corectă a datelor obținute la această categorie de încercări se pot trage concluzii pe baza cărora se hotărăște rămînerea în continuare a transformatorului de măsură în funcțiune sau, dacă este necesară, scoaterea lui pentru reparatie.

Pentru stabilirea stării izolației transformatoarelor de măsură se fac mai multe încercări, ce pot fi grupate în două mari categorii:

— Încercări nedistructive ale izolației, care să nu modifice comportarea normală a dielectricului și care cuprind: măsurarea rezistenței de izolație, a tangentei unghiului de pierderi dielectrice, a capacității dielectricului etc. Aceste încercări se fac în scopul de a stabili dacă izolația transformatorului este corespunzător uscată, dacă nu există defecte care să favorizeze descărcarea și străpungerea ei etc.

— Încercări distructive ale izolației transformatoarelor de măsură, care cuprind: încercarea cu tensiune alternativă mărită sinusoidală (50 Hz) și încercarea la tensiune de impuls.

Se menționează că măsurarea rezistenței de izolație poate fi o probă distructivă pentru aparatul de joasă tensiune. Aceste încercări se fac în scopul de a verifica starea nivelului de izolație al transformatoarelor, pentru a stabili dacă el suportă cele mai grele solicitări la care poate fi supus într-o anumită rețea dată. Volumul de verificări și încercări necesare a se efectua asupra transformatoarelor

de măsură este stabilit prin instrucțiunile întreprinderii constructoare și în baza instrucțiunilor indicate la [26; 27; 28; 29 și 30]. Se precizează că probele asupra transformatoarelor ce se află în exploatare se efectuează la fața locului, în condițiile indicate în capitolele respective. În laborator sunt aduse pentru verificare și încercare numai acele transformatoare de măsură care prezintă dubii în privința stării lor corespunzătoare, precum și cele noi sau cele ieșite din reparatie.

5.2. Verificarea aspectului exterior

Această verificare este necesar a se realiza atât înainte de montare, pentru punerea în funcțiune, cât și în perioada de exploatare, cel puțin o dată la 8 ore (verificările de la punctele a și e). Verificarea constă în următoarele:

a. Examinarea integrității cuvei transformatorului și a etanșeității acesteia, respectiv a masei izolante. Nu sunt admise pierderile de ulei la transformatoarele cu izolație în ulei.

b. Examinarea nivelului uleiului din cuva transformatorului (prin sticla de nivel). Uleiul trebuie menținut în permanență la nivel, prin completare, mai ales în perioada friguroasă, cind, datorită răcirii mediului ambiant, nivelul de ulei scade. Dacă la revizii se constată că din cuva transformatorului de măsură lipsește mai mult de 25% din volumul total de ulei, acesta este scos din funcțiune și introdus la uscat, după care se completează cu ulei, sub vid.

c. Verificarea integrității izolatoarelor.

d. Examinarea stării de curățenie generală a transformatorului.

e. Verificarea modului de funcționare în scopul de a stabili dacă transformatoarele de măsură nu prezintă zgomote anormale în funcționare. În cazul în care se constată astfel de zgomote (specifice descărcărilor, sau de altă natură), acestea trebuie scoase din funcțiune și supuse măsurărilor, în vederea depistării defectului.

f. La punerea în funcțiune se verifică poziția transformatoarelor; în cazul transformatoarelor cu ulei, acestea se monteză în poziție verticală.

g. Verificarea stării corespunzătoare a bornelor.

h. Verificarea stării corespunzătoare a legăturilor de contact la borne. O legătură de contact necorespunzătoare se observă, în exploatare, prin schimbarea culorii acesteia în zona contactului slab.

i. Verificarea stării instalației fixe de legare la pămînt. Piecare transformator se leagă la instalația de pămîntare prin șurubul de legare la pămînt, special prevăzut de întreprinderea constructoare.

j. Existența plombei și a mărcii verificării de stat și dacă nu a expirat termenul de verificare.

k. Existența notării clare a tuturor bornelor și a tablăci indicatoare.

l. Înainte de punerea în funcțiune cum și după revizii și reparații este obligatorie verificarea corectitudinii legăturilor în schema electrică. De asemenea se verifică în mod special transformatoarele de curent în sensul de a nu rămâne deschise infășurările secundare. Se menționează că un secundar deschis determină zgomote anormale ale transformatorului de curent numai cind aparatul este parcurs de un curent apropiat ca valoare de curentul nominal primar.

Toate abaterile ce se constată cu ocazia verificării aspectului exterior se consemnează în registrul de tură sau de control, pentru a se lua imediat măsurile în consecință.

5.3. Încercarea uleiului din transformatoarele de măsură

Uleiul de transformator este un material electroizolant lichid, ce se obține prin distilarea țățeiului. Tipurile de uleiuri de transformator produse la noi în țară sunt: 2004; 2004 A; 2005 și 2005 A (STAS 811-61). Nu se pot amesteca uleiurile 2004 cu 2005. În unele transformatoare de măsură ca și în cele de forță, uleiul are rolul de material electroizolant (umeple porii izolației, completează golurile din pieșele izolante și preia o parte din acțiunea cimpului elec-

tric), cum și de mediu de răcire (transportă căldura de la bobinaj și miez spre cuvă, de unde o cedează mediului ambiant).

Datorită faptului că sub acțiunea unor solicitări la care este supus în exploatare uleiul de transformator îmbătrânește (se alterează), el trebuie supus la o serie de probe, verificări și încercări periodice, prin care se determină dacă mai poate fi folosit sau trebuie înlocuit. Încercările la care trebuie supus uleiul de transformator se pot grupa în trei mari categorii, și anume:

1. Controlul curent al uleiului, care cuprinde:
 - determinarea conținutului de apă;
 - controlul miroslui uleiului (calitativ);
 - controlul limpezirii uleiului (calitativ);
 - controlul transparenței uleiului (calitativ);
 - determinarea rigidității dielectrice a uleiului;
 - determinarea tangentei unghiului de pierderi dielectrice a uleiului.

2. Analiza redusă, care, pe lîngă determinările prevăzute la controlul curent, mai cuprinde și următoarele:

- determinarea culorii uleiului;
- determinarea temperaturii de aprindere (punctului de inflamabilitate);
- determinarea indicelui de aciditate;
- efectuarea reacției extrasului apos;
- determinarea viscozității la 20°C;
- determinarea alcalinității;
- determinarea conținutului de cenușă;
- determinarea impurităților mecanice;
- determinarea punctului de anilină;
- determinarea punctului de congelare și a conținutului de cărbune.

3. Analiza completă a uleiului, care, pe lîngă determinările prevăzute la analiza redusă, mai cuprinde și următoarele:

- determinarea greutății specifice la 20°C;
- determinarea indicelui de refracție;
- determinarea prezenței sau lipsei inhibitorilor;
- determinarea stabilității la oxidare;

— executarea probei Natron la puneri în funcțiune (condițiile probei și valorile admisibile sunt stabilite prin Normatorul 3 E-1-67, tabelul 5.1).

Tabelul 5.1

Periodicitatea efectuării probelor uleiului de transformator, conform normativului 3E-1-67

Felul uleiului	Felul aparatului din care se iau probe și tensunea lui nominală	Intervalul de timp la care se efectuează		
		analiza curentă	analiza redusă	analiza completă
Ulei de transformator nou în rezervă	—	6 luni	1 an	
	Aparat cu $U_n \leq 10$ kV	—	3 ani	
	Idem $U_n = 10 \dots 35$ kV	1 an	3 ani	
Ulei de transformator în exploatare	Idem $U_n > 35$ kV	1 an	1 an	
	Ulei de transformatoare capsule	2 ani	—	
	Ulei din izolații de trecere	—	1 an	
	Ulei din transformatoare și aparate ieșite din reparație capitală	—	După reparația capitală	

La umplerea sau la completarea aparatului cu ulei

Pentru efectuarea încercărilor este necesar ca personalul de exploatare al instalațiilor respective să ia și să pregătească probele de ulei din transformatoarele de măsură conform STAS 811-61, STAS 286-63 și STAS 41-65. Nerespectarea condițiilor impuse de STAS pentru luarea

probelor are ca urmare denaturarea rezultatelor încercării uleiului. În alte lucrări sunt descrise probele uleiurilor de transformator [1, 15 etc.].

5.4. Măsurarea rezistenței de izolație

5.4.1. Noțiuni generale și aparatul folosit

Materialele dielectrice folosite în construcția echipamentului electric (inclusiv a transformatoarelor de măsură), nefiind perfect electroizolante, permit trecerea prin ele a unui curent electric, numit *curent de conducție* (de scurgere). Cu cât materialul electroizolant are o calitate mai bună cu atât curentul de conducție va fi mai mic, iar rezistența electrică opusă de izolant trecerii lui va fi mai mare. Curentul de conducție, dat de expresia

$$I_{cd} = \frac{U}{R_s + R_v} = \frac{U}{R_{iz}}, \quad (5.1)$$

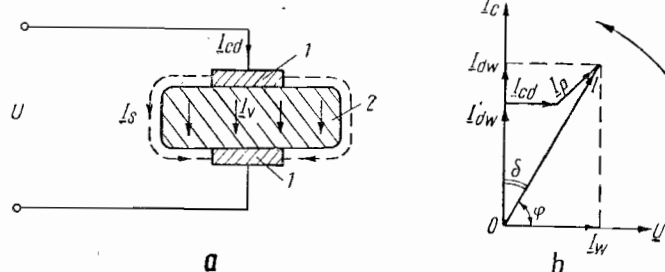


Fig. 5.1. Trecerea curentului prin materiale electroizolante:
a — trecerea curentului de conducție I_{cd} prin materialul electroizolant 2, dintre armăturile metalice 1 supuse tensiunii U ; b — diagramă fazorială pentru dielectrici tehnici; I_{cd} — curentul de conducție; I_p — curentul datorită polarizării dielectricului; I'_{dw} — curentul capacitive în cazul dielectricului perfect; I — curentul total prin dielectric, avind componenta activă I_w și componenta capacitive I_{dw} .

are două componente (fig. 5.1, a):

— curentul I_s pe suprafața dielectricului (numit curent superficial);

— curentul I_v (de trecere) prin volumul materialului izolant.

Curentul de conducție prin materialul izolant are caracter activ (spre deosebire de curentul I_p , determinat de fenomenul de polarizare a dielectricului, care are atât caracter activ cât și capacativ) și determină o pierdere de putere activă în materialul izolant (care se transformă în căldură), fapt ce duce la slăbirea proprietăților izolante ale materialului.

Tinând cont de cele de mai sus, rezistența de izolație R_{iz} se definește ca fiind rezistență electrică rezultată a lui R_s și R_v , pe care o opune materialul izolant trecerii curentului I_{cd} . Rezistența de izolație a materialelor folosite în construcția echipamentului electric are o valoare de ordinul megohmilor (milioanele de ohmi), dar poate slăbi în timpul explorației transformatoarelor de măsură precum și în timpul depozitării acestora, datorită următoarelor cauze:

— umiditatea pe care izolația o absoarbe din mediul înconjurător;

— îmbătrânirea naturală sau forțată a izolației, determinată mai ales de încălzirea peste limitele admise;

— depunerile de impurități pe suprafața materialului izolant (praf, pilitură de fier, mucegai, vapori corosivi etc.).

Pentru a stabili dacă rezistența de izolație a transformatoarelor de măsură nu a scăzut sub anumite valori minime stabilite prin norme, este necesar ca după reparații, la punerea în funcțiune precum și periodic în exploatare, acestea să se măsoare. Aparatul folosit pentru măsurarea rezistenței de izolație a transformatoarelor de măsură este următorul:

— megohmmetrul de 2 500 V (curent continuu) pentru izolația infășurării de înaltă tensiune;

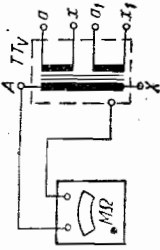
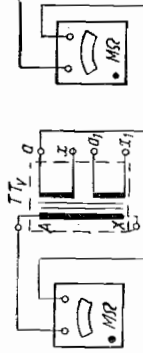
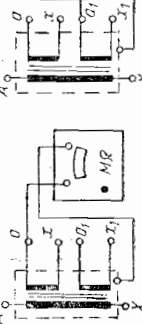
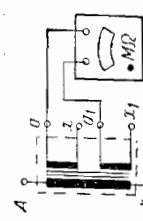
— megohmmetrul de 1 000 V (curent continuu) pentru izolația infășurărilor secundare (joasă tensiune).

Înainte de efectuarea măsurării, starea megohmmetru-lui se verifică astfel:

— se învîrte manivela cu turată nominală sau se apasă butonul, megohmmetrul având bornele izolate; în acest caz,

Tabelul 5.2

Scheme pentru verificarea rezistenței de izolație

Modul de aplicare a tensiunii generate de megohmmetru	Schema de montaj	Valoarea minimă a rezistenței de izolație pe care trebuie să o aibă transformatorul de măsură
Între înfășurarea de înaltă tensiune și cuva transformatorului de măsură	 <p>Rezistența de izolație măsurată trebuie să fie mai mare decât 70% din valoarea rezistenței de izolație inițială sau indicată de întreprinderea constructoră. În lipsa datelor întreprinderii constructoră, rezistența de izolație măsurată trebuie să fie mai mare sau egală cu valoarea din tabelul 5.3.</p>	
Între înfășurarea de înaltă tensiune și fiecare înfășurare de joasă tensiune		
Între fiecare înfășurare de joasă tensiune și cuvă		Rezistența de izolație măsurată trebuie să fie mai mare decit $2 \text{ M } \Omega$.
Între înfășurile de joasă tensiune ale transformatorului		Rezistența de izolație măsurată trebuie să fie de cel puțin 70% din valoarea indicată de întreprinderea constructoră (sau din valoare inițială).

el trebuie să indice valoarea infinit (în caz contrar se corectează);

— se scurtcircuitează bornele și se execută aceeași operație, la care megohmmetrul trebuie să indice valoarea zero.

5.4.2. Măsurarea rezistenței de izolație a înfășurărilor transformatoarelor de măsură

După pregătirea transformatoarelor de măsură și a megohmmetrului pentru verificare, se efectuează măsurările conform schemelor din tabelul 5.2. După execuțarea unuia din montajele din tabel, corespunzător măsurării ce se efectuează, se apasă butonul megohmmetrului (sau la tipul cu manivelă, aceasta se învîrte cu turația prescrisă) și se menține apăsat timp de 60 s. Valoarea indicată de megohmmetru după 60 s de la aplicarea tensiunii generate de el reprezintă valoarea rezistenței de izolație (tabelul 5.3).

Tabelul 5.3

Valorile orientative minime admise ale R_{iz} a înfășurării de înaltă tensiune, pentru transformatoarele de măsură [29]

Tensiunea nominală a înfășurării kV	Starea transformatorului de tensiune	Valorile medii de exploatare ale lui R_{iz} , în $M\Omega$, la diverse temperaturi, în $^{\circ}C$				
		5	10	20	30	40
$U_n \leqslant 10$ kV	După reparatie	5 400	3 700	1 700	810	450
	În exploatare	3 300	2 150	1 000	570	240
$U_n = 10 \dots 35$ kV	După reparatie	8 000	5 400	2 500	1 170	600
	În exploatare	4 800	3 250	1 450	700	360
$U_n > 35$ kV	După reparatie	10 000	9 500	4 400	2 100	1 200
	În exploatare	8 400	5 400	2 400	1 200	900

Se recomandă ca în timpul măsurărilor megohmmetrul să fie așezat în poziție orizontală pe un material izolant uscat, iar conductoarele de legătură să aibă izolație tip magnetou și să fie suspendate în aer fără a se atinge între ele sau de un corp în contact cu pămîntul. Măsurarea rezistenței de izolație a înfășurării de înaltă tensiune față de cuvă nu se poate face la transformatoarele de tensiune care au un capăt al acestei înfășurări legat în interior la cuvă (cum este la TEMU-110).

5.5. Măsurarea tangentei unghiului de pierderi dielectrice ($\operatorname{tg} \delta$) al izolației transformatoarelor de măsură

Această probă se efectuează la punerea în funcțiune, după schimbarea uleiului, după reparația capitală și periodic o dată la doi ani în exploatare, la toate transformatoarele de măsură având tensiunea nominală de 220 kV și mai mult.

După cum se știe, orice material electroizolant ce se află într-un cîmp electric se încălzește datorită faptului că el nu este un izolant perfect. Dacă izolația ar fi perfectă, atunci curentul în ea ar fi pur capacativ, adică defazat cu 90° înaintea tensiunii la care este supusă și, în consecință, nu s-ar produce pierderi de energie activă. Avînd însă în vedere că în izolația folosită în electrotehnica se produc pierderi de energie activă, rezultă că pe lîngă componenta capacativă I_{dw} a curentului, în ea apare și o componentă activă I_w (corespunzătoare pierderii de energie activă), care se compune cu cea capacativă, dind un curent resultant I defazat față de tensiune nu cu 90° înainte, ci cu un unghi φ mai mic de 90° (fig. 5.1, b). Unghiul δ (complementar unghiului de defazaj φ), dintre componenta capacativă a curentului I_{dw} și curentului rezultat I , se numește *unghi de pierderi dielectrice*, iar tangenta acestui unghi se numește *tangenta unghiului de pierderi dielectrice ($\operatorname{tg} \delta$)*. Se constată că unghiul de pierderi dielectrice, respectiv $\operatorname{tg} \delta$, este cu atît mai mare cu cît puterea ce se transformă în căldură în dielectric (izolant) este mai mare, ceea ce în-

seamnă că izolația este cu atît mai slabă. Rezultă că tg δ caracterizează materialul electroizolant din punctul de vedere al pierderilor de energie.

Măsurarea tangentei unghiului de pierderi dielectrice ($\tg \delta$) și a capacității izolanților se face cu ajutorul punții Wheatstone în curent alternativ (fig. 5.2). Pe principiul acestei scheme este construită și puntea Schering, mult folosită în exploatare pentru măsurarea $\tg \delta$ și a capacității atât la joasă tensiune cât și la înaltă tensiune. Această instalație prezintă avantajul că permite măsurarea pierderilor în dielectrici la tensiuni mari în timpul măsurării (pînă la 10 kV), precum și citirea directă a $\tg \delta$. Funcționarea punții Schering se bazează pe principiul cunoscut, și anume că orice izolație suzusă unui cîmp electric formează un condensator ce se poate reprezenta printr-un circuit echivalent cu rezistență și capacitate legate în serie (fig. 5.3).

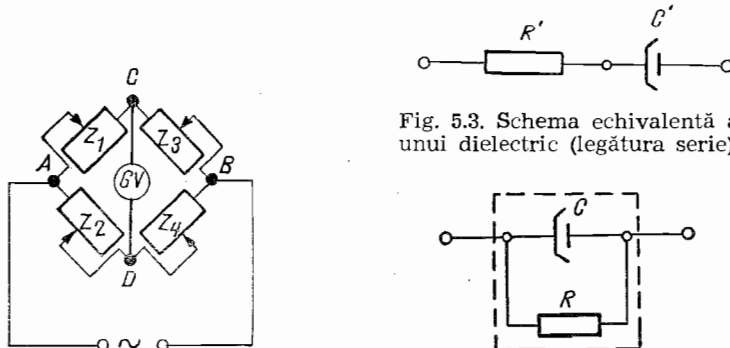


Fig. 5.2. Schema electrică de principiu a punții Wheatstone în curent alternativ: Z_1 - Z_4 — impedanțe; GV — galvanometru.

sau în paralel (fig. 5.4). În instalațiile din țara noastră este mult utilizată puntea Schering portativă de gabarit mic, MD-16. Schema electrică a acestui tip de punte este reprezentată în fig. 5.5. După cum se vede din această schemă,

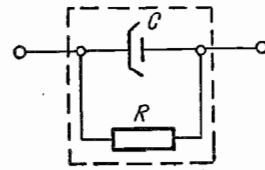


Fig. 5.4. Schema echivalentă a unui dielectric (legătura paralel).

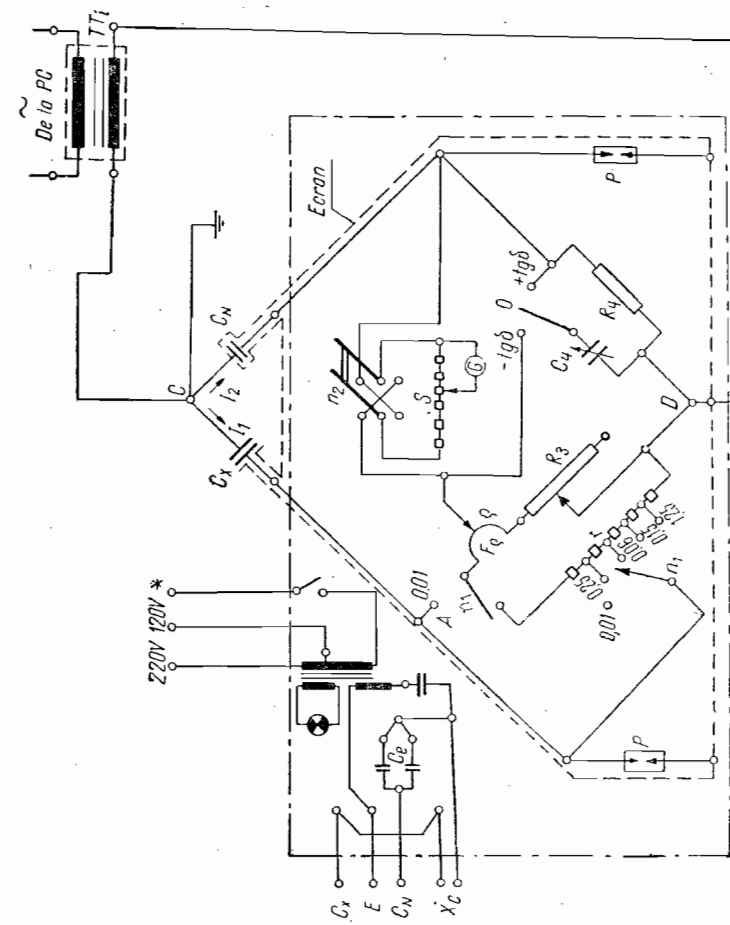


Fig. 5.5. Schema electrică a punctui Schering de gabarit mic, tip MD-16.

puntea Schering tip MD-16 are următoarele părți componente:

1. Instalația de măsurare, montată într-o carcăsă metalică, care cuprinde: cutia de rezistențe R_3 cu patru decade, precum și sunțul r al rezistenței R_3 , folosit pentru lărgirea limitelor de măsurare ale punții, la măsurarea capacităților mari; rezistența de reglaj fin F_e , având reglajul $\rho = 0 \dots 1,2 \Omega$; cutia de capacitate cu trei decade; galvanometrul GV și iluminatorul; condensatoarele etalon C_e , pentru măsurarea echipamentului electric de joasă tensiune (cu eroare de $\pm 3\%$); comutatoarele de sensibilitate n_1 și n_2 ; comutatorul polarității, pentru conectarea galvanometrului (are pozițiile: zero; $+tg \delta$ și $-tg \delta$); descărcătoarele P ; sunțul galvanometrului S , cu care se reglează sensibilitatea galvanometrului.

2. Condensatorul etalon C_N de înaltă tensiune, separat de punte, având valoarea $C = 0,5 \cdot 10^{-4} \mu F$.

3. Transformatorul de încercare TT_i , având raportul de $10/0,1$ kV de tip TIBU-10 sau TIRB-10, care nu se livrează cu puntea.

4. Pupitrul de comandă și reglare (fig. 5.6), care poate fi construit în atelierul electric al întreprinderii și cu ajutorul căruia se obține tensiunea variabilă ce se aplică transformatorului de încercare TT_i .

Pupitrul se alimentează cu tensiunea rețelei (220 V c.a.) la bornele P_1 și P_2 . Prezența tensiunii se constată prin aprinderea lămpii L_P . Pentru punerea în funcțiune a montajului este necesar să se apese butonul BI , care permite alimentarea bobinei E_a a contactorului DITU cu tensiunea fazelor ST (la faza T fiind de fapt legat neutrul N al rețelei). Bobina E_a acționează închiderea contactelor principale și auxiliare ale contactorului DITU și astfel automatul se automenține. La închiderea contactelor contactorului DITU se aprinde lampa L_A , indicând că întregul montaj se află sub tensiune și că se poate regla tensiunea de la zero la valoarea necesară determinării. Deconectarea contactorului DITU poate avea loc în situațiile următoare:

- prin apăsarea butonului BD , în mod voit;

- la suprasarcini de lungă durată, prin contactul C_z actionat de releele termice R_t ale contactorului DITU;
- prin releul de curent $RC-1-3$, în cazul depășirii valorii curentului reglat de acționare a releului.

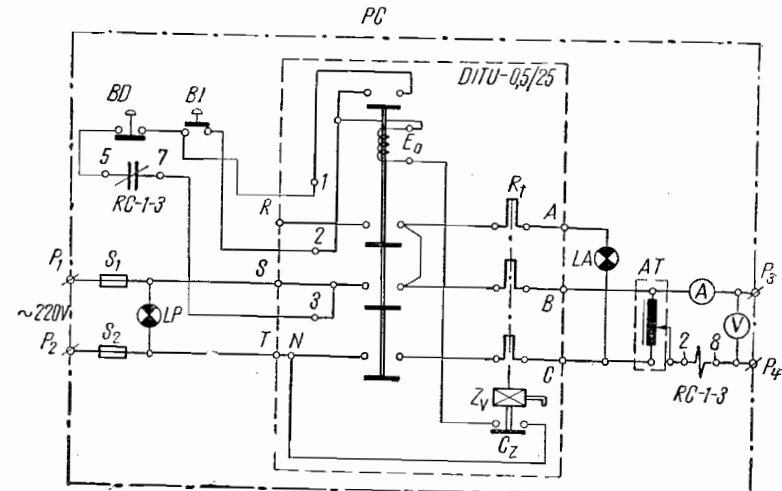


Fig. 5.6. Schema electrică a pupitrului de comandă:
 S_1, S_2 — siguranțe fusibile de 15 A; BI — buton de anclansare; BD — buton de declanșare; AT — autotransformatoare; $RC-1-3$ — releu de curent cu scală; L_P și LA — lămpi de semnalizare; V — voltmetru; A — ampermetru; E_a — bobina contactorului DITU; R_t — releu termic; C_z — contactul releului.

Montajul punții Schering (în vederea efectuării măsurărilor) se poate face în două feluri:

- cu schema normală (fig. 5.7);
- cu schema inversă (fig. 5.8).

Schema normală se utilizează în cazurile în care toate infășurările transformatorului ce se încearcă să intre ele și față de pămînt. Ea dă rezultate mai precise decit schema inversă.

În cazul transformatoarelor de măsură nu se utilizează această schemă, deoarece ele posedă o singură infășurare de înaltă tensiune, ci se folosește montajul punții în schema inversă, cu excepția acelor transformatoare de

măsură care au un capăt al înfășurării de înaltă tensiune legat direct de masă.

Pentru efectuarea practică a măsurărilor $\operatorname{tg} \delta$ și a capacitații izolației unui transformator de măsură de înaltă ten-

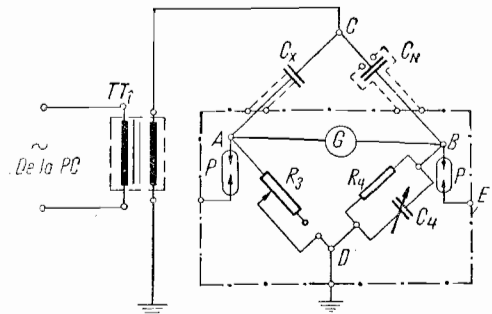


Fig. 5.7. Montajul în schema normală al punții Schering de tip MD-16.

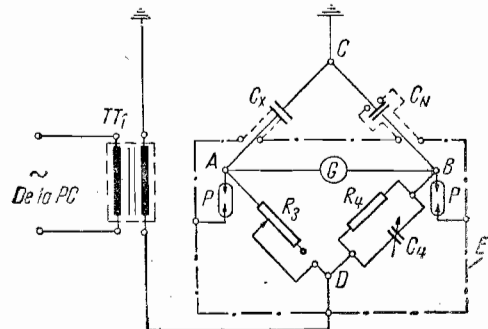


Fig. 5.8. Montajul în schema inversă al punții Schering de tip MD-16.

siune se execută montajul din fig. 5.9 (în schema inversă).

Pupitru de comandă PC se amplasează lîngă punctea Schering, în așa fel încît operatorul să poată regla tensiunea și să citească indicațiile ampermetrului și voltmetrului de pe podețul izolant. Măsurarea comportă următoarele operații:

se verifică cu deosebită atenție corectitudinea legăturii la pămînt, indicată pe schema din fig. 5.9;

— se controlează ca firul ce merge de la transformatorul TT_l la condensatorul etalon C_N , precum și toate cele

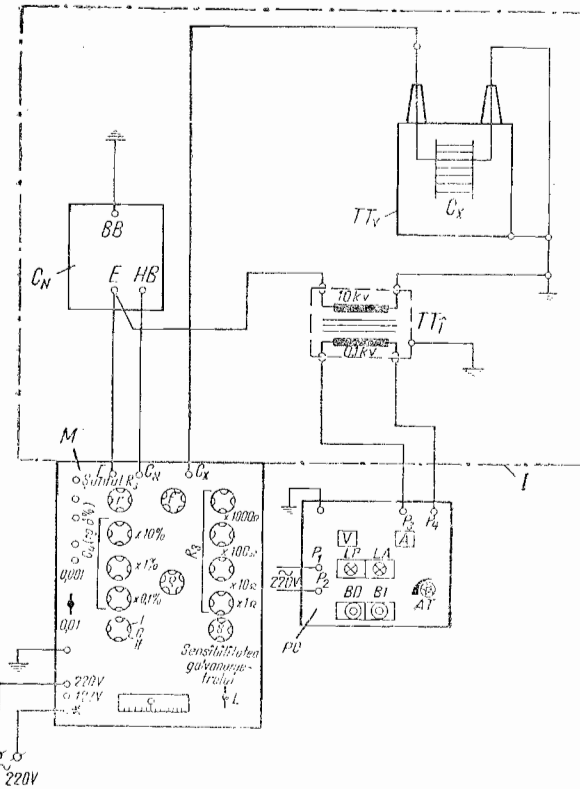


Fig. 5.9. Schema de montaj a punții Schering de tip MD-16, folosită la măsurarea $\operatorname{tg} \delta$ și a capacitații transformatoarelor de măsură de înaltă tensiune:

M — instalația de măsură a punții Schering MD-16; C_N — condensatorul etalon, plasat pe un podeț izolat; TT_v — transformatorul de măsură supus verificării; TT_l — transformatorul de incercare; PC — pupitru de comandă și reglaj; L — intreruptor pentru iluminatul galvanometrului GV ; I — îngrădire mobilă de protecție; C_x — capacitatea unei înfășurări a transformatorului față de celelalte înfășurări legate la cuvă și masă.

trei fire ce pleacă de la punte să nu se atingă de carcasa punți sau de alte obiecte legate la pămînt și să aibă față de acestea o distanță mai mare de 100—150 mm;

— din acest moment, montajul se consideră sub tensiune; se interzice apropierea altor persoane de instalație, cu excepția operatorului, care se găsește permanent pe podul izolant, echipat cu mănuși și cizme dielectrice;

— comutatoarele rezistenței R_3 , al lui C_4 , al sensibilității S și al lui ρ (v. fig. 5.5) fiind pe poziția zero, iar comutatorul polarității pe poziția $I(+\text{tg}\delta)$ și al șuntului r pe poziția corespunzătoare curentului presupus (conform tabelului 5.4), se aplică tensiunea prin apăsarea butonului BI de pe pupitru PC .

Tabelul 5.4

Capacitatea izolației transformatorului în funcție de poziția comutatorului șuntului r [31]

Pozitia comutatorului șuntului r (curentul maxim admisibil, în A)	1,25	0,15	0,06	0,025	0,01
Valoarea rezistenței r șuntate, în Ω	4	10	25	60	∞
Capacitatea izolației (cea mai mare la tensiunea de 10 kV), în μF	0,40	0,048	0,0194	0,008	0,003

5. Autotransformatorul AT din PC fiind în poziția zero, se manevrează ridicind tensiunea lin pînă la valoarea tensiunii de încercare, care pentru transformatoarele de 220 kV și mai mult este 10 kV. Voltmetrul V se citește ținînd cont de raportul de transformare al transformatorului TT_1 ($10\ 000\ \text{V}/100\ \text{V}=100$). În timpul ridicării tensiunii, precum și în timpul măsurării, operatorul trebuie să fie gata să decupleze tensiunea imediat ce apar fenomene anormale (străpungerea, conturnarea izolației, zgomote anormale sau apariția unui om în zona instalației).

6. Se învîrte comutatorul S de la zero, succesiv pe cîte una din pozițiile următoare, pînă cînd fasciculul de lumină are o lățime de circa 1,5 cm.

7. Se rotește minerul pînă cînd se obține lățimea maximă a fasciculului de lumină. Dacă fasciculul ocupă scala aproape în întregime, se aduce comutatorul S pe o poziție inferioară (spre zero).

8. Se introduce treptat rezistența R_3 , pînă cînd fasciculul își reduce lățimea la minimum.

9. Se trece S pe o poziție superioară, crescînd prin aceasta lățimea fasciculului, după care din nou se regleză R_3 pînă cînd pentru noua poziție a lui S se obține lățimea minimă. Se procedează în același mod comutînd minerul S pe poziții superioare. Schimbarea poziției lui S alternează permanent cu reglarea lui R , astfel cît reglarea lui R_3 în continuare duce la îngustarea fasciculului.

10. În această situație de minim pentru rezistențe, se trece la reglarea capacității C_4 (din mînerele notate pe schema aparatului cu $\text{tg } \delta$, respectiv cu C_4) și se alege acea valoare a ei pentru care fasciculul se mai micșorează.

11. Se comută din nou minerul S pe poziții superioare, alternînd cu reglarea lui R_3 și C_4 , procedînd ca mai sus, pînă se ajunge la sensibilitatea maximă (S pe poziția 10) și la lățimea minimă a fasciculului.

12. La ultimele faze de echilibrare a punți (adică de micșorare a lățimii fasciculului pînă ce devine o linie) se uzează de reglajul rezistenței fine F_ϱ .

13. Se rotește minerul reglajului de frecvență pînă ce lățimea fasciculului devine maximă, după care se echilibrează din nou puntea ca mai sus.

14. Se notează valorile lui R_3 , F_ϱ și $\text{tg } \rho$, precum și poziția comutatorului șuntului.

15. Se aduce comutatorul S de pe poziția 10 pe poziția zero, după care se readuc la zero mînerele lui R_3 și C_4 . Se coboară tensiunea la zero din minerul AT de pe PC și se apasă butonul BD . Se scoate apoi cordonul de alimentare a lui PC din priză. Cu ajutorul unei prăjini electroizolante se aplică pămîntarea mobilă pe borna de înaltă tensiune a lui TT_1 , după care se poate desface montajul.

Valoarea lui $\text{tg } \delta$ este chiar valoarea lui $\text{tg } \delta$ în procente, notată la punctul 14, și care se citește direct. Se

poate calcula capacitatea formată de transformatorul verificat TT_i , cu relația

$$C_X = C_N \frac{R_4(R_3 + 100)}{r(R_3 + q)}. \quad (5.2)$$

În cazul cînd şuntul a fost fixat pe timpul măsurării la poziția de 0,01 A, capacitatea se calculează cu relația

$$C_X = C_N \frac{R_4}{(R_3 + q)}, \quad (5.3)$$

în care C_N este capacitatea condensatorului etalon, egală cu $0,5 \cdot 10^{-4} \mu F$, iar $R_4 = \frac{10\,000}{\pi} = 3\,184 \Omega$ (R_3 și ρ sint valorile măsurate, iar r este valoarea luată din tabelul 5.4).

Transformatoarele de măsură se consideră corespunzătoare din punctul de vedere al lui $\operatorname{tg} \delta$ și al capacitatii, dacă valorile obținute prin măsurări corespund cu valorile date de întreprinderea constructoare sau cu valorile inițiale.

5.6. Încercarea izolației cu tensiune alternativă mărită de frecvență industrială

5.6.1. Noțiuni generale

Încercarea cu tensiune alternativă mărită, de frecvență industrială, a transformatoarelor de măsură, face parte din grupa încercărilor distructive ale izolației, care se face în scopul de a verifica nivelul de izolație a acestora, cum și stabilitatea izolației. Nivelul de izolație al transformatoarelor de măsură — ca de altfel al oricărui echipament electric — cuprinde toate izolațiile solide și fluide ale acestora, inclusiv izolația prin distanțele de separație în aer liber a pieselor conductoare avînd potențiale diferite. Nivelul de izolație al transformatoarelor de măsură se caracterizează prin:

- valoarea tensiunii alternative de frecvență industrială (50 Hz), aplicată transformatorului de măsură timp

de un minut, la care fiecare tip de transformator trebuie să reziste în condițiile prescrise de norme;

- valoarea amplitudinii de impuls, numită și *nivel de ținere la impuls*.

5.6.2. Efectuarea încercărilor

Înfășurarea primară a transformatoarelor de tensiune poate fi încercată la tensiunea alternativă sinusoidală mărită (avînd frecvență 50 Hz) prin două metode, și anume:

- metoda tensiunii aplicate;
- metoda tensiunii induse.

Încercarea cu tensiune mărită indiferent de metoda aplicată se face la punerea în funcțiune a transformatoarelor de tensiune, după reparația infășurării și periodic în exploatare, conform instrucțiunilor tehnice interne, care țin cont de importanța instalației în care este montat transformatorul de tensiune (de exemplu o dată la trei ani). Pentru transformatoarele de tensiune avînd $U_n > 35$ kV, încercarea cu tensiune alternativă mărită este o probă facultativă [29]. În orice caz, înainte de a se efectua proba cu tensiune alternativă mărită, trebuie să avem deja rezultatele corespunzătoare de la verificarea rezistenței de izolație, de la verificarea uleiului și valoarea $\operatorname{tg} \delta$ a transformatorului respectiv.

Încercarea transformatoarelor de curent se face numai prin metoda tensiunii aplicate.

Metoda tensiunii aplicate constă în a supune izolația transformatorului de măsură unei tensiuni de valoare prescrisă, luată de la o sursă reglabilă de tensiune. Tensiunea de încercare se aplică infășurării de înaltă tensiune, față de infășurările de joasă tensiune legate la cuvă și pămînt, a transformatoarelor care nu au un capăt al infășurării primare legat la pămînt. Pentru efectuarea încercării este necesar aparatul montat ca în schema din fig. 5.10. Valorile tensiunii de încercare a transformatoarelor de măsură noi, precum și cele ce se aplică transformatoarelor din exploatare sint indicate în tabelul 5.5. După verificarea corectitu-

dinii montajului din fig. 5.10 se trece la efectuarea încercării propriu-zise, care comportă următoarele operații:

— cu ajutorul mînerului *A* de pe pupitru de comandă *PC* se ridică tensiunea pînă la maximum 50% din valoarea tensiunii de încercare indicată în tabelul 5.5

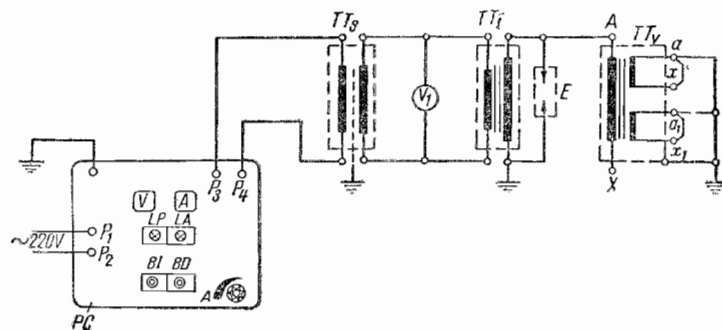


Fig. 5.10. Schema de montaj pentru încercarea transformatoarelor de măsură cu tensiune alternativă aplicată mărită:

PC — pupitru de comandă; *TT_s* — transformator de separare; *TT_i* — transformator de încercare; *TT_v* — transformator supus verificării; *E* — ecuator.

Tabelul 5.5

Valorile tensiunilor de încercare ce se aplică transformatoarelor de măsură noi sau celor din exploatare [26; 27 și 29]

Starea transformatoarelor de măsură	Valorile tensiunilor de încercare <i>U_i</i> , în kV, în funcție de tensiunea nominală a transformatoarelor, în kV									
	0,5	3	6	10	15	25	35	60	110	220
Transformator de măsură nou (sau după reparatie)	3	21	27	35	45	65	85	140	185 230*	395 460*
Transformator de măsură în exploatare	2,4	16,8	21,6	28	36	52	68	112	148 185*	316 368*

* La transformatoarele de curent și de tensiune din rețelele cu neutru nelegat la pămînt.

(adică 0,5 *U_i*), citită la voltmetrul *V₁*; după aceasta, cu ajutorul butonului *BD* de pe *PC* se deconecteză montajul.

— se apasă pe butonul *BI* de pe *PC*, aplicînd astfel în mod brusc jumătate din tensiunea de încercare a transformatorului ce se verifică, *TT_v*;

— apoi se ridică în continuare tensiunea, astfel încît în cel puțin 10 s și cel mult 30 s să se ajungă la valoarea lui *U_i*;

— transformatorul *TT_v* se ține sub tensiunea *U_i* timp de un minut de la aplicarea acesteia, urmărindu-se dacă nu se produc străpungeri sau descărcări electrice;

— se scade tensiunea cu ajutorul lui *A* din *PC* pînă la valoarea zero, după care se deconectează;

— se pune transformatorul *TT_v* la masă cu ajutorul unei prăjini izolante.

Transformatorul de tensiune verificat *TT_v* se consideră corespunzător din acest punct de vedere, dacă a rezistat timp de un minut la tensiunea de încercare fără a se produce descărcări sau străpungeri, ce pot fi depistate vizual, auditiv sau prin deconectarea pupitrelui de comandă la impulsul primit de protecția acestuia.

Metoda tensiunii induse constă în aplicarea unei tensiuni avind frecvență de 50 Hz, la bornele secundare ale transformatorului de tensiune, astfel încît (înînd cont de raportul de transformare al lui *TT_v*) în înfășurarea primară a acestuia să se obțină o tensiune indușă egală cu valoarea dată în tabelul 5.6 (care este în același timp și tensiunea de încercare a izolației între spire, în kV). Încercarea prin această metodă se face cu ajutorul montajului din fig. 5.11, metoda folosindu-se pentru transformatoare având $U_n \geq 35$ kV. Aceasta permite încercarea în același timp și a izolației dintre spirele înfășurării.

Pentru efectuarea încercării, tensiunea se ridică treptat cu ajutorul lui *AT* din *PC*, citind valoarea ei la voltmetrul *V₁* și înînd cont de raportul de transformare.

Transformatorul verificat se consideră corespunzător, dacă rezistă timp de un minut la tensiunea de încercare indicată în tabelul 5.6. În cazul cînd se dispune de aparatul de încercare corespunzător, se poate efectua încercarea cu

Tabelul 5.6

Valorile tensiunii induse ce se aplică transformatoarelor [26 și 29]

Starea transformatorică a transformatorului de verificare TT_v	Valoarea tensiunii de incercare U_i în kV, în funcție de tensiunea nominală a transformatorelor, în kV									
	0,5	3	6	10	15	25	35	60	110	220
Transformator de tensiune noi sau după reparație	1,25	7,5	15	25	37,5	55	75	100	150	390
Transformator de tensiune în exploatare									190*	385*

$$U_i = (1,15 \dots 1,3) U_{1n}$$

* Pentru transformatoarele din rețelele cu neutru nelegat la pămînt.

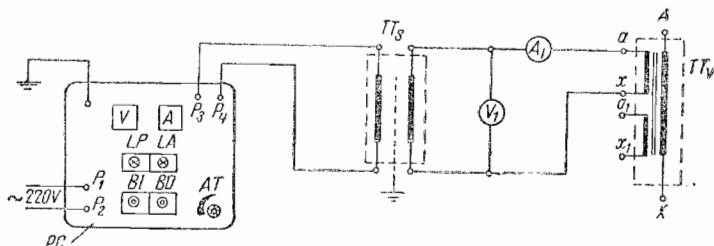


Fig. 5.11. Schema de montaj pentru incercarea transformatorilor de măsură cu tensiune alternativă mărită, indușă:
PC — pupitru de comandă și reglaj; TT_s — transformator de separare;
 V_i — voltmetru; TT_v — transformator de măsură supus verificării;
 A_i — ampermetru.

tensiunea alternativă mărită indușă, de frecvență 100–400 Hz, a infășurării de înaltă tensiune (ca probă facultativă), valorile tensiunii de incercare fiind cele din tabelul 5.7.

Transformatorul se consideră corespunzător din punctul de vedere al acestei probe, dacă rezistă la U_i indicată în

Tabelul 5.7

Valorile tensiunii induse, cu frecvență de 100–400 Hz, ce se aplică transformatorilor [29]

Starea transformatorică a transformatorului de verificare TT_v	Valoarea tensiunii de incercare U_i , în kV în funcție de tensiunea nominală a transformatorelor, în kV									
	0,5	3	6	10	15	25	35	60	110	220
Transformator de tensiune noi sau după reparația infășurărilor										

Conform tabelului 5.6

Transformator de tensiune în exploatare	1	6	12	20	30	44	60	80	120	312
									152*	268*

* Pentru cazul cînd neutrul nu este legat efectiv la pămînt.

tabelul 5.7, fără să prezinte descărcări sau străpungeri la o durată de timp calculată cu relația

$$t_i = 300 \frac{100}{f_i} \geq 90 \text{ s}, \quad (5.4)$$

unde f_i este frecvența tensiunii de incercare;

t_i — durata menținerii tensiunii de incercare.

Pe lîngă incercarea infășurării primare, se supune incercării cu tensiune alternativă mărită ($f=50$ Hz) fiecare din infășurările secundare ale transformatorului de tensiune, la punerea lui în funcțiune, după reparația infășurărilor și în exploatare, periodic o dată la doi ani. Incercarea constă în aplicarea timp de un minut a tensiunii de incercare (care este de 2 kV pentru transformatoarele noi și cele ieșite din reparație, respectiv 1 kV pentru transformatoarele din exploatare), fiecarei infășurări secundare față de celealte infășurări secundare și, infășurarea primară legată la cuvă și pămînt (fig. 5.12). Pentru aplicarea tensiunii se procedează conform indicațiilor de mai sus. Transformatorul se consideră corespunzător, dacă suportă

tensiunea de încercare timp de un minut fără a se străpunge. Pe teren încercarea se poate face mai comod cu ajutorul trusei de 1 000 V, fabricată de IRME Bucureşti (fig. 5.13).

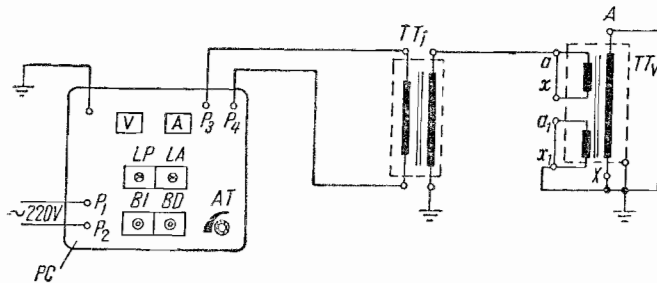
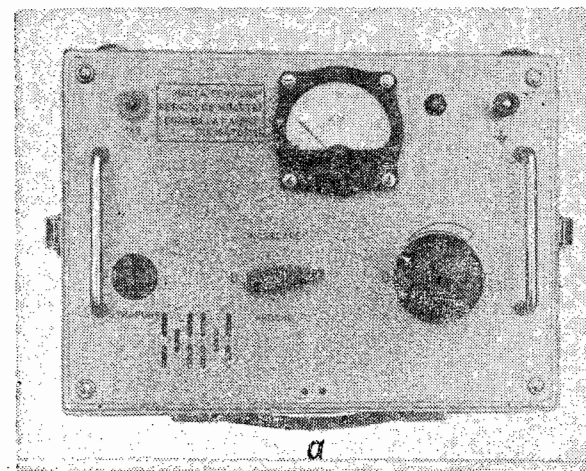


Fig. 5.12. Schema de montaj pentru încercarea cu tensiune alternativă mărită a înfășurărilor secundare ale transformatoarelor de măsură.

5.7. Încercarea izolației cu tensiune de impuls

În timpul funcționării, transformatoarele de măsură au de suportat solicitări electrice datorită supratensiunilor de frecvență industrială, provocate de fenomene de comutație, surcircuituri, ruperi de conductoare, variații brusăte de sarcină în rețea, precum și datorită supratensiunilor de origine atmosferică, provocate de descărcările atmosferice. Acestea din urmă apar sub forma unor unde unidirecționale de impuls, de scurtă durată (de ordinul microsecundelor), numite unde de impuls sau unde de soc. Rezultatele obținute la încercarea cu tensiune alternativă mărită, de 50 Hz (subcap. 5.6) nu pot furniza informații asupra modului în care se va comporta aceeași izolație la solicitarea ei prin undă de impuls. Aceasta datorită faptului că fenomenele ce au loc în izolația transformatoarelor de măsură, la solicitările la care o supunem prin cele două încercări, sănt calitativ diferite. Solicitările la care este supusă izolația datorită supratensiunilor atmosferice nu pot fi reprodate în laborator prin nici o altă încercare în afară de încercarea la undă de impuls. Datorită acestui fapt se



a

Diagrama comutatorului K

	Nr. contactelor	1-P ₁	2-P ₂	3-P ₃
Pozitia monetei				
Încercare		X	X	X
Zero		—	—	—
Ardere		X	X	—

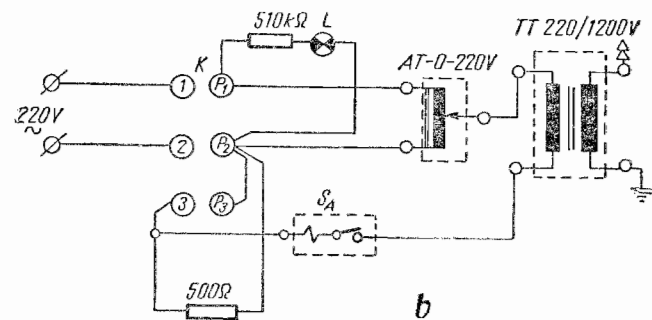


Fig. 5.13. Trusa IRME-1000:
a — vedere frontală a trusei; b — schema electrică a trusei.

pune tot mai mult problema introducerii în nomenclatorul probelor și a încercării la unda de impuls. Acestea se pot produce în laborator cu ajutorul generatoarelor de impuls sau de soc, constituite din condensatoare, generatoare electrostatice sau redresoare mecanice. Valoarea de vîrf a undei se consideră egală cu valoarea tensiunii de încercare (tabelul 5.8).

Tabelul 5.8

Valorile tensiunii de încercare la unda de impuls [27]

Tensiunea nominală a transformatorului de încercat	0,5	3	6	10	15	25	35	60	110	220
Tensiunea de încercare la unda de impuls de $1,2/20 \mu\text{S}$, în kV	—	45	60	75	95	150	195	325	450	900

* La transformatoarele de curent și tensiune montate în rețele cînd neutrul nu este legat efectiv la pămînt.

Transformatoarele de măsură trebuie să suporte încercările la unde de impuls de ambele polarități, numărul de impulsuri fiind prescris (de exemplu cinci impulsuri de undă avînd amplitudinea indicată în tabelul 5.8, la care transformatorul nu trebuie să conturneze niciodată). Încercarea cu undă de impuls a transformatoarelor de măsură se face în întreprinderile constructoare și în exploatare, de către personalul cu înaltă calificare, special instruit în acest sens. Pentru încercările transformatoarelor din exploatare, există instalații de încercare mobile, montate pe autotrenorci.

5.8. Măsurarea rezistenței înfășurărilor

5.8.1. Noțiuni generale și metode de măsurare

Această măsurare trebuie efectuată la punerea în funcție și cu ocazia reparației înfășurărilor transformatoarelor de măsură, în scopul de a stabili dacă legătura de con-

tact a capetelor înfășurărilor la borne este corespunzătoare (rezistență de contact mică), precum și de a verifica continuitatea înfășurărilor, în sensul ca acestea să nu aibă întrerupere. Rezistența de contact mare duce la încălzirea legăturii de contact, care favorizează oxidarea și în final întreruperea circuitului.

Măsurarea rezistenței ohmice a înfășurărilor se poate face prin două metode, și anume: metoda volt-amper și metoda punții Wheatstone.

Metoda volt-amper constă în aplicarea unei tensiuni la bornele înfășurării respective și măsurarea tensiunii și a curentului absorbit de înfășurare (fig. 5.14). Rezistența înfășurării se obține din legea lui Ohm, prin împărțirea tensiunii măsurate la valoarea curentului măsurat ($r_x = \frac{U}{I}$).

Metoda punții Wheatstone folosește schema din fig. 5.15, care conține trei rezistențe (r , r_1 , r_2), rezistență ohmică r_x a înfășurării ce se măsoară și galvanometru cu ac indicator G . Rezistențele r , r_1 și r_2 se pot regla în așa fel încît, la închiderea întreuptorului K și a butonului B , prin galvanometru să nu treacă curent (puntea echilibrată). În acest caz, valoarea rezistenței r_x ce se măsoară se calculează cu relația

$$r_x = r \frac{r_1}{r_2}, \quad (5.5)$$

valoare ce se poate citi direct pe puncte. Datorită faptului că firele de legătură dintre puncte și înfășurarea a cărei rezistență r_x se măsoară, precum și rezistențele de contact ale acestor fire intră în brațul punții, înseamnă că valoarea

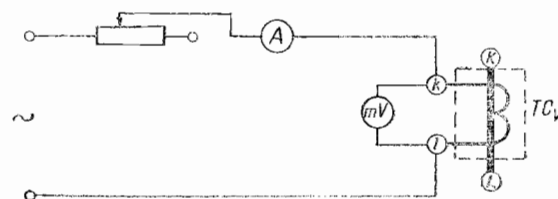


Fig. 5.14. Schema de montaj pentru măsurarea rezistenței ohmice a înfășurărilor prin metoda voltmetru-amperméttru.

măsurată va conține și aceste rezistențe străine, adică va conține erori cu atât mai mari cu cît rezistența infășurării măsurate va fi mai mică. Pentru eliminarea rezistențelor

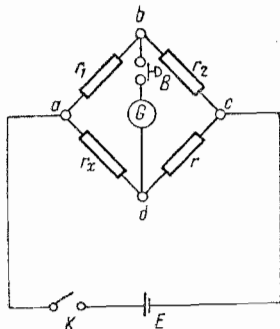


Fig. 5.15. Schema de principiu a punții Wheatstone.

introduce de cordoanele de legătură și de contactele lor, deci pentru eliminarea erorilor introduce de acestea, în cazul măsurării rezistențelor mici (infășurările transformatoarelor de curent și infășurările secundare ale transformatoarelor de tensiune) se utilizează puntea dublă, a cărei schemă electrică este redată principal în fig. 5.16.

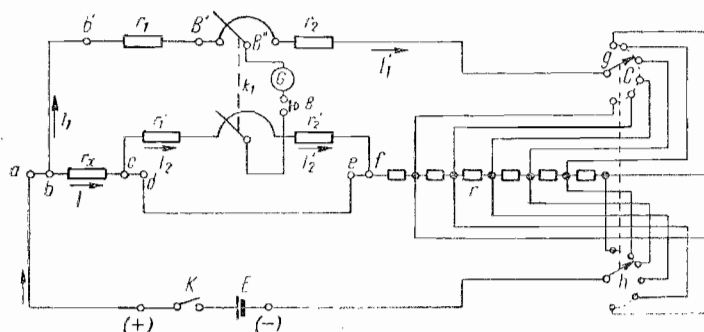


Fig. 5.16. Schema electrică a punții duble.

Cu ajutorul cursorului dublu k_1 al punții se reglează fin raportul $\frac{r_1}{r_2} = \frac{r'_1}{r'_2}$, menținind egalitățile $r_1 = r'_1$ și $r_2 = r'_2$, pentru o anumită poziție a comutatorului dublu C , care

alege treptele rezistenței în decade r . Din cursorul dublu k_1 se echilibrează deci puntea (se aduce acul galvanometrului la zero) pentru poziția fixă aleasă a comutatorului C . În acest caz rezistența necunoscută se obține din relația (5.5), în care r este valoarea rezistenței citite pe poziția fixată la comutatorul C în timpul măsurării, iar r_1/r_2 este valoarea citită la cursorul K_1 în momentul echilibrului punții. Se observă că la determinarea rezistenței necunoscute r_x cu ajutorul acestei punți nu intervin erorile de măsurare datorite rezistenței cordoanelor de legătură și nici rezistențele de contact ale acestor cordoane, din următoarele motive:

— rezistențele de contact ale cordoanelor de legătură din punctele b , b' , B' și B'' , precum și rezistența ohmică a cordoanelor bb' și $B'B''$ sunt infinit mici față de rezistență r_1 , având valori de circa $10\ \Omega$ și deci se pot neglija față de aceasta (același lucru este valabil și pentru brațul în care se găsește r_2);

— rezistențele de contact din punctele a , d , e și h se găsesc în exteriorul rezistenței r_x ce se măsoară, respectiv a lui r , adică în exteriorul punctelor b , c și f , g , din care se ia cădere de tensiune pe rezistențele respective și se aplică galvanometrului, astfel încât ele nu influențează rezultatele măsurărilor. În practică se utilizează puntea simplă (Wheatstone), pentru măsurarea rezistenței infășurării primare a transformatoarelor de tensiune, și puntea dublă (fig. 5.16), pentru măsurarea rezistenței infășurărilor transformatoarelor de curent și tensiune, punți cunoscute și sub denumirea de *ohmmetre*.

5.8.2. Efectuarea măsurărilor

Pentru efectuarea măsurării rezistenței ohmice a infășurării de înaltă tensiune a transformatorului de tensiune se utilizează puntea Wheatstone (puntea simplă), conform montajului din fig. 5.17. După efectuarea montajului, comutatorul C se fixează pe o poziție avind valoarea aproximativ de același ordin de mărime cu rezistența infășurării primare a transformatorului de măsură (cursorul C poate avea pozițiile 0,1; 1; 10; 100; 1 000). Măsurarea începe prin

fixarea comutatorului C pe poziția 100. Apoi se fixează cursorul K_1 pe poziția zero și se apasă butonul B . Dacă acul galvanometrului deviază spre stînga poziției de zero, se lasă butonul B și se fixează cursorul K_1 pe poziția de rezistență maximă, după care se apasă din nou. Dacă de data aceasta acul deviază spre dreapta, se micșorează rezistența prin cursorul K_1 pînă ce acul revine la zero, menținind butonul B apăsat (cînd puntea se consideră echilibrată). Dacă, spre exemplu, puntea s-a echilibrat la valoarea de 3Ω a cursorului K_1 , atunci rezistența infășurării transformatorului TT_v ce se verifică va fi $r_x = 3 \cdot 100 = 300 \Omega$.

În cazul cînd pe poziția aleasă a comutatorului C , puntea nu poate fi echilibrată, trebuie aleasă o altă poziție a acestuia. Pentru măsurarea rezistenței ohmice a infășurărilor secundare ale transformatoarelor de măsură și a infășurării primare a transformatoarelor de curent se procedeză în același fel însă montajul folosit este altul, și

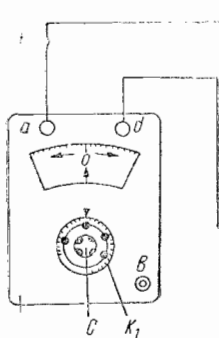


Fig. 5.17. Schema de montaj pentru măsurarea rezistenței ohmice a infășurărilor cu puntea Wheatstone:

P — puntea simplă; TT_v — transformatorul de măsură supus verificării.

anume cel din fig. 5.18, întrucît în acest caz se folosește puntea dublă.

Transformatoarele de măsură se consideră corespunzătoare din punctul de vedere al rezistenței, în cazul cînd valurile măsurate nu diferă față de cele inițiale sau indicate

de întreprinderea constructoare cu mai mult de 2%. La transformatoarele de tensiune trifazate mai este o condiție suplimentară, și anume ca rezistența diferitelor faze să nu difere cu mai mult de 2% între ele. Dacă puntea indică valoarea infinit, înseamnă că infășurarea este întreruptă. În acest caz transformatorul trebuie decuvat și reparat în atelier. Dacă puntea indică o valoare exagerat de mică în comparație cu rezistența indicată de întreprinderea constructoare, înseamnă că infășurarea are spire în scurtcircuit și transformatorul de asemenea trebuie introdus în reparație.

5.9. Determinarea polarității bornelor

5.9.1. Noțiuni generale

După cum s-a arătat în cap. 4, bornele transformatoarelor de măsură sunt marcate după anumite reguli, ce trebuie respectate cu strictețe, acest lucru avînd o importanță deosebită mai ales în cazurile în care transformatoarele respective alimentează relee de putere (direcționale), scheme de protecție diferențială și de distanță, scheme de sincronizare din stații și centrale, wattmetre, varmetre, contoare de energie activă și reactivă.

În cazul cînd marcajul bornelor este greșit (inversat în urma unei reparații), instalațiile alimentate de transformatorul în cauză funcționează incorect. Pentru exemplificare, în fig. 5.19 s-a reprezentat o porțiune de rețea cuprinzînd sursele CTE-1 și CTE-2 și liniile electrice din stația S_1 , cu întreruptoarele lor I_1 , I_2 , I_3 și I_4 . Protecțile liniilor avînd întreruptoarele I_1 și I_2 trebuie direcționate în sensul de a da declansare întreruptoarelor respective atunci cînd apar scurtcircuite pe aceste linii (sensul indicat prin săgeți cu linie plină în interiorul releeului). Pentru a funcționa în acest mod (în sensul săgeții) este necesar ca transformatorul de curent să fie astfel conectat încît la un defect pe linie (cînd energia se scurge de la bară stației S_1 spre linie), borna secundară polarizată k să fie legată la borna polarizată a bobinei de curent a releeului direcțional (bornele po-

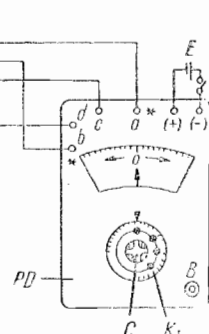


Fig. 5.18. Schema de montaj pentru măsurarea rezistenței ohmice a infășurărilor cu puntea dublă:

PD — puntea dublă; TT_v — transformatorul de măsură supus verificării.

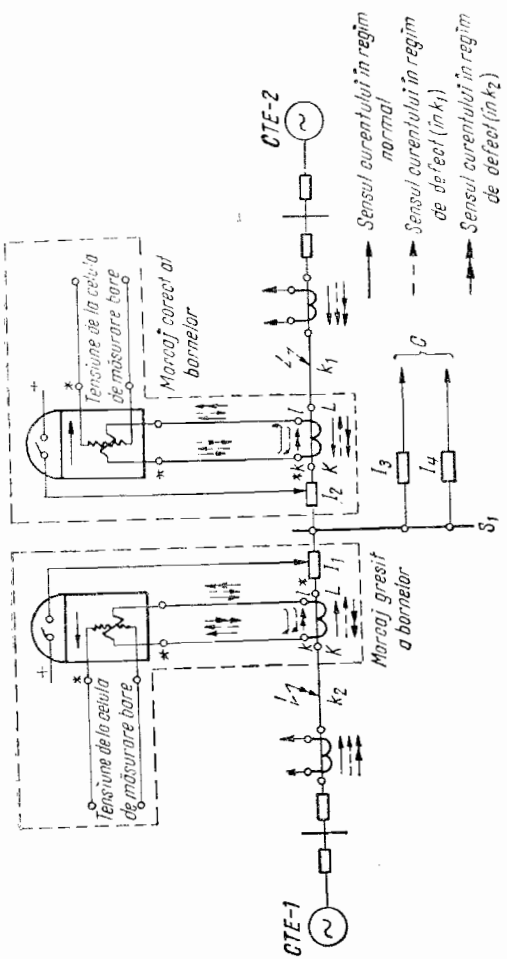


Fig. 5.19. Exemplu de folosire a unui marcaj corect, respectiv greșit, al bornelor secundare ale transformatoarelor de curent ce alimentează relee direcționale.

larizate sănt notate cu *). Tensiunile trebuie, de asemenea, aplicate releului conform schemei de protecție. Presupunind că transformatorul de curent de pe linia cu intreruptorul I_1 are inversat marcajul bornelor (așa cum s-a reprezentat în fig. 5.19) și că apare un scurtcircuit în punctul K_1 pe LEA a intreruptorului I_2 , intreruptorul I_1 va declanșa (la impulsul protecției) incorect, iar intreruptorul I_2 va declanșa corect. În această situație stația S_1 rămâne fără tensiune, iar consumatorii alimentați de liniile C vor fi intrerupți cu toate urmările ce decurg din aceasta. Pentru a se evita astfel de greșeli în conectarea instalațiilor de protecție, măsurare și automatizare, este absolut necesar să se verifice corectitudinea marcării bornelor transformatoarelor de măsură după reparărie și la punerea în funcțiune. Verificarea corectitudinii marcării bornelor (verificarea polarității) constă în determinarea bornei secundare ce corespunde acelei borne primare în care *curentul intră*. Verificarea polarității se poate face prin mai multe metode, după cum se arată în cele ce urmează.

5.9.2. Verificarea polarității bornelor transformatoarelor de tensiune

Pentru determinarea polarității bornelor transformatoarelor de tensiune se folosește *metoda curentului continuu*. Aparatajul folosit în acest caz este: miliampermetru magnetoelectric de tipul cu amortizare mare și scală dublă (având zero la mijloc), cu domeniul de măsură 0—30 mA, sau un multavi ce se fixează pe scala de curent continuu în jurul valorii de 30 mA, un buton de sonerie și o baterie telefonică S de 1,5 V, montate ca în schema din fig. 5.20. Dacă polaritatea bornelor corespunde adică există și în realitate ceea ce se indică în schema din (fig. 5.20), atunci în momentul apăsării butonului B (care se ține apăsat maximum 2—3 s), acul miliampermetrului va devia de la zero spre dreapta scalei, după care revine la zero. Cind se deschide butonul B , acul aparatului deviază spre stînga scalei, după care revine la zero. Dacă polarizarea bornelor nu corespunde (sunt marcate greșit), deviația acului miliampermetrului va fi de sens contrar primului caz. Pentru

a mări operativitatea măsurării și a evita greșelile de montaj, se poate utiliza la verificarea polarității *un indicator de polaritate* (fig. 5.21) ce poate fi construit în orice atelier. Reostatul R de circa $1\,000\,\Omega$, ce se reglează printr-un

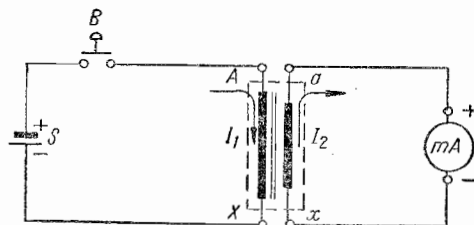


Fig. 5.20. Schema de montaj pentru determinarea polarității bornelor transformatoarelor de tensiune, prin metoda curentului continuu:

S — sursă de tensiune de curent continuu (pilă);
 B — buton; TT_v — transformatorul supus verificării; mA — miliampermetru.

șurub fără sfîrșit, are rolul de a proteja miliampermetrul împotriva curenților prea mari, care ar provoca îndoirea acului indicator. Înainte de inceperea măsurării, reostatul

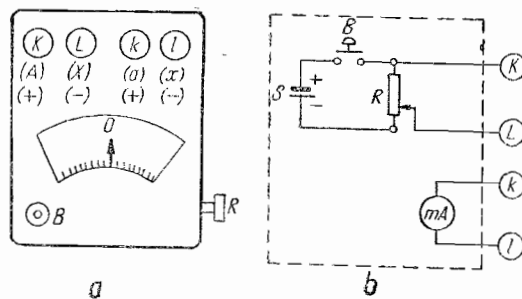


Fig. 5.21. Indicator de polaritate:
a — aspectul exterior; b — schema electrică interioară.

se fixează pe poziția de rezistență maximă, după care se reglează pînă cînd se obține (la apăsarea butonului B) o deviație ușor de remarcat.

La transformatoarele de măsură trifazate, pentru a verifica corectitudinea legăturilor interioare ale înfășurărilor primare, respectiv secundare, se determină grupa de conexiuni a acestora tot cu ajutorul *indicatorului de polaritate*,

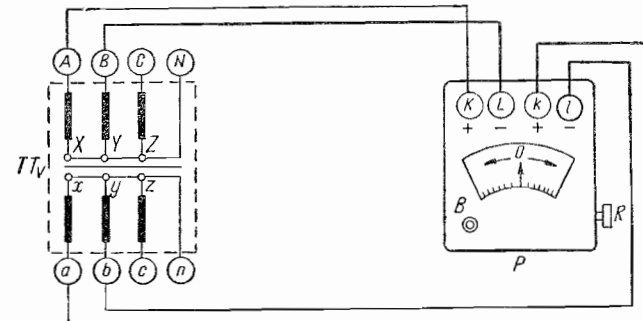


Fig. 5.22. Schema de montaj pentru determinarea grupei de conexiuni a transformatoarelor de tensiune cu indicatorul de polaritate:

P — indicator de polaritate; TT_v — transformatorul supus verificării.

conform fig. 5.22. Se apasă pe butonul B și acul indicator al miliampermetrului va devia fie spre (+) fie spre (-). Această deviație se introduce cu semnul respectiv în tabelul 5.9, după care se desfac legăturile de la a și b ale lui

Tabelul 5.9

Semnul deviației acului indicator al miliampermetrului

Borne primare \ Borne secundare	ab	bc	ca
Borne primare			
AB	+	-	-
BC	-	+	-
CA	-	-	+

TT_v (fig. 5.22) și se leagă borna b cu k și borna c cu l . Se repetă operația de mai sus și se notează semnul deviației în coloana bc . Se desfac apoi legăturile de la b și c și se

leagă borna c la k , iar a la l și se notează semnul deviației în rîndul AB coloana ca .

În continuare se desfac legăturile de la bornele primare A și B ale lui TT_v și se leagă borna B la K și C la

Tabelul 5.10

Grupele de conexiuni posibile ale transformatoarelor și semnele pentru identificarea lor

Bornale primare ale transformatoarelor, legate la bornele KL ale polarimetruului			Semnele deviației miliampmetrului legat la bornele:								
	ab	bc	ca	ab	bc	ca	ab	bc	ca		
grupa 12			grupa 4			grupa 8					
AB	+	-	-	-	-	+	-	+	-		
BC	-	+	-	+	-	-	-	-	+		
CA	-	-	+	-	+	-	+	-	-		
grupa 6			grupa 10			grupa 2					
AB	-	+	+	+	+	-	+	-	+		
BC	+	-	+	-	+	+	+	+	-		
CA	+	+	-	+	-	+	-	+	+		
grupa 11			grupa 3			grupa 7					
AB	+	0	-	0	-	+	-	0	-		
BC	-	+	0	+	0	-	0	-	+		
CA	0	-	+	-	+	0	-	0	-		
grupa 1			grupa 5			grupa 9					
AB	+	-	0	-	0	+	0	+	-		
BC	0	+	-	+	-	0	-	0	+		
CA	-	0	+	0	+	-	+	-	0		

L , după care se repetă operațiile arătate mai sus, făcindu-se permutări circulare cu legăturile pe secundar și notându-se în tabel semnele deviațiilor pe rîndul al doilea (BC) în coloanele respective. De asemenea se repetă

verificările și pentru legăturile polarimetruului la bornele C și A ale TT_v . Pentru exemplificare, considerăm că la aceste verificări s-au obținut deviații avînd semnele notate în tabelul 5.9. Pentru a stabili grupa de conexiuni a transformatorului verificat TT_v se compară datele obținute și înscrise în tabelul 5.9 cu datele din tabelul 5.10.

Comparînd datele din cele două tabele, rezultă că transformatorul verificat are grupa de conexiuni $Yy - 12$.

5.9.3. Verificarea polarității bornelor transformatoarelor de curent

Această verificare se poate face prin metoda curentului continuu, prin metoda wattmetrică și prin metoda adunării algebrice a curentilor.

Metoda curentului continuu. Se procedează ca la § 5.9.2, cu deosebirea că notațiile bornelor primare vor fi K și L în loc de A și X , iar în secundar k și l în loc de a și x .

Metoda wattmetrică. În cazul acestei metode se folosește schema de montaj din fig. 5.23 (cu linie plină). Cu ajutorul trusei TC-1200 se alimentează montajul din fig. 5.23 cu un curent avînd o valoare aproximativ egală cu curentul nominal primar al transformatorului de curent TC_v ce se verifică și se notează sensul deviației acu-lui indicator al wattmetrului cu scală dublă. Apoi se reduce curentul la zero și se efectuează legăturile la wattmetru conform schemei desenate cu linii întrerupte (fig. 5.23), repetîndu-se operația de mai sus. Dacă sensul deviațiilor are același semn, marcarea bornelor transformatorului de curent verificat este corectă.

Metoda adunării algebrice a curentilor. Se alimentează montajul din fig. 5.24 cu un curent în limita domeniului de măsurare al ampermetrelor. Se observă că ampermetrul A_1 va indica curentul din primarul transformatorului de verificat TC_v , iar ampermetrul A_2 va indica suma curentilor primar I_1 și secundar I_2 . Rezultă că marcarea bornelor corespunde în cazul cînd ampermetrul A_2 indică o valoare mai mare decît ampermetrul A_1 . Dacă ampermetrul A_2 indică mai puțin decît A_1 , marajul bornelor nu corespunde întrucît ar avea aspectul din fig. 5.25. În

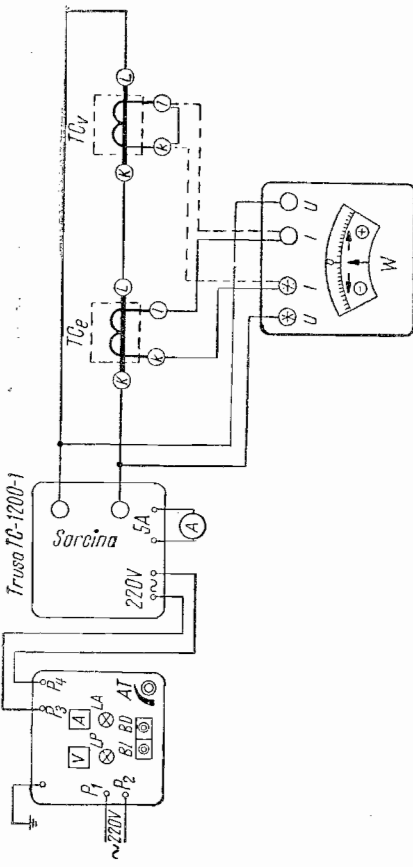


Fig. 5.23. Schema de montaj pentru verificarea polarității bornelor transformatoarelor de curent, prin metoda wattmetrică:
PC — pupitru de comandă; TC_e — transformator de curent etalon; TC_v — transformator supus verificării; W — wattmetru cu dublu sens.

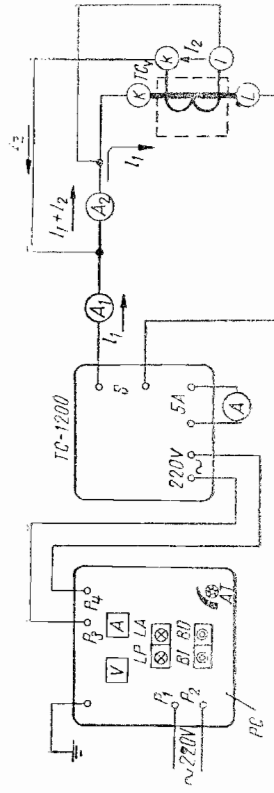


Fig. 5.24. Schema de montaj pentru verificarea polarității bornelor transformatoarelor de curent, prin metoda adunării algebrice a curenților renților (marcajul bornelor corespunde):
PC — pupitru de comandă; TC_e — transformatorul supus verificării;
 A_1, A_2 — ampermetre.

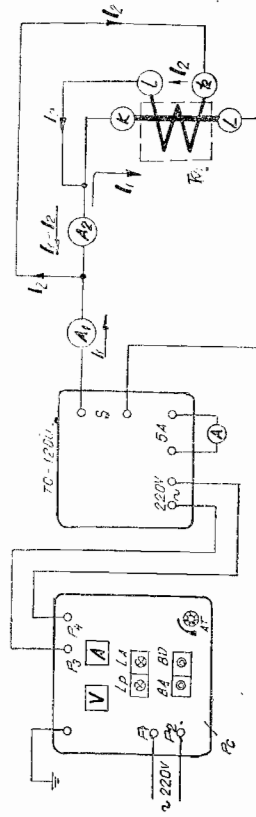


Fig. 5.25. Schema de montaj pentru verificarea polarității bornelor transformatoarelor de curent, prin metoda adunării algebrice a curenților:
PC — pupitru de comandă; TC — trusă de 1200 A; TC_v — transformator supus verificării; A_1, A_2 — ampermetre.

general, metoda adunării geometrice a curenților nu se folosește în practică, deoarece diferența (respectiv suma) curenților nu este suficient de sensibilă, datorită faptului că I_2 este mic în comparație cu I_1 .

5.9.4. Verificarea legării grupelor de trei transformatoare de curent folosite pentru protecția diferențială

După cum se știe, protecțiile diferențiale folosesc două sau mai multe grupe de transformatoare de curent (a către două sau trei transformatoare de curent într-o grupă), din care una, respectiv două grupe pot avea secundarele în conexiune triunghi. Verificarea conexiunii se face la punerea în funcțiune a protecției diferențiale, pentru a constata dacă legăturile înfășurărilor secundare

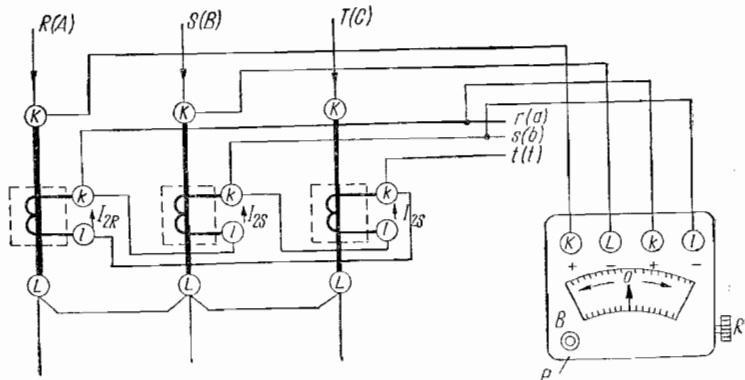


Fig. 5.26. Schema de montaj pentru verificarea conexiunii unei grupe de trei transformatoare de curent folosite la alimentarea protecției diferențiale:

P — indicator de polaritate.

ale celor trei transformatoare de curent sunt conform proiectului. În fig. 5.26 s-a reprezentat grupa de trei transformatoare de curent pentru protecția diferențială, la care bornele primare L s-au legat împreună (scurtcircuitat) pe

timpul verificării. Operația de verificare se execută ca și în cazul grupelor de conexiuni a transformatoarelor de tensiune trifazate (§ 5.9.2). De asemenea, pentru stabilirea grupelor de conexiuni, rezultatele măsurărilor se compară cu datele din tabelul 5.10. Verificarea conexiunii grupelor de transformatoare de curent din protecția diferențială trebuie efectuată, pentru a evita punerea în funcțiune a acestei protecții cu legături greșite, fapt care ar avea ca urmare acționări false ale protecției și ar necesita scoaterea din funcțiune a instalațiilor pentru remedieri.

5.10. Determinarea raportului de transformare și a erorilor de raport și de unghi

5.10.1. Noțiuni generale

După cum s-a amintit, în procesul de funcționare al transformatoarelor de măsură, mărimea primară este transpusă în circuitul secundar, redusă de un anumit număr de ori (în funcție de raportul de transformare). Ținând cont de faptul că atât mărările primare cât și cele secundare sunt mărările fazoriale, analiza lor impune luarea în considerare nu numai a valorii acestor mărările, ci și a sensului și a defazajului dintre ele.

Analizând problema din punctul de vedere al valorii, se poate afirma că în primă aproximație, valoarea mărării secundare este proporțională cu valoarea mărării din primarul transformatorului. Datorită acestui fapt, dacă se înmulțește indicația aparatului de măsurat conectat la înfășurarea secundară a transformatorului, cu un coeficient numit *raport de transformare*, se poate determina valoarea mărării din primar. Prin raport de transformare nominal (k_n) al transformatorului de măsură se înțelege raportul dintre valoarea mărării primare nominale (U_{1n} sau I_{1n}) și a aceleia secundare nominale (U_{2n} sau I_{2n}), acest raport fiind înscris pe plăcuța indicatoare sub formă de fracție, și anume:

— Pentru transformatoarele de tensiune, raportul de transformare este dat de relația

$$k_n = \frac{U_{1n}}{U_{2n}},$$

în care: U_{1n} este tensiunea nominală primară, care se definește ca fiind tensiunea aplicată la bornele fazelor înfășurării primare în regim nominal de funcționare;

U_{2n} — tensiunea nominală secundară, definită ca fiind tensiunea ce rezultă la bornele fazelor înfășurării secundare, atunci cind înfășurării primare i se aplică tensiunea nominală (secundarul fiind deschis).

— Pentru transformatoarele de curent, raportul de transformare este dat de relația.

$$k_n = \frac{I_{1n}}{I_{2n}},$$

în care: I_{1n} este curentul nominal primar al transformatorului de curent, înscris pe plăcuța lui indicatoare, care determină condițiile nominale de funcționare ale transformatorului;

I_{2n} — curentul nominal secundar, definit, conform STAS 4324-62, ca fiind valoarea curentului din înfășurarea secundară, înscris de plăcuța indicatoare și care determină condițiile de funcționare nominale ale transformatoarelor de curent (valorile standardizate ale lui I_{2n} sunt 5 A și, în cazuri speciale, 1A).

Exactitatea cu care se măsoară mărimea primară cu aparatul conectat în secundar nu este aceeași pentru întregul domeniu de variație al mărimiții din circuitul primar. Acest lucru se dătoresc faptului că, în realitate, mărimele secundare nu variază proporțional cu cele primare și deci raportul de transformare k_n nu este constant pentru întregul domeniu de variație al mărimiții primare. Rezultă că

mărimele primare se vor putea măsura cu exactitate în secundar, numai dacă se cunosc valorile raportului de transformare pentru toate condițiile de funcționare a transformatorului de măsură. Principalele condiții de funcționare a transformatorului de măsură, respectiv principaliii parametri de care depinde de valoarea raportului de transformare, sunt:

— regimul de funcționare al transformatorului de măsură (supraîncărcat, în gol, dezechilibru pe faze, scurtcircuit etc.);

— valoarea tensiunii primare, respectiv a curentului primar, determinată de condițiile de lucru ale circuitului primar și de frecvența acestora;

— valoarea sarcinii secundare;

— caracterul sarcinii conectate la secundarul transformatorului de măsură (în funcție de caracterul receptoarelor, poate predomina sarcina secundară cu caracter activ sau cu caracter reactiv);

— calitatea materialului tolelor miezului magnetic și a prelucrării lui.

Datorită celor expuse mai sus, pentru a măsura cu exactitate mărimea primară, ar fi necesar ca indicația aparatului de măsurat din secundar să se înmulțească nu cu raportul nominal de transformare k_n , ci cu un alt raport, numit *raport de transformare efectiv (real) k_e* . Prin raport de transformare efectiv (real) k_e al transformatorului de măsură se înțelege raportul dintre valoarea mărimiții primare reale (U_1 sau I_1) și valoarea mărimiții secundare reale (U_2 sau I_2). În practică însă, este incomod să se folosească raportul real de transformare, deoarece acesta variază ca valoare în funcție de condițiile arătate mai sus. Din acest motiv, valoarea indicată de aparatul de măsurat conectat în secundar se înmulțește nu cu raportul efectiv (real) de transformare k_e , ci tot cu raportul nominal k_n care este constant, fapt pentru care indicațiile aparatelor de măsurat din secundar vor conține erori (eroare de tensiune, respectiv de curent).

Dacă problema este privită din cel de-al doilea punct de vedere, și anume al sensului și defazajului fazorilor ce reprezintă mărimele primare și secundare ale transforma-

toarelor de măsură, atunci la măsurarea unor mărimi, ca putere, energie, factor de putere etc., intervine și o altă eroare, numită *eroare de unghi* a transformatorului de măsură. Se știe că fluxul magnetic Φ este defazat cu 90° în urma mărimii primare, iar t.e.m. E_2 este defazată cu 90° în urma fluxului ce a produs-o. Dacă bobinajul secundar este închis printr-un aparat de măsurat sau releu, tensiunea electromotoare va determina un curent I_2 , care, în cazul unei sarcini secundare pur ohmice și dacă înfășurarea secundară nu ar avea reactanță, ar fi în fază cu E_2 . Rezultă deci că în cazul ideal, la un transformator de măsură, fazorul curentului secundar, respectiv al tensiunii secundare, este defazat față de fazorul mărimii primare cu 180° , adică sunt în opozitie. În cazul real al transformatoarelor de măsură utilizate în instalații, defazajul dintre fazorul mărimii secundare și cel al mărimii primare diferă de 180° , fiind mai mic sau mai mare cu un anumit unghi δ , care reprezintă eroarea de unghi (fig. 5.27 și 5.30). Această eroare se consideră (în mod convențional) pozitivă, dacă fazorul mărimii secundare rotit cu 180° este defazat cu un unghi δ înaintea fazorului mărimii primare și se consideră negativă în situația cînd este defazat în urma fazorului mărimii primare. Defazajele dintre fazorii ce reprezintă mărimile primare și secundare ale transformatorului de măsură, precum și fazorii celorlalte mărimi ce caracterizează funcționarea transformatorului (flux, t.e.m. etc.) rezultă din dia-grama fazorială a transformatorului de măsură.

Avînd în vedere faptul că transformatorul de tensiune funcționează ca un transformator de putere în regim de mers în gol, iar transformatorul de curent funcționează ca un transformator de putere în regim de scurtcircuit, diagramele fazoriale ale celor două feluri de transformatorare de măsură diferă între ele. În fig. 5.27 este redată dia-grama fazorială a transformatorului de tensiune [5], din care reies cauzele erorilor de raport și de unghi. În această diagramă s-a reprezentat fazorul tensiunii primare U_1 avînd o direcție arbitrară aleasă, care acoperă căderile de tensiune în bobinajul primar ($I_1 r_1$ și $I_1 x_1$) și echilibrează t.e.m. primară E_1 . Pentru magnetizarea miezului magnetic se absoarbe un curent I_μ avînd caracter reactiv,

iar pentru acoperirea pierderilor în fierul miezului (pierderi prin histerezis și prin curenți turbionari) se absoarbe un curent activ I_a , care însușă geometric formeză curentul de mers în gol I_0 . Fluxul creat în fier de curentul magne-

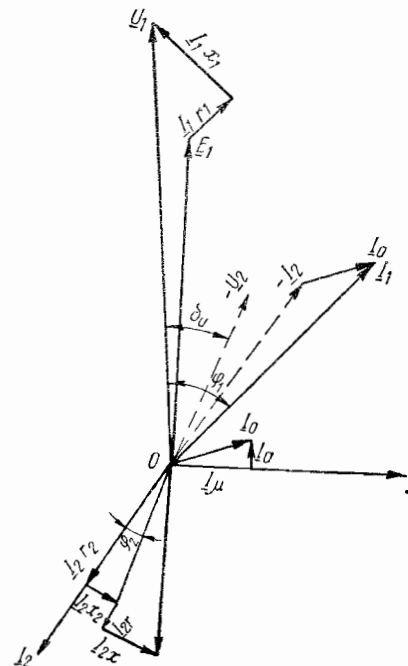


Fig. 5.27. Diagrama fazorială a trans-formatoarelor de tensiune.

tizant induce în înfășurarea secundară o t.e.m. E_2 , defazată cu 90° în urma lui. Această t.e.m. E_2 acoperă tensiunea secundară U_2 (care reprezintă suma geometrică a căderilor de tensiune în rezistență și reactanță înfășurării secundare, adică $I_2 r_2 + I_2 x_2$), precum și suma geometrică a căderilor de tensiune în rezistență și reactanță circuitului exterior conectat la secundarul transformatorului ($I_2 r + I_2 x$). Rotind fazorul tensiunii secundare U_2 cu 180° (desenat punctat $-U_2$), se observă că acesta nu se supra-

pune peste fazorul tensiunii primare U_1 , cî este defazat față de acesta cu unghiul δ_u , care reprezintă eroarea de unghi (fazorii U_1 și U_2 nefiind în opoziție). Din diagrame se observă că în cazul cînd pe secundarul transformatorului se conectează mai multe aparate, acestea vor absorbi un curent mai mare (respectiv o putere secundară P_2 mai mare), care va determina creșterea căderilor de tensiune în înfășurările secundară și primară. Cum însă tensiunea

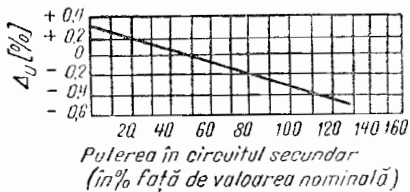


Fig. 5.28. Variația erorii de raport a transformatoarelor de tensiune, în funcție de sarcină.

primară U_1 nu se modifică (fiind tensiunea rețelei), se vor modifica tensiunea U_2 (care trebuie să acopere căderii

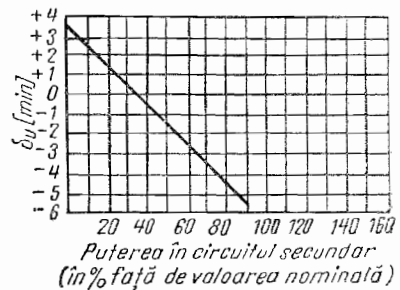


Fig. 5.29. Variația erorii de unghi a transformatoarelor de tensiune, în funcție de sarcină.

de tensiune mai mari în secundar), curentul primar I_1 și curentul de mers în gol I_0 . Prin schimbarea numărului diferitelor aparate de măsurat și relee din secundar se modifică pe lîngă parametrii arătați și caracterul sarcinii

secundare, ceea ce duce la modificarea unghiului ϕ . Rezultatul acestor modificări în circuitul secundar exterior constă în modificarea erorilor (de raport și de unghi) ale transformatorului de tensiune. Variația erorilor transformatorului de tensiune, în funcție de sarcina conectată pe secundarul acestuia (prin modificarea numărului de aparat de măsurat conectate), rezultă din fig. 5.28, respectiv 5.29 [5]. Eroarea de tensiune Δ_u , a transformatorului de tensiune, se definește prin relația

$$\Delta_u = \frac{k_u U_2 - U_1}{U_1} 100 [\%], \quad (5.6)$$

iar eroarea de unghi δ_u se definește ca fiind unghiul de defazaj dintre fazorul tensiunii primare și fazorul tensiunii secundare, rotit cu 180° . La un transformator fără eroare de unghi, defazajul este 0° și nu 180° . Eroarea de

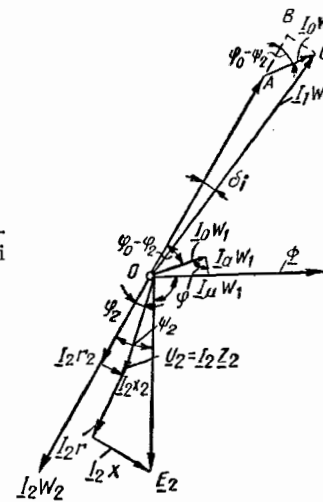


Fig. 5.30. Diagrama fazorială a transformatorului de curent.

Tensiune în procente în condițiile nominale de funcționare reprezintă clasa de precizie a transformatorului.

Diagrama fazorială a transformatorului de curenț este reprezentată în fig. 5.30 și se construiește similar cu cea

a transformatorului de tensiune. Curentul I_1 este determinat de consumatorii legați la rețeaua în care se însează înfășurarea primară a transformatorului de curent. Din acest motiv el nu este influențat de curentul din secundarul transformatorului. Curentul secundar I_2 este însă determinat de sarcina conectată la bornele secundare ale transformatorului (de numărul și caracterul aparatelor de măsurat, respectiv de relee). Poziția relativă a curentului I_2 și valoarea sa față de curentul I_1 sunt influențate de o serie de factori, dintre care cei mai importanți sunt caracterul și valoarea sarcinii, precum și calitatea miezului. Rezultă deci că acești factori vor influența valoarea erorilor de raport și de unghi ale transformatorului de

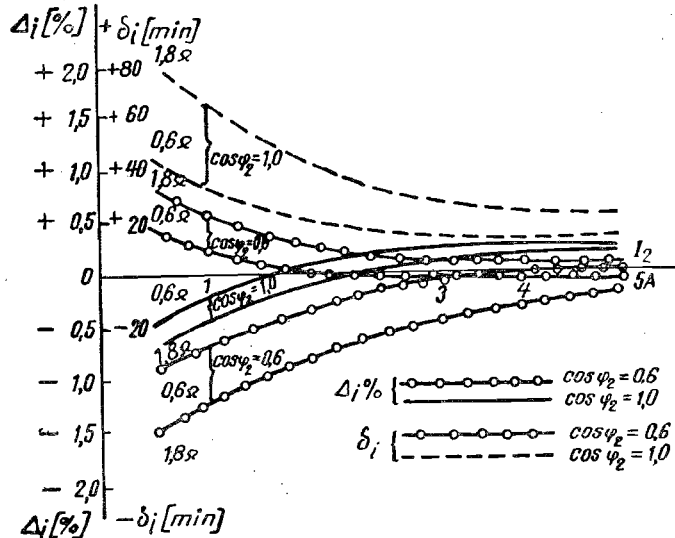


Fig. 5.31. Curbele erorilor transformatoarelor de curent, în funcție de valoarea și caracterul sarcinii.

curent. În fig. 5.31 sunt reprezentate curbele erorilor transformatoarelor de curent, în funcție de valoarea și caracterul sarcinii secundare. Ca și în cazul transformatoarelor de tensiune și la transformatoarele de curent,

fluxul Φ este determinat de acțiunea comună a amper-spirelor primare I_1W_1 și a celor secundare I_2W_2 , ultimele având o acțiune demagnetizantă asupra miezului. Este important de subliniat faptul că la deschiderea circuitului secundar al transformatorului de curent cînd acesta este parcurs de curentul primar, acțiunea demagnetizantă a amper-spirelor secundare I_2W_2 se anulează. În felul acesta, întreaga cantitate de amper-spire primare I_1W_1 are o acțiune magnetizantă; de asemenea crește mult valoarea I_1W_1 , care devine egală cu I_1W_1 și determină o creștere a fluxului Φ . Din cauza fluxului mare se încălzește miezul și crește t.e.m. E_2 , fapt ce conduce la deteriorarea transformatorului de curent și la pericolul de electrocutare pentru personalul de deservire ce vine în contact cu circuitele secundare. Erorile de raport și de unghi ale transformatoarelor de curent, în funcție de clasa lor de precizie, rezultă din tabelul 5.11. Eroarea de curent Δ_i , a transformatorului de curent, este definită prin relația

$$\Delta_i = \frac{k_n I_2 - I_1}{I_1} \cdot 100 [\%]. \quad (5.7)$$

Eroarea de unghi δ_i se definește similar ca eroarea de unghi a transformatorului de tensiune, cu deosebirea că ea se referă la fazorii curenților. Eroarea de curent (în procente) în condițiile nominale de funcționare ale transformatorului de curent reprezintă clasa de precizie a acestuia. Se menționează că, în cazul utilizării transformatoarelor de curent pentru alimentarea schemelor de protecții, este necesar să se țină cont de coeficientul de saturatie n , numit și *cifră de supracurent*. Acest coeficient este definit prin raportul dintre curentul nominal primar de saturatie I_{1sn} și curentul nominal primar I_{1n} , adică

$$n = \frac{I_{1sn}}{I_{1n}}, \quad (5.8)$$

pentru care eroarea de raport nu depășește 10% și eroarea de unghi nu depășește 6°, atunci cînd pe secundarul transformatorului de curent este legată sarcina secundară nominală. Coeficientul de saturatie n este înscris pe plăcuța indicatoare sub formă $n < x$ sau $n > x$, în care x poate

Domeniul de utilizare a transformatoarelor de măsură în funcție de erorile tolerate

Clasa de precizie a transformatoarelor de măsură	Domeniul de utilizare	Transformatoare de curent						Transformatoare de tensiune					
		Curentul primar, în % din curentul nominal	Erori tolerate de curent, în %	Limitele sarcinii secundare Z_s , în %, făță de cea nominală la $\cos\phi=0,8$	Clasa de precizie a aparatelor de măsură cu care se asociază transformatoarele de curent			Tensiunea primară, în % din tensiunea nominală	Erori tolerate de tensiune, în %, făță de unghiul ϕ , în min				
1	2	3	4	5	6	7	8	9	10	11	12		
0,1	Pentru măsurări de precizie în laborator	120—100 20 10	$\pm 0,1$ $\pm 0,15$ $\pm 0,2$	± 6 ± 10 ± 12	0,5 1,0 1,0	0,5 1,0 1,0	—	—	—	—	—		
0,2	Pentru măsurări de precizie în laborator	120—100 20 10	$\pm 0,2$ $\pm 0,35$ $\pm 0,5$	± 10 ± 15 ± 20	1,0 1,5 —	1,0 1,5 —	50—120	$\pm 0,2$	$\pm 0,2$	$\pm 0,2$	$\pm 0,2$		
0,5	Pentru măsurări exacte în exploatare (pentru contoarele de consum)	120—100 20 10	$\pm 0,5$ $\pm 0,75$ $\pm 1,0$	± 30 ± 40 ± 60	25—100	1,5	1,5	2,5	80—120	$\pm 0,5$	$\pm 0,5$	$\pm 0,5$	

1	Pentru măsurări normale în exploatare (pentru releele de distanță, relee de putere și aparate de tablou)	120—100 20 10	± 1 $\pm 1,5$ ± 2	± 60 ± 80 ± 120	2,5	2,5	—	90—100	± 1				
3	Pentru relee de curent sau tensiune, diferențiale, ampermetre, voltmetre, semnalizări	100—50	± 3	—	50—100	—	—	—	90—110	± 3	—	—	—
10	Pentru măsurări fără condiții de precizie	100	± 10	—	—	—	—	—	—	—	—	—	—
D	Pentru protecții diferențiale (cu valoarea lui n mare și caracteristicile de magnetizare apropiate)	—	—	—	—	—	—	—	—	—	—	—	—

avea valorile 5; 10; 15 și 20 (cu cît valoarea lui x este mai mare cu atât condiția impusă din punctul de vedere al erorii este mai severă). În baza coeficientului de saturatie se poate aprecia capacitatea unui transformator de curent de a fi folosit pentru alimentarea unei anumite protecții. Acest lucru rezultă și din tabelul 5.12, în care sunt indicate:

Tabelul 5.12

Valorile coeficientului de saturatie impus transformatoarelor de curent [3; 29 și 30]

Protecția	Valoarea lui n pentru care eroarea de raport nu depășește 10%, iar eroarea de unghi δ°
Protecție maximală temporizată, cu caracteristică independentă	$n > 5$
Idem, cu caracteristică dependentă	$n > 10$
Protecție de distanță	$n > 10$
Protecție diferențială cu relee având bobină de frânare	$n \geq 10$
Protecție diferențială cu relee fără bobină de frânare	$n \geq 15$
Protecție diferențială a barelor	$n \geq 15$ sau chiar $n \geq 20$

cate valorile coeficientului de saturatie impus transformatoarelor de curent folosite pentru alimentarea protecțiilor.

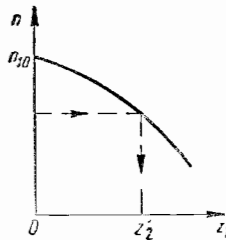


Fig. 5.32. Forma curbei
 $n=f(Z_2)$.

Întreprinderile constructoare de transformator de curent indică în prospecțe și cataloge, pentru fiecare tip de transformator în parte, curbele erorilor de 10%. Aceste curbe au alura din fig. 5.32 și se utilizează pentru

determinarea valorii sarcinii Z_2 , ce se poate lega în secundarul transformatorului în vederea obținerii coeficientului de saturatie dorit.

5.10.2. Măsurarea raportului de transformare și a erorilor de raport și de unghi ale transformatoarelor de tensiune

Acstea măsurări se efectuează la punerea în funcțiune, după reparații capitale ale transformatoarelor de tensiune la termenele stabilite de D.G.M.S.I., precum și în toate cazurile cind în exploatare apar dubii în privința erorilor pe care le au aceste aparate. Personalul ce efectuează măsurările este obligat să ia măsurile NTS corespunzătoare pentru evitarea accidentării prin electrocutare (îngrădiri, folosirea echipamentului de protecție etc.), având în vedere că metodele de măsurare și aparatele de măsurat utilizează tensiune ridicată.

Măsurarea raportului de transformare și a erorilor se poate efectua în laborator sau pe teren, la locul de instalare al transformatorului. În acest din urmă caz trebuie dată o atenție deosebită separării fizice a transformatorului de restul instalației din care face parte. Înainte de a se trece la măsurarea efectivă a raportului de transformare și a erorilor, este necesar să se demagnetizeze miezul de fier al transformatorului de tensiune, folosind una din următoarele metode:

1. Se închide înfășurarea secundară a transformatorului de tensiune, pe o rezistență a cărei valoare se calculează cu relația

$$R_2 = \frac{U_{2n}}{P_{2n}}, \quad (5.9)$$

în care:

U_{2n} este tensiunea nominală secundară, în V;
 P_{2n} — puterea nominală aparentă, în VA (definită ca fiind puterea măsurată la bornele secundarului, cind tensiunea primară are valoarea nominală iar erorile nu depășesc limitele clasei de precizie a transformatorului respectiv).

După aceasta, înfășurarea primară a transformatorului se alimentează cu o tensiune dată de relația

$$U_i = 1,2 U_{1n}, \quad (5.10)$$

conform fig. 5.33, după care tensiunea se coboară treptat pînă la valoarea zero.

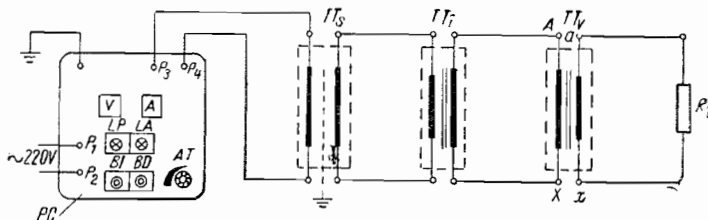


Fig. 5.33. Schema de montaj pentru demagnetizarea miezului transformatorului de tensiune în vederea verificării raportului de transformare și a erorilor (tensiunea se aplică înfășurării primare): PC — pupitru de comandă; TT_s — transformator de separare; TT_i — transformator de incercare de înaltă tensiune; TT_v — transformator de tensiune supus verificării; R_2 — rezistență conectată în secundarul transformatorului ce se verifică.

2. A doua metodă de demagnetizare se utilizează mai ales în cazul cînd nu se dispune de un transformator de incercare care să aibă $U_i = 1,2 U_{1n}$. Metoda constă în alimentarea înfășurării secundare a transformatorului de ten-

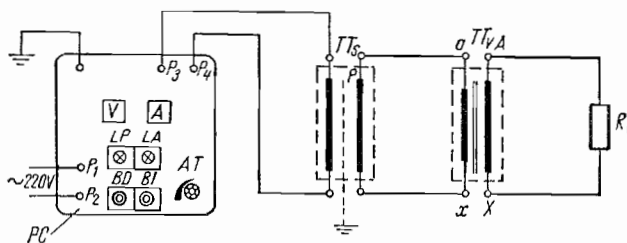


Fig. 5.34. Schema de montaj pentru demagnetizarea miezului transformatorului de tensiune, în vederea verificării raportului de transformare și a erorilor (tensiunea se aplică înfășurării secundare):

PC — pupitru de comandă; TT_s — transformator de separare; TT_v — transformator de tensiune supus verificării.

siune ce se verifică (fig. 5.34) cu o tensiune $U_i = 1, 2 U_{2n}$, primarul fiind închis pe o rezistență a cărei valoare se determină cu relația

$$R_1 = \frac{U_{1n}^2}{P_{2n}}. \quad (5.11)$$

Și la această metodă, tensiunea se reduce treptat de la valoarea lui U_i pînă la zero.

3. A treia metodă, cea de demagnetizare în curent continuu a miezului, constă principal în supunerea acestui miez acțiunii unui cîmp magnetic variabil ca sens, produs de un curent continuu care se micșorează treptat pînă la valoarea zero. Inversarea sensului cîmpului magnetic se obține prin manevrarea de mai multe ori a unui inversor, pe fiecare treaptă de curent. După efectuarea demagnetizării miezului, se trece la măsurarea propriu-zisă a raportului și a erorilor, prin una din metodele de mai jos.

5.10.2.1. Metodă directă

Măsurarea raportului de transformare prin metoda directă se poate face în două feluri:

1. Prin măsurarea directă a parametrilor primari și secundari ai transformatorului de tensiune cu un aparat de măsurat de clasa 0,2 sau 0,5. Rezultă că în acest caz se pot verifica numai transformatoarele de joasă tensiune, sub 0,66 kV. Pentru efectuarea măsurării se folosește aparatul din fig. 5.35. Din motive de NTS este indicat ca transformatorul ridicător să se construiască astfel încît între înfășurarea de înaltă și cea de joasă tensiune să se intercaleze un cilindru de tablă de alamă (notat cu P), tăiat pe generatoare și legat la priza de pămînt. După realizarea montajului din fig. 5.35 se regleză impedanța Z_2 la valoarea $Z_2 = 0,25 Z_{2n}$, unde $Z_{2n} = U_{2n}^2 / P_{2n}$. Se ridică apoi treptat tensiunea cu minerul AT din PC, fixind pe voltmetrul V_1 valorile 0,9 U_{1n} ; U_{1n} și 1,1 U_{1n} (U_{1n} fiind tensiunea nominală primară a transformatorului ce se verifică TT_v) și se citesc valorile corespunzătoare acestor puncte la voltme-

trul V_2 , montat în secundarul lui TT_v . De la această valoare se scade tensiunea, pînă la zero, notînd de asemenea indicațiile voltmetrelor V_1 și V_2 , în aceleasi puncte în care s-a citit la ridicarea tensiunii. Se fixează sarcina

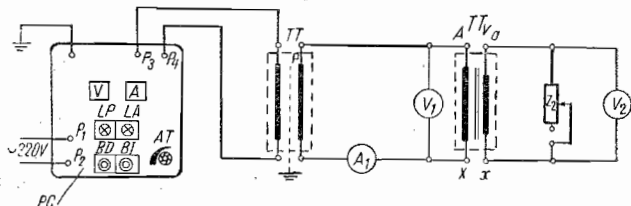


Fig. 5.35. Schema de montaj pentru măsurarea raportului de transformare al transformatorului de tensiune TT_v prin metoda directă:

PC — pupitru de comandă; TT — transformator ridicător de tensiune; V_1 , V_2 — voltmetre de curent alternativ cu mai multe domenii de măsură; A_1 — ampermetru; Z_2 — cutie de impedanță reglabilă.

secundară la valoarea $Z_2 = Z_{2n}$ și se procedează ca mai sus. Apoi se poate deconecta montajul de la sursă. Este comod ca indicațiile aparatelor în timpul măsurării să fie înscrise într-un tabel de forma tabelului 5.13. Din datele obținute

Tabelul 5.13

Rezultatele măsurărilor și ale calculelor

U_t	Z_2	La creșterea tensiunii			La descreșterea tensiunii		
		V_1	V_2	$\Delta_u [\%]$	V_1	V_2	$\Delta_u [\%]$
V	Ω						
$0,9 U_{in} = 5400$	$0,25 Z_{2n} = 50$	54	89,6	-0,445	54	89,6	-0,445
	$Z_{2n} = 200$	54	89,8	-0,22	54	89,8	-0,22
$U_{in} = 6000$	$0,25 Z_{2n} = 50$	60	99,7	-0,3	60	99,6	-0,4
	$Z_{2n} = 200$	60	99,8	-0,2	60	99,9	-0,1
$1,1 U_{in} = 6600$	$0,25 Z_{2n} = 50$	66	109,6	-0,364	—	—	—
	$Z_{2n} = 200$	66	109,7	-0,272	—	—	—

prin măsurări se calculează raportul efectiv de transformare $k_e = \frac{V_1}{V_2}$, care se introduce în tabel, și eroarea de raport

$$\Delta_u = \frac{k_e V_2 - V_1}{V_1} \cdot 100 [\%].$$

Se consideră că transformatorul verificat corespunde din punctul de vedere al raportului de transformare și al erorii de raport, dacă valorile corespunzătoare obținute la măsurări se încadrează în prevederile tabelului 5.11 și dacă diferența dintre erorile măsurate la creșterea respectiv descreșterea tensiunii, pentru aceeași valoare a tensiunii de incercare, nu este mai mare decât datele indicate în tabelul 5.14. Dacă în urma măsurărilor se constată că

Tabelul 5.14

Clasa de precizie și diferența erorilor admisă la transformatoarele verificate [27]

Clasa de precizie a transformatorului verificat	Diferența admisă pentru erori	
	$\Delta_u [\%]$	$\delta_u [\text{min}]$
0,2	0,05	1
0,5; 1; 3	0,1	5

raportul de transformare diferă de raportul k_n inscris pe plăcuța indicatoare, aceasta se datorează următoarelor:

- scurtcircuit între spirele infășurării primare;
- scurtcircuit între spirele infășurării secundare;
- distrugerea izolației între toalele miezului magnetic și scurtcircuitarea toalelor;
- slăbirea strângerii toalelor miezului;
- întreruperea infășurării primare, respectiv secundare, în care caz raportul de transformare nu se poate măsura, iar transformatorul se introduce în reparație.

2. Cel de al doilea mijloc de a măsura raportul de transformare și erorile transformatorului de tensiune în cadrul metodei directe se folosește în cazul cînd transfor-

matorul TT_v ce se măsoară are tensiunea nominală primară U_{1n} mai mare de 0,66 kV. În acest caz, măsurarea se efectuează asupra transformatorului TT_v , conform schemei 5.36. Pentru efectuarea măsurării se procedează ca la punctul 1,

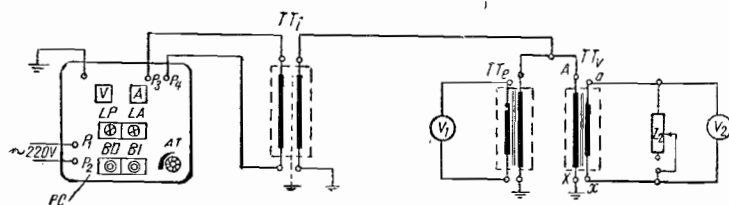


Fig. 5.36. Schema de montaj pentru măsurarea raportului de transformare și a erorilor transformatorului de tensiune având $U_{1n} > 0,66$ kV, prin metoda directă:

PC — pupitru de comandă; TT_i — transformator de incercare; TT_e — transformator de tensiune etalon; V_1, V_2 — voltmetre de curent alternativ; Z_2 — cutie de impedanță reglabilă.

cu deosebirea că trebuie să ținem cont de raportul de transformare și de eroarea transformatorului etalon.

Cind transformatorul etalon TT_e are același raport de transformare ca și transformatorul de verificat TT_v , cu ajutorul butonului AT din PC se regleză tensiunea aplicată înfășurării primare a celor două transformatoare legate în paralel (TT_e și TT_v), fixindu-se succesiv la voltmetrul V_1 valorile $U_i = 0,9 U_{2n}$; U_{2n} și $1,1 U_{2n}$, în care U_{2n} este valoarea tensiunii nominale secundare a transformatorului TT_v ce se verifică. Concomitent cu citirea valorilor la voltmetrul V_1 se citesc și indicațiile voltmetrului V_2 . Dacă cele două voltmetre indică aceeași valoare, înseamnă că raportul transformatorului de verificat TT_v este cel înscris pe plăcuța lui. Dacă însă cele două voltmetre indică valori diferite, înseamnă că transformatorul TT_v are eroare de raport (+ sau -), care se calculează cu relația

$$\Delta_v = \frac{V_2 - V_1}{V_1} \cdot 100 [\%], \quad (5.12)$$

în care V_1 și V_2 sunt valorile tensiunilor citite la voltmetrele corespunzătoare.

În cazul cind raportul de transformare al transformatorului etalon TT_e diferă de cel al transformatorului de verificat TT_v , se procedează conform indicațiilor din exemplul ce urmează.

Exemplu: Să se determine prin măsurări eroarea de raport a unui transformator de tensiune TIBU-6, având raportul 6000/100 V, $P_{2n} = 50$ VA pentru clasa 0,5 dacă avem la dispoziție un transformator etalon de 10 000/100 V, folosind montajul din fig. 5.36.

Se calculează valorile tensiunii de încercare:

$$U_{i1} = 0,9 U_{1nTT_v} = 0,9 \cdot 6\ 000 = 5\ 400 \text{ V};$$

$$U_{i2} = U_{1nTT_v} = 6\ 000 \text{ V};$$

$$U_{i3} = 1,1 U_{1nTT_v} = 1,1 \cdot 6\ 000 = 6\ 600 \text{ V}.$$

Raporturile de transformare sint:

$$k_{TT_e} = \frac{10\ 000}{100} = 100;$$

$$k_{TT_v} = \frac{6\ 000}{100} = 60.$$

Se calculează valorile tensiunilor ce urmează a se fixa la voltmetrul V_1 , corespunzătoare celor trei puncte ale tensiunii de încercare:

$$— \text{ pentru } U_{i1} = 5\ 400 \text{ V}; V_1 = k_{TT_e} \frac{U_{i1}}{U_{1nTT_e}} = 100 \frac{5\ 400}{10\ 000} = 54 \text{ V};$$

$$— \text{ pentru } U_{i2} = 6\ 000 \text{ V}; V_1 = k_{TT_e} \frac{U_{i2}}{U_{1nTT_e}} = 100 \frac{6\ 000}{10\ 000} = 60 \text{ V};$$

$$— \text{ pentru } U_{i3} = 6\ 600 \text{ V}; V_1 = k_{TT_e} \frac{U_{i3}}{U_{1nTT_e}} = 100 \frac{6\ 600}{10\ 000} =$$

$$= 66 \text{ V}.$$

Se calculează apoi valorile sarcinii Z_2 ce se fixează în secundarul transformatorului de verificat și pentru care se

efectuează măsurările:

$$Z_2 = 0,25 Z_{2n} = 0,25 \frac{U_{2n}^2}{P_{2n}} = 0,25 \frac{100^2}{50} = 50 \Omega;$$

$$Z_2 = Z_{2n} = \frac{U_{2n}^2}{P_{2n}} = \frac{100^2}{50} = 200 \Omega.$$

Toate aceste valori se introduc în tabelul 5.13.

Presupunând că la voltmetrul V_2 se citesc tensiunile inscrise în tabelul 5.13, se calculează erorile de raport:

— pentru U_{i1} și $0,25 Z_{2n}$, la creșterea tensiunii

$$\Delta_u = \frac{k_{TT_v} V_2 - k_{TT_e} V_1}{k_{TT_e} V_1} 100 =$$

$$\frac{60 \cdot 89,6 - 100 \cdot 54}{100 \cdot 54} 100 = -0,445\%,$$

iar la descreșterea tensiunii

$$\Delta_u = \frac{60 \cdot 89,6 - 100 \cdot 54}{100 \cdot 54} 100 = -0,445\%;$$

— pentru U_{i1} și $Z_2 = Z_{2n}$, la creșterea tensiunii

$$\Delta_u = \frac{60 \cdot 89,8 - 100 \cdot 54}{100 \cdot 54} 100 = -0,22\%,$$

iar la descreșterea tensiunii

$$\Delta_u = \frac{60 \cdot 89,8 - 100 \cdot 54}{100 \cdot 54} 100 = -0,22\%.$$

În continuare se calculează în același mod toate valoile lui U_i și Z_2 la creșterea și descreșterea tensiunii și se trec în tabelul 5.13.

Din tabelul 5.13 rezultă că transformatorul verificat corespunde din punctul de vedere al raportului de transformare, intrucât eroarea lui de raport se încadrează în limitele clasei de precizie, iar diferențele dintre erorile obținute pentru o anumită valoare a tensiunii de incercare fixate, la creșterea respectiv descreșterea acestieia, pentru aceeași valoare a sarcinii Z_2 , nu depășesc limitele din tabelul 5.14.

În cazul transformatoarelor de tensiune trifazate, cînd nu se dispune de sursă de tensiune trifazată reglabilă și de transformator etalon, verificarea orientativă a raportului de transformare se poate face cu montajul din fig. 5.37.

Alimentarea cu 220/380V de la rețea

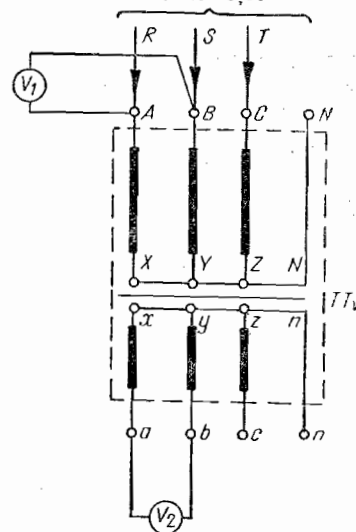


Fig. 5.37. Schema de montaj pentru măsurarea raportului de transformare a transformatorului de tensiune trifazat.

Se aplică primarului tensiunea de 380/220 V a rețelei (care se măsoară cu voltmetrul V_1 prin permute circulare) și se măsoară în secundar tensiunea corespunzătoare cu voltmetrul V_2 , de asemenea prin permute circulare (ab , bc , ca). Raportul de transformare se obține împărțind indicațiile lui V_1 la indicațiile corespunzătoare ale lui V_2 .

5.10.2.2. Metoda comparației

Verificarea erorilor transformatoarelor de tensiune prin metoda comparației constă în compararea caracteristicilor transformatorului ce se verifică cu caracteristicile bine cunoscute ale unui transformator etalon. Utilizarea acestei metode presupune că transformatoarele ce se compară au

aceleasi caracteristici nominale. Pentru efectuarea măsurării erorilor de raport și de unghi ale transformatoarelor de măsură prin metoda comparației, se utilizează frecvența aparatul cunoscut sub denumirea de *trusă AIT*, care funcționează pe principiul schemei *diferențiale de zero*, principiu ce rezultă din cele ce urmează.

Principiul de funcționare al trusei AIT pentru măsurarea erorilor transformatoarelor de tensiune. Pentru măsurarea erorilor de raport și de unghi ale transformatorului de tensiune TT_v , se folosește schema de principiu din fig. 5.38. Secundarele celor două transformatoare sunt legate în opozitie pe divizorul de tensiune DT . Din acest mo-

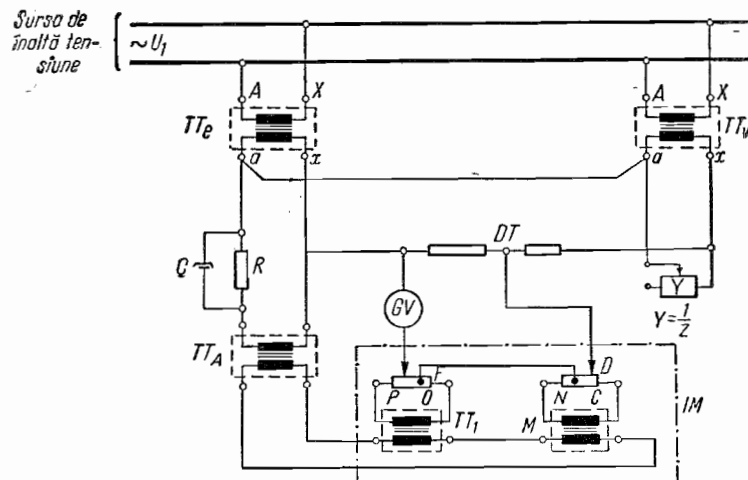


Fig. 5.38. Schema de principiu pentru măsurarea erorii de raport și de unghi a transformatoarelor de tensiune:

tiv, transformatorul etalon va aplica divizorului de tensiune DT o tensiune U_{2o} , iar transformatorul de verificare TT_v va aplica același divizor o tensiune U_{2o} de sens contrar tensiunii U_{2o} . Dacă cele două transformatoare au

$U_{2x} = U_{2x}$, aceste tensiuni se anulează și la bornele divizorului DT nu vom avea tensiune. Dacă însă transformatorul TT_v are eroarea de raport și de unghi diferite de cele ale transformatorului etalon TT_e , la bornele divizo-

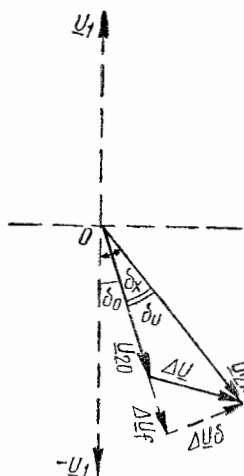


Fig. 5.39. Diagrama factorială a mărimilor din fig. 5.62.

rului DT va apărea o tensiune egală cu diferența geometrică a celor două tensiuni, adică $\Delta U = (U_{20} - U_{2x})$, cum se vede în fig. 5.39. Tensiunea ΔU are două componente, dintre care una ΔU_f în fază cu U_{20} , iar cealaltă ΔU_δ decalată cu 90° față de U_{20} . Componenta ΔU_f reprezintă diferența dintre erorile de raport ale celor două transformatoare (TT_v și TT_e). Eroarea de raport a lui TT_v față de TT_e este

$$\Delta U_f = \Delta U_x - \Delta U_g [\%]$$

Cea de-a doua componentă a lui ΔU , și anume componenta $\Delta U\delta$, reprezintă diferența dintre eroarea de unghi a transformatorului TT_v și eroarea de unghi a transformatorului TT_e , care se exprimă prin relația

$$\Delta U \delta = \delta_x - \delta U_0 [\text{min}]$$

Aceste două componente ale diferenței de tensiune ΔU de pe divizorul DT se compensează cu ajutorul tensiunilor luate de pe potențiometrele F și D . Potențiometrul F , alimentat de transformatorul TT_1 , aplică lui DT o tensiune ΔU_{P0} în fază cu U_{20} , compensind componenta ΔU_f , iar potențiometrul D îi aplică lui DT o tensiune U_{NC} decalată cu 90° (de către regulatorul de fază M) față de U_{20} , compensind componenta ΔU_δ . Atât transformatorul TT_1 cît și regulatorul M sunt alimentate la rîndul lor de transformatorul TT_A (conectat la secundarul lui TT_e). Rezistența R în paralel cu condensatorul C , montate în primarul lui TT_A , are rolul de a asigura la potențiometrul F o tensiune în fază cu tensiunea U_{20} din secundarul lui TT_e . Din cele de mai sus rezultă că la echilibrarea schemei există o proporționalitate între rezistența potențiometrului F și eroarea de raport, respectiv între rezistența lui D și eroarea de unghi. De aceea, scările potențiometrelor pot fi gradate direct în unități de măsură a erorilor (%) și min).

Descrierea trusei AIT [34]. Trusa AIT se compune din următoarele elemente principale (fig. 5.40):

1. Circuitul de măsurare de bază, compus din potențiometrul F (fig. 5.38), ce se regleză din butonul K_3 , și din potențiometrul D (fig. 5.38), ce se regleză din butonul K_4 . Primul potențiometru servește pentru compensarea erorilor de raport și a componentei active a impedanțelor și admitanțelor, iar al doilea, D , pentru compensarea erorilor de unghi și a componentei reactive a impedanțelor și admitanțelor. Regulatorul de fază M (fig. 5.38) asigură un decalaj de 90° între căderea de tensiune de pe potențiometrele D și F .

2. Rezistența diferențială R_A (fig. 5.47), formată din patru decade de rezistențe, cu care se asigură variația limitelor de măsurare a erorilor de raport și de unghi, prin comutarea lui K_2 .

3. Un transformator auxiliar TT_A (fig. 5.38), care servește pentru alimentarea instalației de măsurare în cazul verificării transformatoarelor de tensiune. Prin elementele montate în circuitul său primar (rezistență și condensator), asigură același decalaj între tensiunea secundară a

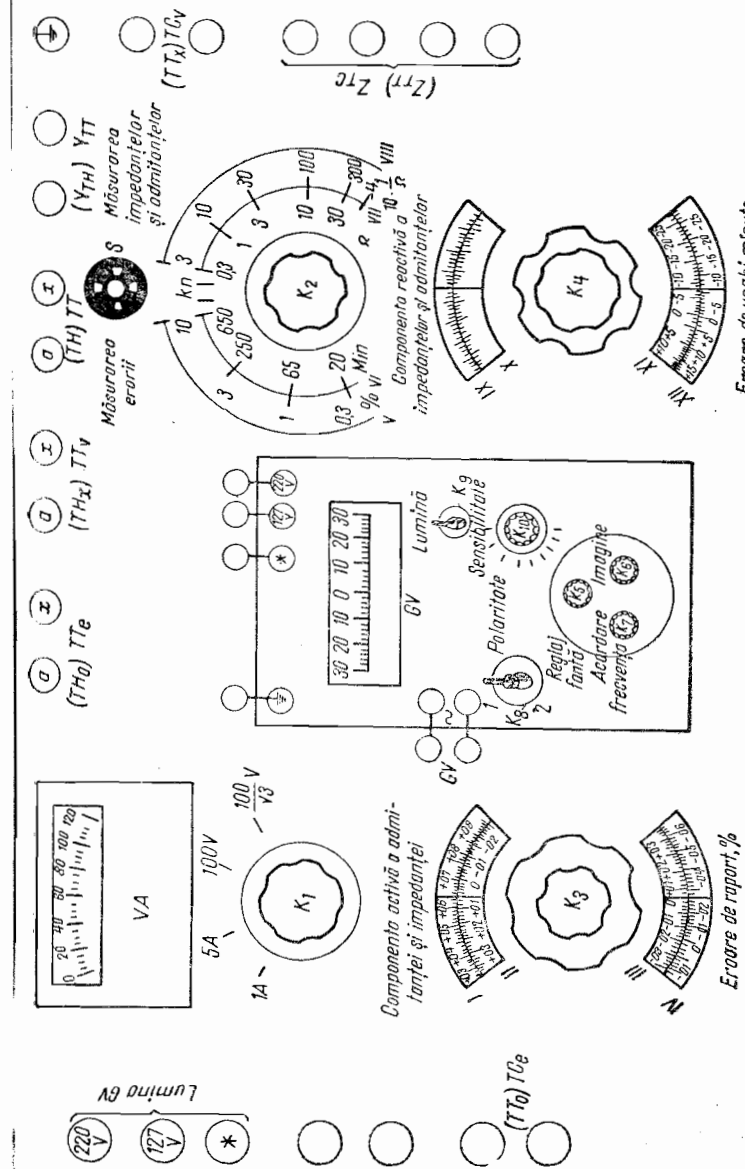


Fig. 5.40. Panoul superior al trusei AIT.
Notajile din afara parantezelor corespund celor utilizate în cuprinsul lucrării; notajile dintr-un paranteză sunt cele originale, existente pe panoul aparatului.

Eroare de unghi, minute

Eroare de raport, %

transformatorului etalon și curentul ΔI din instalația de măsurare.

4. Divizorul de tensiune DT (fig. 5.38), care în cazul verificării transformatoarelor de tensiune se introduce în schemă în locul lui R_A , cu ajutorul comutatorului K_1 . Acest divizor este construit din patru decade de rezistențe, care se introduc sau se scoad din circuit cu ajutorul lui K_2 .

5. Divizorul de tensiune DT , constituit din mai multe decade de rezistențe, servește pentru măsurarea sarcinii secundare a transformatoarelor de curent. Introducerea de caderelor se face tot cu ajutorul lui K_2 .

6. Rezistența R_N , constituță din mai multe decade, se folosește pentru măsurarea admitanței din secundarul transformatoarelor de tensiune (se regleză tot din K_2).

7. Galvanometrul cu vibrații GV , folosit ca aparat de zero.

8. Voltampermetrul VA , gradat în procente din valoarele nominale ale tensiunii și curentului din secundarul transformatorului etalon de tensiune, respectiv curent. Fișarea domeniului de măsurat al lui VA se face prin comutatorul K_1 .

9. Releul electromagnetic S , care servește pentru controlul corectitudinii legării bornelor polarizate sau nepolarizate ale transformatoarelor etalon și de verificat, în schema de montaj. De asemenea indică corectitudinea mărcării bornelor transformatorului de verificat.

10. Un eclator de tip RA-350, pentru protecție la verificarea transformatoarelor de măsură.

11. Cutii de impedanță, etalonate unele în ohmi iar altele în volt-amperi, care se livrează de întreprinderea constructoare, separat.

Condițiile generale ce trebuie respectate la efectuarea măsurărilor cu trusa AIT sunt:

— transformatorul etalon să aibă caracteristici identice cu cel de verificat;

— toate legăturile din montajele de verificat trebuie executate cu cablu bifilar răsusit, iar distanța dintre trusa AIT și restul elementelor din montaj va fi de circa 5 m, în scopul eliminării influențelor exterioare;

— trusa AIT se leagă la pămînt printr-un conductor de cupru de cel puțin $1,5 \text{ mm}^2$, la priză de pămînt separată;

— trusa AIT se aşază pe un burete sau cauciuc sponios avind grosimea de $20\text{--}40 \text{ mm}$, pentru ca galvanometrul să nu fie influențat de vibrații.

Efectuarea măsurării erorilor de raport și de unghi ale transformatoarelor de tensiune cu trusa AIT. Se execută montajul din fig. 5.41 și se fac următoarele operații:

1. După verificarea corectitudinii montajului se pune butonul AT din PC pe poziția de tensiune minimă, iar comutatorul K_1 (fig. 5.40) se fixează pe poziția corespunzătoare lui U_{2n} a lui TT_v (10 sau $100/\sqrt{3} \text{ V}$).

2. Se fixează comutatorul sensibilității galvanometrului (K_{10} din fig. 5.40) pe poziția zero și se aprinde iluminatorul scalei lui GV cu K_9 .

3. Comutatorul K_2 se fixează pe poziția corespunzătoare erorilor aferente clasei de precizie a transformatorului de verificat TT_v (scalele V și VI , fig. 5.40).

4. Cu ajutorul butonului AT din PC se ridică tensiunea pînă la valoarea U_{1n} a transformatoarelor TT_e și TT_v , valoare la care VA din trusa AIT trebuie să indice cifra 100. Dacă releul S semnalizează, înseamnă că legăturile din montaj sunt incorecte sau raporturile de transformare nu sunt egale. În cazul cînd nu semnalizează (montaj corect), se scade tensiunea la zero și apoi se fixează comutatorul K_2 pe poziția K , iar comutatorul K_8 pe poziția 1. Se ridică din nou tensiunea la U_{1n} și se comută K_{10} pe una din pozițiile sale.

5. Se face acordarea galvanometrului în rezonanță, prin manevrarea butoanelor K_5 , K_6 și K_7 .

6. Reglind alternativ din K_3 , K_4 și K_{10} , se urmărește ca la poziția maximă a lui K_{10} să se obțină cea mai îngustă fântă a galvanometrului. Trusa AIT este echilibrată dacă spotul luminos minim și sensibilitatea K_{10} maximă se obțin în jurul diviziunilor zero (cel mult o diviziune) de pe scalele IV și XII .

7. Comutatorul K_{10} se fixează pe poziția zero și apoi K_8 se comută pe poziția 2, după care se procedează ca la punctul 6. Se consideră în acest caz că trusa AIT este bine echili-

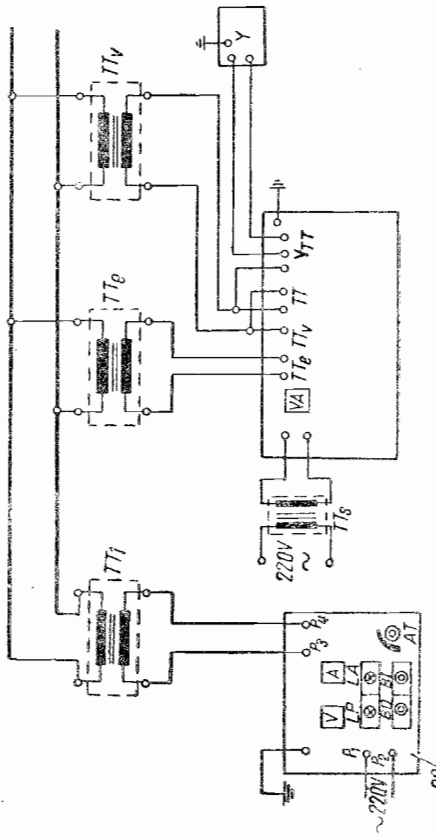


Fig. 5.41. Montajul pentru măsurarea erorilor transformatoarelor de tensiune cu trusa AIT;

PC — păptidă de comandă; TT₁ — transformator de incercare; TT₂ — transformator etalon de tensiune; TT₃ — transformator de tensiune supus verificării; Y — cutie de impiedanță, etalonată în VA; T — trusa AIT; TT₄ — transformator de separare,

librată, dacă spotul minim se obține în jurul poziției zero (maximum cu o diviziune în plus față de cea de la punctul 6, de pe scalele IV și XII).

8. Se coboară tensiunea la zero, se aduce K₁₀ la zero, se comută K₂ de pe poziția K pe poziția ce indică eroarea clasei de precizie a transformatorului de verificat.

9. Se ridică tensiunea la U_{1n}, se echilibrează trusa din K₁₀, K₃ și K₄ și apoi se scoate instalația de sub tensiune.

10. Se citesc indicațiile scalelor III sau IV și XI sau XII, care, înmulțite cu K' (ale cărui valori sunt date în tabelul 5.15), ne dă eroarea de raport (corespunzător scalei III sau IV) și eroarea de unghi (corespunzător scalei XI sau XII).

Tabelul 5.15

Valorile lui K' în funcție de poziția lui K₂ [34]

Poziția lui K ₂	Pe scala V	0,3 %	1 %	3 %	10 %
	Pe scala VI	20'	65'	200'	650'
Valorile lui K'		0,1	1	1	10

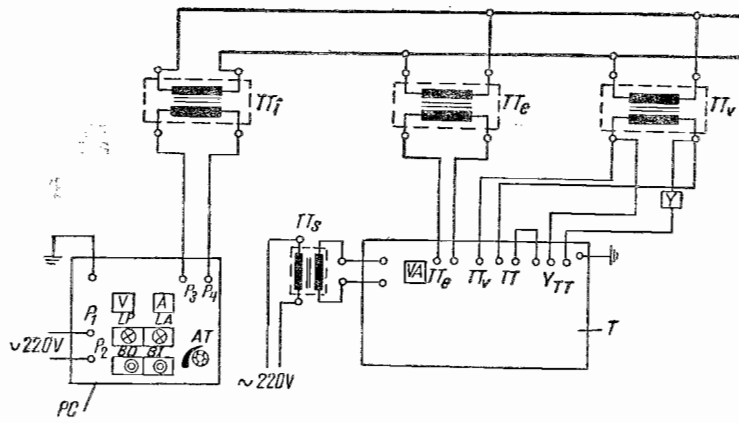


Fig. 5.42. Schema de montaj pentru verificarea transformatoarelor montate în instalații.

In cazul cind eroarea de raport și cea de unghi se măsoără la transformatoarele de tensiune montate în instalații, având ca sarcină secundară circuitul secundar exterior pe care-l alimentează, se procedează ca mai sus, însă schema de montaj este cea din fig. 5.42, în care Y reprezintă chiar sarcina secundară reală (aparatele de măsurat și releele).

5.10.3. Măsurarea raportului de transformare al transformatoarelor de curent

În scopul lărgirii domeniului de măsurare se construiesc în mod obișnuit transformatoare de curent cu înfășurarea primară comutabilă (adică cu două sau patru secțiuni de bobinaj), raportul de comutare fiind $1:2$ sau $1:2:4$. Aceste raporturi de comutare se obțin prin legarea secțiunilor în serie sau paralel. Transformatoarele de curent au o înfășurare primară comună (care poate fi formată din maximum patru secțiuni) pentru una pînă la trei înfășurări secundare distincte, dispuse separat pe cîte un circuit magnetic și avînd caracteristici diferite (clasă de precizie diferită). Raportul de transformare efectiv (real) al transformatorului de curent se definește similar cu cel al transformatorului de tensiune. Verificarea prin măsurări a raportului de transformare nominal k_n al transformatorului de curent se face în același scop ca și în cazul transformatoarelor de tensiune, iar cauzele ce pot genera diferențe esențiale față de raportul indicat de fabrică sunt aceleași. Pentru efectuarea măsurărilor de verificare a raportului de transformare al transformatorului de curent este necesară o sursă de curent care să poată debita un curent avînd valoarea egală cu curentul nominal primar al transformatorului ce se măsoară. Aparatajele ce pot fi utilizate drept sursă de curent primar sunt *trusa tip TC-600-1* (fig. 5.43) sau *trusa TC-1200-1* (fig. 5.44), ambele portabile și construite de IRME București. Ele sunt asemănătoare din punct de vedere constructiv, avînd următoarele elemente

— un transformator monofazat, a cărui înfășurare secundară este formată din mai multe secțiuni, ce pot fi legate în serie sau paralel cu ajutorul unor eclise dispuse

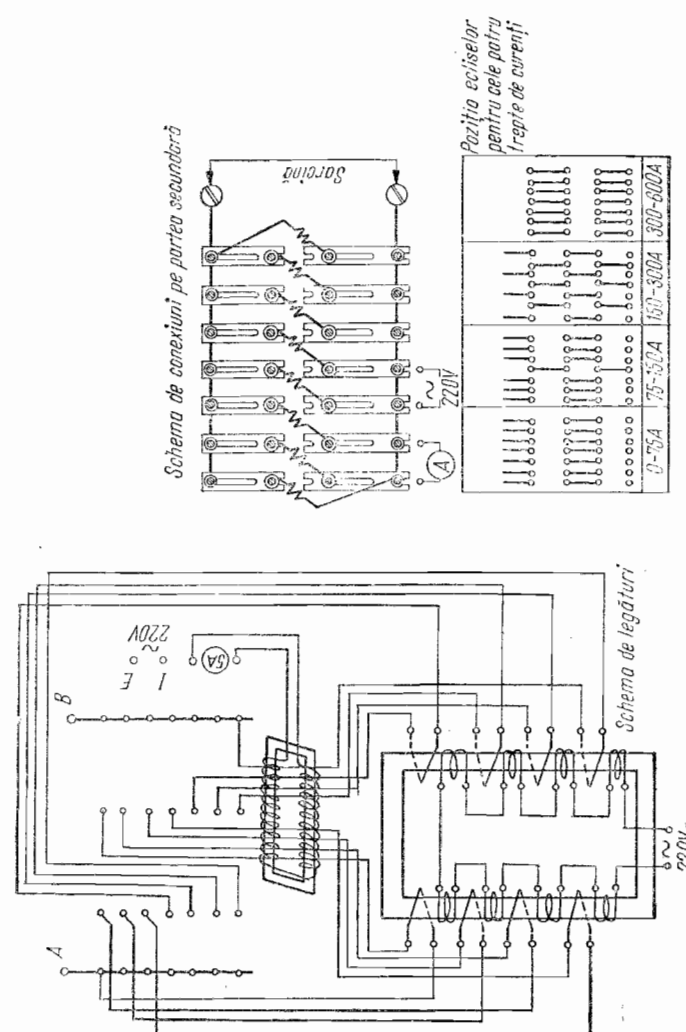
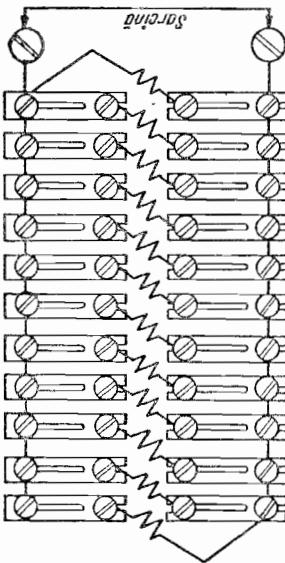
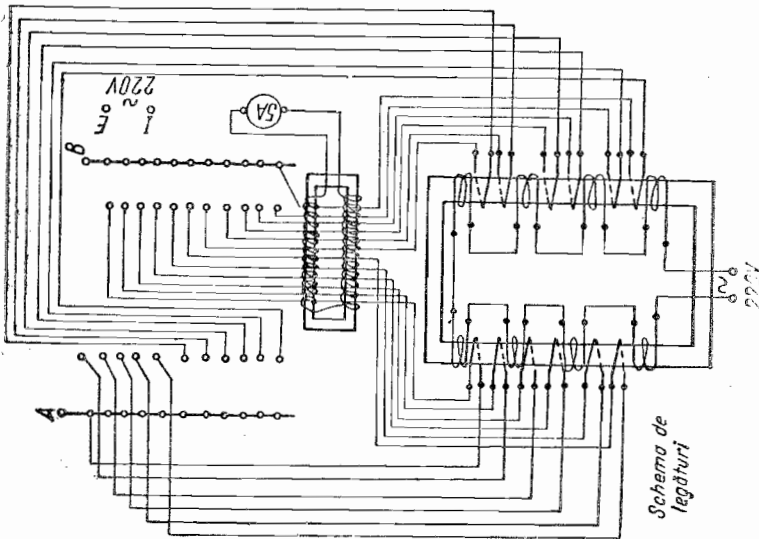


Fig. 5.43. Trusa TC-600-1.

Schemă de conexiuni pe parte secundară



220V

pozitia eccliselor pentru cele şase trepte de curenti

o o o o o o	600-1200A
o o o o o o	400-800A
o o o o o o	300-600A
o o o o o o	200-400A
o o o o o o	100-200A
o o o o o o	0-100A

5A

pe o placă montată la partea superioară a cutiei (aceasta are o înfășurare primară, la care se aplică tensiunea reglabilă 0—220 V);

— un transformator de curent tip bară, pentru măsurarea curentului debitat de transformatorul monofazat de putere.

Pe placă superioară sănătate montate bornele de alimentare ale trusei cu tensiune reglabilă, bornele prin care se debitează curent pe transformatorul de măsură și bornele la care se leagă ampermetrul pentru măsurarea curentului debitat (tabelul 5.16).

Caracteristicile tehnice ale truselor TC (IRME)

Tabelul 5.16

Caracteristica	Trusa TC-1 200-1	Trusa TC-600-1
Tensiunea nominală, în V	220	220
Puterea absorbită de la rețea, în VA	2000	1500
Puterea nominală debitată de trusă pe toate treptele de curent, în VA	1000	1000
Durata admisibilă de funcționare la puterea nominală, în min	3	3
Clasa de precizie, în %	2,5	2,5
Treptele de curent ce se pot obține, în A	$I = 0-1200$ $II = 0-600$ $III = 0-400$ $IV = 0-300$ $V = 0-200$ $VI = 0-100$	$I = 0-600$ $II = 0-300$ $III = 0-150$ $IV = 0-75$
Durata de repaus a trusei între două funcționări, în min	10	10

Pregătirea trusei în vederea efectuării încercării constă în următoarele operații:

— se alege treapta de curent a trusei, în funcție de valoarea curentului primar nominal al transformatorului de curent ce se verifică (dacă se verifică un transformator având raportul 600/5/5 A, cu trusa TC-600-1, pe aceasta se fixează treapta $I(0\text{-}600 \text{ A})$, respectiv dacă se utilizează trusa TC-1200-1, pe aceasta se va fixa treapta $II(0\text{-}600 \text{ A})$; fixarea treptei se face prin dispunerea ecliselor conform schemei din fig. 5.43, respectiv 5.44;

— la bornele notate cu 5 A se leagă un ampermetru de curent alternativ clasa 2,5, cu domeniul de măsură 0-5 A;

— se leagă bornele notate cu *sarcină* prin două conduceoare multifilare de cupru izolate, având minimum 240 mm² și o lungime cît mai scurtă, la bornele K și L ale transformatorului de curent;

— la bornele de alimentare notate pe trusa cu 220 V se leagă prin două conduceoare bornele P_3 și P_4 ale pupitrelui de comandă prin care se aplică trusei tensiunea reglabilă 0-220 V.

Determinarea prin măsurări a raportului de transformare al transformatorului de curent se poate face cu aparatul de mai sus, prin trei metode: metoda directă, metoda indirectă (ce se aplică în întreprinderi sub denumirea de verificare internă) și metoda comparației.

5.10.3.1. Metoda directă

Aceasta este folosită în cazurile în care valoarea curentului primar nominal al transformatorului de curent ce se verifică este cuprinsă în limitele domeniului de măsură al ampermetrului A_2 (fig. 5.45), cu care se măsoară direct curentul primar. În scopul efectuării măsurărilor se execută montajul din fig. 5.45, în care ampermetrele trebuie să aibă clasa de precizie corespunzătoare clasei de precizie a lui TC_v . Efectuarea măsurării constă în reglarea tensiunii cu ajutorul minerului AT din PC, astfel încât la ampermetrul A_2 să se citească succesiv următoarele valori ale curentului: 0,1 I_{1n} ; 0,2 I_{1n} ; I_{1n} și 1,2 I_{1n} . În momentul cind la ampermetrul A_2 se citesc aceste valori, se vor citi și valorile

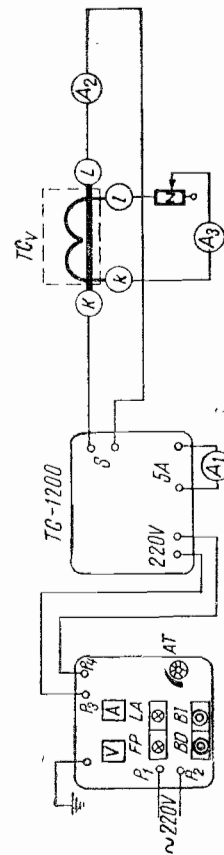


Fig. 5.45. Schema de montaj pentru măsurarea raportului de transformare al transformatorului de curent prin metoda directă:
PC — pupitru de comandă; TC — trusa de 1200 A; TC_v — transformator de verificat;
 A_1 , A_3 , A_2 — ampermetre; Z — impedanță.

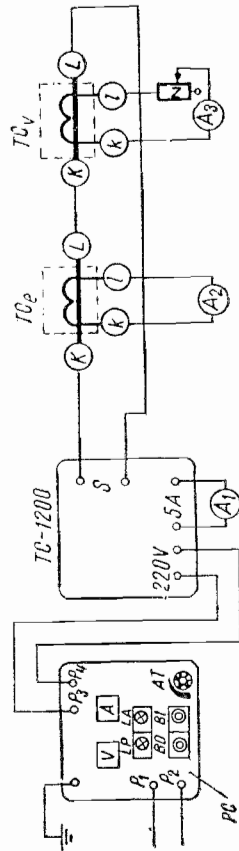


Fig. 5.46. Schema de montaj pentru măsurarea raportului de transformare a transformatorelor de curent, prin metoda indirectă:
PC — pupitru de comandă; TC — trusa de 1200 A; TC_e — transformator de curent etalon; TC_v — transformatorul supus verificării.

corespunzătoare indicate de ampermetrul A_3 , montat în secundarul transformatorului de verificat. Prin împărțirea indicațiilor lui A_2 la cele ale lui A_3 , se obține valoarea raportului de transformare, după care se poate calcula eroarea de raport. Măsurarea se efectuează pentru fiecare infășurare secundară a lui TC_v în parte. Este comod ca valourile citite la aparatele de măsurat în timpul măsurărilor să se treacă într-un tabel. Se consideră că transformatorul de verificat corespunde din punctul de vedere al raportului de transformare, dacă erorile de raport calculate sunt mai mici decât cele indicate în tabelul 5.17.

Tabelul 5.17

Valorile maxime admise ale erorii de raport Δ_p , în % [30]

Clasele de precizie ale lui TC_v	Valorile curentului I_1 , în % din I_{1n}			
	0,1 I_{1n}	0,2 I_{1n}	I_{1n}	1,2 I_{1n}
0,5	± 1	$\pm 0,75$	$\pm 0,5$	$\pm 0,5$
1	± 2	$\pm 1,5$	± 1	± 1
3 sau D	—	—	± 3	—

5.10.3.2. Metoda indirectă

Aceasta este folosită în cazul cînd nu se dispune de ampermetre pentru măsurarea directă a curentului din primar. În cadrul acestei metode, ampermetrul A_2 se conectează nu în primar ci în secundarul unui transformator de curent etalon TC_e (fig. 5.46). Măsurarea se efectuează ca și în cazul metodei directe, fixindu-se aceleași valori pentru curentul primar I_1 care se citesc pe ampermetrul A_2 , ținind cont de raportul de transformare al lui TC_e . La această metodă se deosebesc două cazuri, și anume:

1. Cazul cînd transformatorul TC_v are același raport cu TC_e , astfel că ampermetrele (A_2 și A_3) trebuie să indice aceleași valori, fiind identice. Diferența dintre indicațiile celor două ampermetre reprezintă eroarea de raport a transformatorului TC_v , eroare ce se calculează cu formula $\Delta_i = \frac{A_3 - A_2}{A_2} 100 [\%]$, în care A_2 și A_3 sunt indicațiile ampermetrelor respective.

2. Cazul cînd transformatorul TC_v are raport de transformare diferit de cel al transformatorului TC_e . În acest caz, eroarea de raport a lui TC_v se calculează cu relația $\Delta_i = \frac{k_e A_3 - k_v A_2}{k_e A_2} 100 [\%]$, în care k_e și k_v reprezintă raporturile de transformare nominale ale lui TC_e respectiv TC_v , iar A_2 și A_3 reprezintă indicațiile ampermetrelor respective. Se consideră că transformatorul verificat corespunde din punctul de vedere al raportului de transformare dacă indicațiile sănt cele din tabelul 5.17.

5.10.3.3. Metoda comparației

Principiul de funcționare al trusei AIT. Acesta rezultă din analiza schemelor prezentate în fig. 5.47, schemă ce se utilizează la verificarea transformatorului de curent. Din schemă se observă că transformatorul de verificat TC_v și

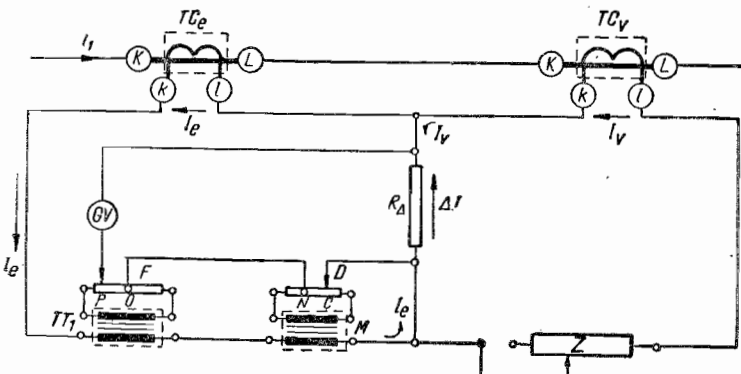


Fig. 5.47. Schema trusei AIT, folosită la verificarea transformatorilor de curent:

TC_v — transformator de verificat; TC_e — transformator etalon; TT_1 — transformator intermediar; M — regulator de fază; F și D — potențiometri cu fir; R_d — rezistență diferențială; Z — impedanță din circuitul secundar al transformatorului de verificat.

cel etalon TC_e , avînd același raport de transformare, au infășurările primare legate în serie și parcurse de același curent I_1 . Secundarul lui TC_e alimentează instalația de măsurare a trusei cu curentul I_e , iar secundarul lui TC_v o

alimentează cu curentul I_v . Prin rezistență R_e , cei doi curenți au sensuri contrare, ceea ce înseamnă că prin această rezistență va trece un curent egal cu diferența lor, adică $\Delta I = I_e - I_v$. Dacă cei doi curenți secundari sunt egali, prin rezistență R_Δ curentul va fi zero, ceea ce înseamnă că transformatorul TC_v are același raport și aceleași eroare de raport și de unghi ca și transformatorul etalon TC_e . În cazul cînd TC_v are erorile de raport și unghi diferite de TC_e , prin rezistență R_Δ va circula curentul ΔI , determinat de diferența geometrică a curenților I_e și I_v , așa cum se vede și în diagrama fazorială din fig. 5.48. Curentul ΔI din rezistență R_Δ are două componente, și anume

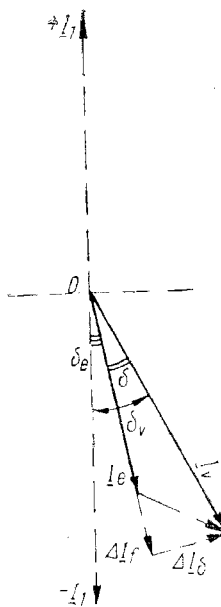


Fig. 5.48. Diagrama fazorială a curenților din schema de măsurare a trusei AIT.

una în fază cu curentul I_e , notată cu ΔI_f , iar a doua de calată față de I_e cu 90° , notată cu ΔI_d . Se observă de asemenea că dacă unghiul δ_v este egal cu unghiul δ_e , curentul I_v ar fi în fază cu curentul I_e , dar mai mare ca va

loare decât acesta, tocmai cu cantitatea ΔI_f . Raportul $\Delta_i = \frac{\Delta I_f}{I_e} [\%]$ este deci chiar valoarea cu care eroarea de raport a lui TC_v este mai mare decât eroarea etalonului TC_e , în cazul cînd $I_v > I_e$ și mai mică cînd $I_v < I_e$. Eroarea de raport a transformatorului de verificat față de aceeași transformatorul etalon va fi:

$$\Delta_i = \Delta_{iv} - \Delta_{ie} = \frac{I_f}{I_e} 100 [\%].$$

Examinînd cea de-a doua componentă a lui ΔI , și anume ΔI_d , se observă că aceasta este proporțională cu tangenta unghiului δ dintre curenții I_v și I_e ($\delta = \delta_v - \delta_e$). Cînd δ și componenta ΔI_f au valori mici, atunci raportul $\frac{\Delta I_d}{I_e}$ reprezintă chiar valoarea unghiului δ , care este de fapt diferența dintre erorile de unghi ale celor două transformatoare. Ea se poate exprima prin relația

$$\delta = \delta_v - \delta_e = \frac{360 \cdot 60 \Delta I_d}{2\pi I_e} = 3438 \frac{\Delta I_d}{I_e} [\text{min}].$$

Eroarea δ se consideră pozitivă cînd I_v este decalat înaintea lui I_e și negativă în cazul cînd I_v este decalat în urma lui I_e .

Curentul ΔI , parcurgînd rezistența R_Δ , provoacă o cădere de tensiune pe această rezistență. Aceasta are două componente corespunzătoare celor două componente ale curentului ΔI . Cele două căderi de tensiuni se compensează în trusa AIT cu ajutorul căderilor de tensiune culese de pe portiunea PO a potențiometrului F (U_{PO} în fază cu I_e) și de pe NC a potențiometrului D (U_{NC} decalată cu 90° față de I_e). Cu ajutorul potențiometrului F se regleză căderea de tensiune U_{PO} , cu care se compensează căderea de tensiune produsă de ΔI_f pe rezistență R_Δ , iar cu potențiometrul D se regleză căderea de tensiune U_{NC} , cu care se compensează căderea de tensiune produsă de componenta ΔI_d pe rezistență R_Δ . Rezultă că, la echilibrarea trusei, între valoarea rezistenței lui F și eroarea de raport a transformatorului de curent, precum și între rezistența lui D și

eroarea de unghi a transformatorului de curent, există o proporționalitate care dă posibilitatea gradării scalelor lui F și D , direct în unități de măsură a erorilor respective (% și min).

Efectuarea măsurării erorilor transformatoarelor de curent cu trusa AIT. Pentru efectuarea măsurării în laborator se folosește schema de montaj din fig. 5.49, iar pentru măsurări la transformatoarele de curent montate în instalații, schema din fig. 5.50, în care Z reprezintă sarcina din circuitul secundar exterior. Măsurarea erorilor transformatorului de curent cu trusa AIT comportă operații ca și la transformatoarele de tensiune, cu deosebirea că K_1 al trusei AIT se fixează pe poziția de 5 A (respectiv 1 A cind transformatorul TC_v are $I_{2n}=1$ A), iar cutia de impedanță etalon (Z din fig. 5.49) se fixează la valoarea $Z_{2n} = \frac{P_{2n}}{I_{2n}^2}$.

a transformatorului TT_v . Pentru exemplificare, în tabelul 5.18 sunt indicate valorile obținute la măsurarea erorilor unui transformator CIRS-10 de $250/5/5$ A, clasa $0,5/3$, $P_{2n}=10/30$ VA, avind $n < 5/5$, conectat pentru raportul de transformare de $100/5/5$ A.

Tabelul 5.18

Rezultatele măsurării erorilor transformatorului CIRS-10 pentru clasa 0,5

Curentul primar de încercare I_1 , în A	Sarcina secundară Z_2 , în Ω	Eroarea de raport Δ_i , în %	Eroarea de unghi δ_i , în min
0,1 I_{1n} =10		-0,34	+ 12
0,2 I_{1n} =20		-0,21	+ 9
0,5 I_{1n} =50	$Z_2 = \frac{P_{2n}}{I_{2n}^2} = \frac{10}{25} = 0,4$	- 0,01	+ 2,5
I_{1n} =100		+ 0,1	-2,0
1,2 I_{1n} =120		+0,09	-1,5

Cu valorile din tabelul 5.18 se pot trasa curbele eroriilor (Δ_i și δ_i), în funcție de curentul I_1 din primarul transformatorului.

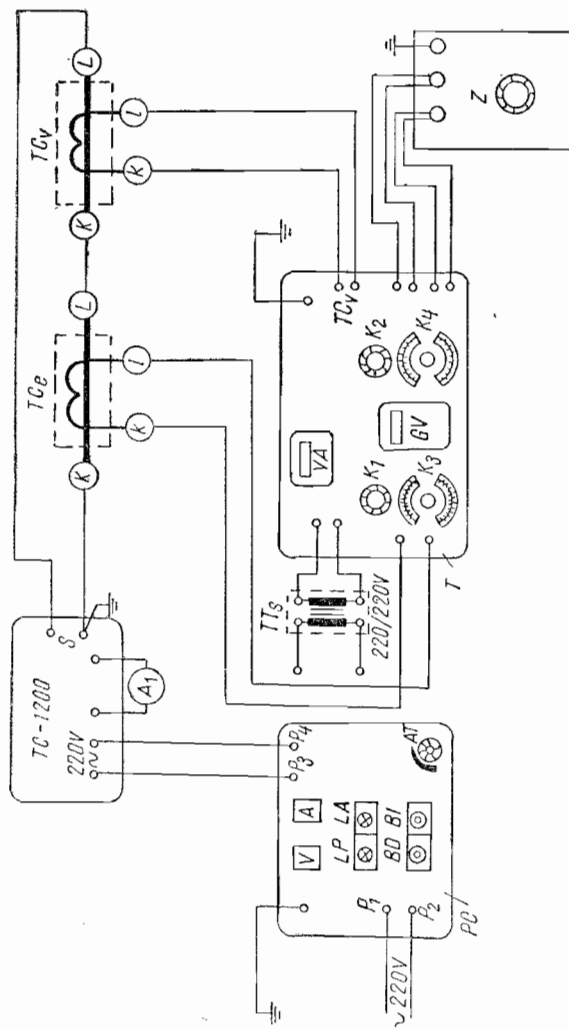


Fig. 549. Schema de montaj pentru măsurarea erorilor transformatoarelor de curent cu trusa ATI, în laborator:

5.11. Ridicarea curbei volt-amper a transformatoarelor de curent

Această măsurare se face la punerea în funcțiune a transformatoarelor de curent, după reparația miezului magnetic și a înfășurărilor, precum și în exploatare — în cazul cînd este necesară elucidarea unor funcționări incorecte ale protecțiilor — în cadrul analizelor de avarii. Pentru funcționarea corectă a unor protecții și automatizări, cum este cazul protecției diferențiale, a filtrelor de secvență homopolară etc., este necesar să se folosească transformatoare care să posede caracteristici volt-amper foarte apropiate (aproape identice). Prin caracteristică volt-amper sau caracteristică de mers în gol se înțelege curba care reprezintă dependența dintre tensiunea la bornele înfășurării secundare și curentul ce parcurge această înfășurare, atunci cînd înfășurarea primă nu este conectată, adică curba $U_{2n} = f(I_{2n})$. Ridicarea acestei curbe se face cu ajutorul montajului din fig. 5.51 și comportă mai multe operații.

- Se dezleagă înfășurarea secundară și cea primă față de restul instalațiilor.
- Se măsoară rezistența de izolație a transformatorului de curent și, în cazul cînd se obțin valori corespunzătoare.

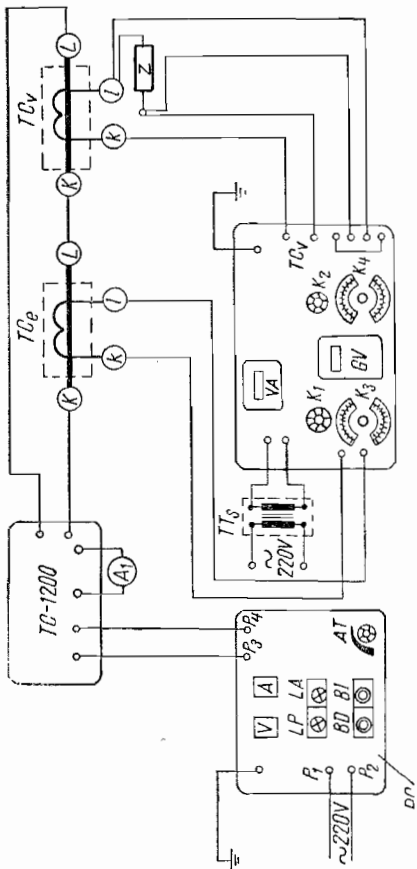


Fig. 5.50. Schema de montaj pentru măsurarea erorilor transformatoarelor de curent montate în instalații, cu trusa AIR.

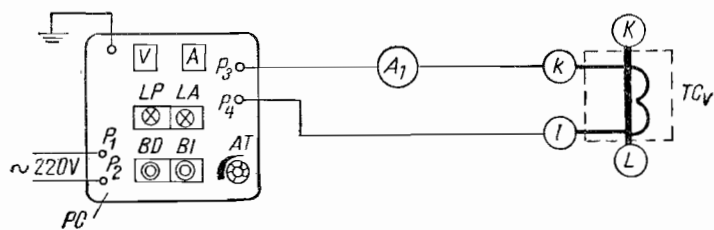


Fig. 5.51. Schema de montaj pentru ridicarea curbei volt-amper a transformatoarelor de curent.

toare, se execută montajul din fig. 5.51 și apoi măsurările ce urmează:

- Cu ajutorul lui AT din PC, se aplică înfășurării secundare a transformatorului TC_v tensiuni între 0 și 220 V,

pentru fiecare valoare a tensiunii aplicate citindu-se valoile corespunzătoare ale curentului. Citirile se fac în timpul creșterii tensiunii și nu în timpul coborîrii acesteia (nu se va depăși $2 I_n$).

— Cu valorile citite se trasează curba volt-amper, care poate avea una din formele indicate în fig. 5.52. Transforma-

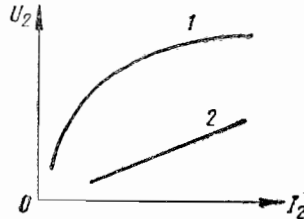


Fig. 5.52. Alura curbelor volt-amper ale transformatoarelor de curent:
1 — curba unui transformator corespunzător; 2 — curba unui transformator necorespunzător.

matorul verificat se consideră corespunzător dacă are o curbă volt-amper de forma 1 și necorespunzător dacă are o curbă de forma 2. Toate transformatoarele de curent de același tip folosite la o protecție diferențială sau filtru de secvență homopolară trebuie să aibă curbe de forma 1 identice (sau aproape suprapuse).

5.12. Măsurarea curentului de mers în gol al transformatoarelor de tensiune

Această măsurare se efectuează la punerea în funcțiune și după reparația înfășurărilor, cu ajutorul montajului din fig. 5.53. Cu ajutorul pupitrlui de comandă PC se ridică tensiunea pînă se ajunge la valoarea tensiunii nominale a înfășurării secundare a lui TT_v , care se citește pe voltmetrul V_1 . În momentul cînd transformatorul TT_v i s-a aplicat U_{2n} , se citește la miliampermetrul A_1 valoarea curentului absorbit de transformator. Transformatorul verificat TT_v se consideră corespunzător din acest punct de vedere, dacă valoarea măsurată a curentului nu diferă față de va-

lorile indicate de întreprinderea constructoare decît în limita clasei de precizie a aparatelor de măsurat.

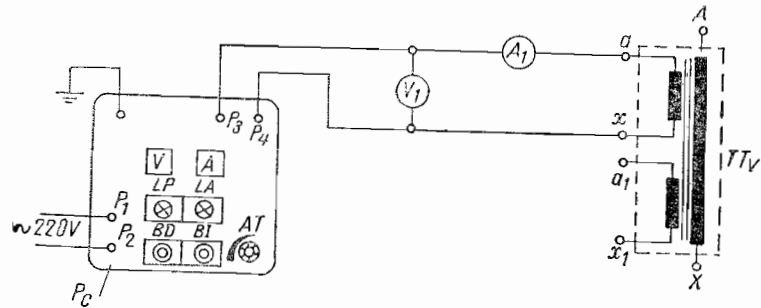


Fig. 5.52. Schema pentru măsurarea curentului de mers în gol al transformatoarelor de tensiune:
 PC — pupitru de comandă; TT_v — transformatorul supus verificării.

5.13. Măsurarea sarcinii secundare a transformatoarelor de măsură

5.13.1. Noțiuni generale

Cunoașterea sarcinii secundare a transformatoarelor de măsură prezintă o importanță deosebită, deoarece aceasta influențează erorile de măsură ale transformatoarelor. Din acest motiv trebuie să se măsoare sarcina secundară a transformatoarelor de măsură, la punerea lor în funcțiune și cînd apar modificări în circuitele secundare. Pentru a stabili dacă sarcina secundară a transformatoarelor de măsură nu este depășită, rezultatele măsurărilor trebuie comparate cu următoarele caracteristici ale acestora:

— Puterea nominală P_{2n} a transformatorului de tensiune, definită la § 5.10.2.

— Puterea nominală maximă P_{max} a transformatorului de tensiune (este puterea aparentă în volt-amperi, măsurată la bornele secundarului în regim de lungă durată, tensiunea primară avînd valoarea nominală, fără a se lua în considerare erorile și fără depășirea limitelor de încălzire admise ale diferitelor părți ale transformatorului).

— Puterea nominală P_n a transformatorului de curent exprimată în volt-amperi, care este definită ca fiind produsul dintre sarcina nominală Z_{2n} , în ohmi, și pătratul curentului nominal secundar I_{2n} , adică $P_{2n} = Z_{2n}I_{2n}^2$.

— Sarcina nominală secundară Z_{2n} este sarcina în secundarul transformatorului de curent, exprimată în ohmi (înscrisă pe plăcuța indicatoare), pentru care erorile nu trebuie să depășească limitele corespunzătoare clasei de precizie a transformatorului.

— Sarcina secundară Z_2 a transformatorului de curent este impedanța în ohmi a circuitului secundar exterior (format din aparatele și conductoarele de legătură), conectat la infășurarea secundară a transformatorului. Sarcina secundară conectată la transformatoarele de măsură poate fi apreciată după cum urmează:

1. În cazul transformatoarelor de tensiune este necesar să fie îndeplinită condiția $P_{2n} > P_2$ (P_2 fiind puterea absor-

Tabelul 5.19

Puterea consumată de aparatele conectate în secundarul transformatoarelor de tensiune [30]

Tipul aparatului	Denumirea aparatului	Puterea necesară pe fază, în VA
Indicator	Voltmetru electromagnetic	8
	Frecvențimtru	2,5
	Wattmetru ferodinamic	3,5
	Wattmetru de inducție	3,5
Înregistrator	Voltmetru Contor de inducție	15-20 0,7-5
Regulator	Regulator automat de tensiune tip BBC-I B 1/1 la 110 V	40
Relee	Minimal de tensiune	7-12
	De distanță	15-65
	De protecție contra punerilor la pămînt	15-25

bită de toate aparatele de măsurat și releele conectate la bornele secundare ale transformatorului, tabelul 5.19).

Dacă aparatele de măsurat și releele legate pe secundarul transformatorului de tensiune nu reprezintă sarcini pur active ci au un factor de putere $\cos \varphi < 1$, puterea absorbătă de ele (sarcina legată la transformator) se determină cu relația

$$P_2 = \sqrt{(\sum S_{aparat} \cos \varphi_{aparat})^2 + (\sum S_{aparat} \sin \varphi_{aparat})^2} = \\ = \sqrt{(\sum P_{aparat})^2 + (\sum Q_{aparat})^2},$$

în care: $\sum S_{aparat}$ este suma puterilor aparente absorbite de toate aparatele legate la secundarul transformatorului;

$\cos \varphi_{aparat}$ — factorul de putere al tuturor aparatelor legate la secundarul transformatorului;

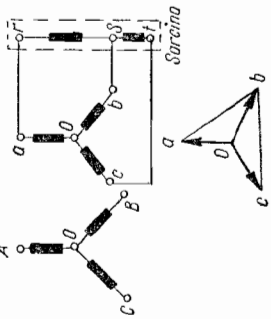
$\sum P_{aparat}$ — puterea activă absorbită de toate aparatele;

$\sum Q_{aparat}$ — puterea reactivă absorbită de toate aparatele.

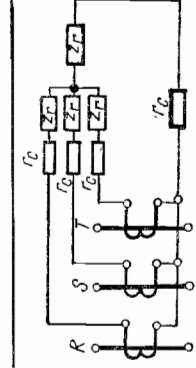
Întrucât nu toate fazele transformatorului de tensiune sunt încărcate egal este necesar să se determine puterea fazei celei mai încărcate și apoi să se compare cu puterea disponibilă pe fază a transformatorului, ținând cont de clasa de precizie necesară. La calculul puterii absorbite de aparatele de măsurat și relee (sarcina) din secundarul transformatorului monofazat de tensiune, respectiv a sarcinii pe o fază a transformatorului trifazat de tensiune, este necesar să se țină cont de schema de conexiuni a secundarelor transformatoarelor de tensiune și a aparatelor. Formulele de calcul al sarcinii fiecărei faze a transformatorului de tensiune, în funcție de schema de conexiuni a infășurărilor secundare și a aparatelor la aceste secundare, sunt indicate în tabelul 5.20.

2. În cazul transformatoarelor de curent, este necesar să fie îndeplinită condiția $Z_{2n} > Z_2$. Sarcina secundară Z_2 se calculează cu relațiile din tabelul 5.21, în funcție de schema

Relațiile de calcul al sarcinilor pe fiecare fază a transformatorului de tensiune [3]

Denumirea schemei de conexiuni	Schemă de conexiuni a înfășurărilor secundare ale transformatorului și a aparatelor	Faza	Re'atiile de calcul al sarcinilor activi și reactivi pe fază
		a	$P_{2a} = \frac{P_{rs}}{\sqrt{3}} \cos(\varphi_{rs} - 30^\circ)$ $Q_{2a} = \frac{P_{rs}}{\sqrt{3}} \sin(\varphi_{rs} - 30^\circ)$
		b	$P_{2b} = \frac{P_{rs}}{\sqrt{3}} \cos(\varphi_{rs} + 30^\circ) + P_{s,i} \cos(\varphi_{st} - 30^\circ)$ $Q_{2b} = \frac{P_{rs}}{\sqrt{3}} \sin(\varphi_{rs} + 30^\circ) + P_{s,t} \sin(\varphi_{st} - 30^\circ)$
		c	$P_{2c} = \frac{P_{st}}{\sqrt{3}} \cos(\varphi_{st} + 30^\circ)$ $Q_{2c} = \frac{P_{st}}{\sqrt{3}} \sin(\varphi_{st} + 30^\circ)$
	 <p>Legarea aparatelor de tip wattmetric la tensiunea de linie, pe secundarul transformatorului trifazat</p>		

Tabelul 5.21

Denumirea conexiunii secundarelor transformatoarelor de curent	Schemă de conexiuni a secundarelor transformatoarelor de curent	Tipul scurtcircuitului	Relația de calcul al sarcinii Z ₂ conectate la bornele secundare ale transformatorelor de curent	Codul schematic
Steauă		Trifazat și bifazat	$Z_2 = r_c + Z_r + r_t$	1
		Monofazat	$Z_2 = 2r_c + Z_r + Z_{ro} + r_t$	

Tabelul 5.21 (continuare)

Denumirea conexiunii secundarelor transformatoarelor	Schema de conexiuni a secundarelor transformatoarelor de curent	Tipul scutocircuitului	Relaia de calculat sursă Z ₂ conectată la bornele secundare ale transformatorilor de curent	Ce se face cu ea
Steauă incompletă		Trifazat	$Z_2 = \sqrt{3} r_c + Z_r + r_t$	1
Triunghi		Bifazat și monofazat	$Z_2 = 2r_c + Z_r + r_t$	$\sqrt{3}$
In opt		Trifazat și bifazat	$Z_2 = 3r_c + 3Z_r + r_t$	
		Monofazat	$Z_2 = 2r_c + 2Z_r + r_t$	
		Trifazat	$Z_2 = \sqrt{3}(2r_c + Z_r) + r_t$	
		Bifazat RT	$Z_2 = 4r_c + 2Z_r + r_t$	
		Bifazat RS și ST	$Z_2 = 2r_c + Z_r + r_t$	

de conexiuni a transformatorului de curent și în funcție de tipul scutocircuitului.

Notățiile din acest tabel au următoarea semnificație:

r_c este rezistența conductoarelor de legătură;

$r_t = 0,5 \dots 1 \Omega$ — rezistența de trecere (de contact);

Z_r — impedanța totală a bobinelor releeelor și aparatelor de măsurat (valorile ei se iau din prospecțele aparatelor respective).

Calculul aproximativ al puterii consumate de aparatelor conectate la bornele secundare ale transformatorilor de curent se poate efectua utilizând datele din tabelele 5.22 și 5.23.

Tabelul 5.22

Puterea consumată de diferitele apараты conectate la bornele secundare ale transformatorilor [30]

Tipul aparatului	Denumirea aparatului conectat la bornele infășurării secundare a transformatorilor de curent	Puterea necesară pe fază VA
Indicator	Ampermtru electromagnetic Ampermtru de inducție Wattmetru ferodinamic Wattmetru de inducție	0,7—3 3—5 3—5 1
Înregistrator	Ampermtru Contor de inducție	6—9 0,6—2
Regulator	Regulator automat de tensiune tip BBC-1 B VI la 5 A	100—120
Relee	De supracurent, electromagnetic De supracurent, termic Diferențial de curent De distanță	5—9 5—14

Tabelul 5.23

Puterea consumată de conductoarele de legătură, la trecerea unui curent de 5 A [30]

Tipul conductorului și secțiunea corespunzătoare, în mm ²	Puterea consumată într-un conductor bifilar cu o lungime de 10 m, în VA
Conductor de cupru de 2,5	3,5
Conductor de cupru de 4	2,2
Conductor de cupru de 6	1,5
Conductor de cupru de 10	0,9
Conductor de aluminiu de 2,5	11,5
Conductor de aluminiu de 4	7,5
Conductor de aluminiu de 6	5,0
Conductor de aluminiu de 10	3,0

5.13.2. Măsurarea sarcinii secundare a transformatoarelor de tensiune

După cum s-a arătat la § 5.13.1, pentru ca transformatorul de tensiune să nu iasă din clasa de precizie, este necesar să fie îndeplinită condiția $P_{2n} > P_2$. Puterea P_2 a aparatelor alimentate de transformator se poate scrie și sub forma

$$P_2 = U_{2n} I_2 = U_{2n} \frac{U_{2n}}{Z_2} = \frac{U_{2n}^2}{Z_2} = U_{2n}^2 Y_2,$$

unde Y_2 este inversul impedanței și se numește *admitantă*. Se observă de aici că puterea absorbită de aparatelor conectate la secundarul transformatorului va fi cu atât mai mică cu cât impedanța Z_2 formată de acestea va fi mai mare. Din acest motiv, impedanța Z_2 măsurată trebuie să fie mai mare decât impedanța nominală Z_{2n} a transformatorului de tensiune. Măsurarea impedanței Z_2 se poate face prin metoda volt-ampermetrică și prin metoda de măsurare cu trusa AIT.

Metoda volt-ampermetrică. Aceasta constă în aplicarea unei tensiuni egale cu U_{2n} , circuitului format de toate aparatelor conectate la secundarul transformatorului și măsurarea curentului absorbit de acest circuit. Măsurarea se efectuează cu ajutorul montajului din fig. 5.54, în care s-a luat, de exemplu, o celulă de măsură cu două transformatoare de tensiune tip TIRB-15, având raportul de transformare 15 000/100 V, legate în montaj V, care alimentează un circuit secundar compus din apărate de măsurat (V, W, var, Wh) și relee de tensiune RT. După ce transformatoare de tensiune s-au scos din funcțiune se dezleagă de la bornele secundare *ax* firele ce pleacă spre aparatelor de măsurat și relee, apoi firele se leagă ca în montajul din fig. 5.54. Cu ajutorul mînerului AT din PC, se regleză tensiunea la valoarea $U_{2n}=100$ V (care se citește la voltmetrul V_1) și cînd circuitului i s-a aplicat această tensiune, se citește indicația ampermetrului A_1 . Pentru obținerea valorii impedanței se împarte indicația voltmetrului V_1 la aceea a ampermetrului A_1 ($Z_2 = V_1/A_1$). După efectuarea acestei măsurări, tensiunea se aplică prin permutări circulare la fazele ST și TR procedind ca mai sus. Valoarea cea mai mică obținută la cele trei măsurări (RS, ST, TS), trebuie să fie mai mare decât Z_{2n} . În caz contrar, trebuie înălțurate o parte din apărate și relee sau trebuie alese alte redutoare cu P_{2n} mai mari.

Tabelul 5.24

Valoarea impedanței măsurate Z_2

Fazele între care se aplică tensiunea	Valorile citite		Valoarea calculată ($Z_2 = V_1/A_1$)
	la voltmetru V_1	la ampermetru A_1	
RS	100	1,2	83,3
ST	100	0,8	125
TR	100	0,7	143

La măsurare s-au citit valorile indicate în tabelul 5.24. Rezultă că impedanța Z_2 de pe fazele ST și TR corespunde, avînd valori mai mari decât $Z_{2n}=111 \Omega$, iar impedanța Z_2

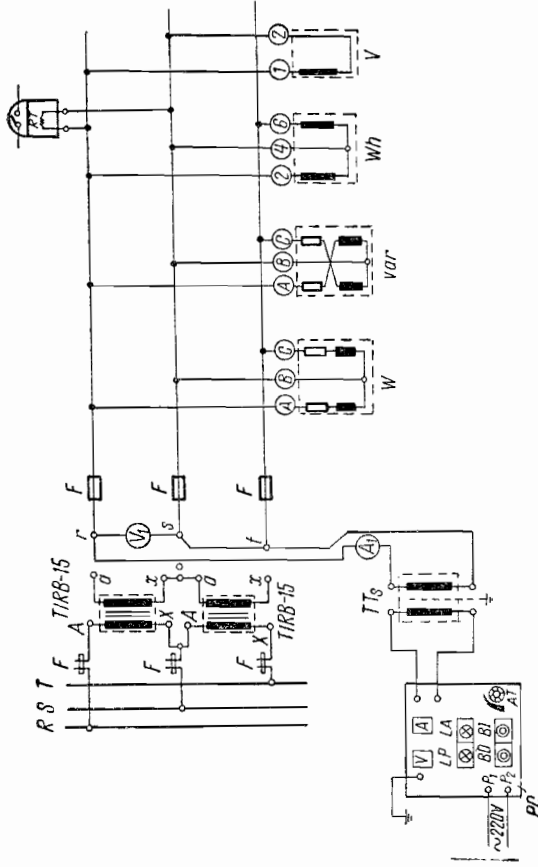


Fig. 5.54. Schema pentru măsurarea sarcinii secundare a transformatoarelor de tensiune, prin metoda volt-amper:
PC — pupitru de comandă TT_s ; TT_s — transformator de separare; V — voltmetru;
W — wattmetru; var — varmetru; Wh — contor de energie activă; TT_v — transformator de tensiune.

de pe fazele RS nu corespunde, având valoarea mai mică decât Z_{2n} . Pentru reglementare, în cazul de față problema poate fi rezolvată printr-o nouă redistribuire a aparatelor de măsurat și a retelelor între faze. Astfel, ar trebui deconectate aparatelor sau retelele alimentate de fazele RS și legate pe fazele ST , după care se refac măsurarea.

Metoda de măsurare cu trusa AIT. În fig. 5.55 este redată schema de principiu a trusei AIT, folosită în cazul măsurării sarcinii secundare a transformatoarelor de tensiune. La bornele rezistenței R_N (legată în serie în circuitul lui TT_v) se leagă prin galvanometrul GV potențiometrele F

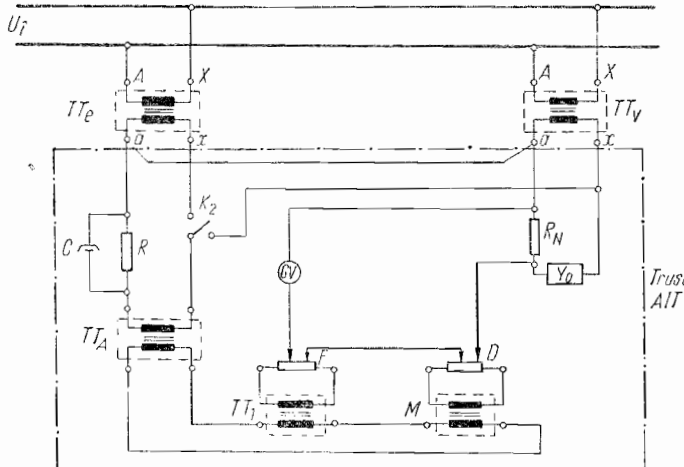


Fig. 5.55. Schema de principiu a trusei AIT pentru cazul măsurării sarcinii secundare a transformatoarelor de tensiune:

TT_e — transformator etalon; K_2 — comutator; C — condensator;
 TT_A — transformator auxiliar; TT_v — transformator de incercat;
 GV — galvanometru cu vibrații; R , R_N — rezistențe; TT_i — transformator;
 D , F — potențiometre cu fir; M — regulator de fază;
 Y_0 — admitanță.

și D , care compensează căderea de tensiune de pe R_N . Rezistența R_N este legată în serie cu admitanța Y_0 , conectată la bornele secundare ale lui TT_v . Prin comutatorul K_2 , se alimentează de la secundarul lui TT_v , schema de măsură a trusei AIT, care cuprinde și transformatorul TT_A . În

Tabelul 5.25

Valorile lui K'' pentru diferite poziții ale lui K_2 pe scara VIII [34]

Pozitia lui K_2 pe scala VIII, $10^{-4} \Omega$	3	10	30	100	300
Valorile lui K''	10^{-4}	$10 \cdot 10^{-4}$	$10 \cdot 10^{-4}$	$100 \cdot 10^{-4}$	$100 \cdot 10^{-4}$

în care α și β sunt diviziunile citite pe scalele indicate mai sus (ale comutatoarelor K_3 și K_4).

Se poate calcula și factorul de putere al sarcinii secundare cu relația

$$\cos \varphi = g_2 / \sqrt{g_2^2 + b_2^2};$$

cu valoarea obținută pentru Y_2 se calculează puterea absorbită de circuitul secundar ($P_2 = U^2 Y_2$), care trebuie să fie mai mică sau cel mult egală cu P_{2n} .

5.13.3. Măsurarea sarcinii secundare a transformatoarelor de curent

Conform celor precizate în § 5.13.1, condiția ce trebuie îndeplinită de transformatoarele de curent, din punctul de vedere al sarcinii ce poate fi conectată pe secundarul lor, este $Z_{2n} > Z_2$. Pentru măsurarea sarcinii secundare Z_2 a transformatoarelor de curent, se pot utiliza metodele indicate mai jos.

Metoda volt-ampermetrică. Aceasta constă în alimentarea circuitului format de aparatelor de măsurat și relee legate la bornele secundare ale transformatorului de curent cu un curent egal cu I_{2n} și măsurarea căderii de tensiune pe acest circuit. Pentru aceasta sedezlegă circuitul secundar exterior de la bornele k , l ale transformatorului și se leagă la sursa reprezentată prin pupitru de comandă PC, conform fig. 5.57.

Valoarea sarcinii secundare se obține împărțind valoarea tensiunii citite pe voltmetrul V_1 la valoarea curentului citită pe ampermetrul A_1 . Valoarea obținută trebuie să fie mai mică sau cel mult egală cu Z_{2n} .

acest caz, căderea de tensiune pe rezistența R_N arc o componentă activă g și una reactivă b , compensate de potențiometrele F , respectiv D . Schema de montaj pentru măsurarea efectivă a sarcinii este redată în fig. 5.42, dar se poate utiliza și schema de montaj din fig. 5.56. Pentru măsurarea sarcinii se efectuează aceleași operații ca și la măsurarea erorilor transformatoarelor de tensiune, cu deosebirea că K_2 se fixează pe una din pozițiile scalei VIII. Citirea rezultatelor se face: pe scara I a lui K_3 pentru pozițiile 10 și 100 ale lui K_2 , sau pe scara II pentru pozițiile 3;

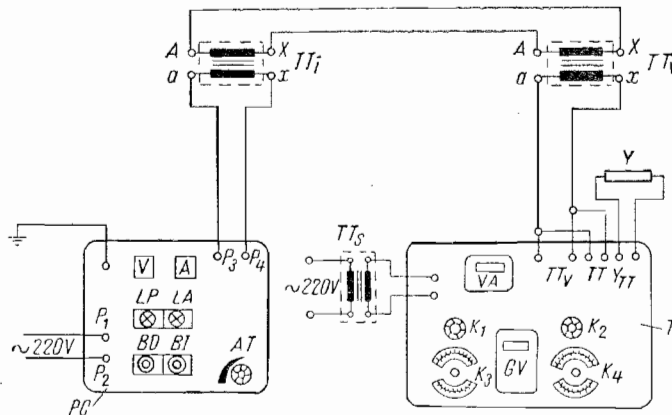


Fig. 5.56. Schema de montaj pentru măsurarea sarcinii secundare a transformatoarelor de tensiune:

T — trusa AIT; TT_v — transformatorul ce se verifică; TT_i — transformator de incercare; PC — pupitru de comandă; TT_s — transformator de separare; Y — cutie de impedanță.

30 și 300 ale lui K_2 (pentru g_2); pe scara IX pentru poziția 100 respectiv pe scara X pentru pozițiile 3; 30 și 300 ale lui K_2 (pentru b_2). Rezultatele citirilor se înmulțesc cu un coeficient K'' , ale căruia valori sunt indicate în tabelul 5.25.

Valoarea sarcinii secundare se obține cu relațiile:

$$g_2 = K'' \alpha;$$

$$b_2 = K'' \beta;$$

$$Y_2 = 1/Z = \sqrt{g_2^2 + b_2^2},$$

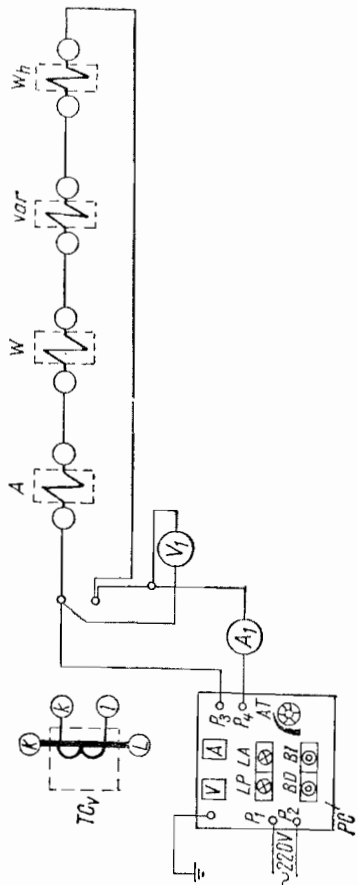


Fig. 5.57. Schema de montaj pentru măsurarea sarcinii secundare a transformatoarelor de curent cu trusa AIT:
PC — pupitru de comandă; TC_v — transformatorul la care se verifică sarcina secundară; A_1 — ampermetrul; V_2 — milivoltmetru; W — bobină de curent a wattmetrului; Wh — bobină de curent a varmetrului;

Metoda de măsurare cu trusa AIT. Schema de principiu folosită pentru măsurarea sarcinii secundare a transformatoarelor de curent cu trusa AIT este cea din fig. 5.58, principiul de funcționare fiind același ca la măsurarea sarcinii transformatoarelor de tensiune, cu deosebirea că în cazul de față, rezistența R_N este înlocuită de către divizorul de tensiune D_2 , legat în paralel cu sarcina Z_2 a circuitului secundar exterior. Cu ajutorul lui F și D se compensează căderile de tensiune activă și reactivă pe divizorul D_2 . Schema de montaj pentru efectuarea practică a măsurării este cea din fig. 5.50, dar poate fi folosită și schema din fig. 5.59. Pentru efectuarea măsurării sarcinii secundare Z_2 , se execută aceleși operații ca și la măsurarea sarcinii secundare a transformatoarelor de tensiune, cu deosebirea că indicațiile de pe scalele I sau II (pentru componenta activă R_2), respectiv de pe scalele IX sau X (pentru componenta reactivă X_2) se înmulțesc cu coeficientul K''' , ale cărui valori sunt indicate în tabelul 5.26.

Tabelul 5.26

Valorile lui K''' pentru diferite poziții ale lui K_2 pe scara VII [34]

Pozitia lui K_2 pe scala VII Ω	0,3	1	3	10	30
Valorile lui K'''	0,1	1	1	10	10

Valorile sarcinii secundare se obțin în felul următor:

$$R_2 = K''' \alpha;$$

$$X_2 = K''' \beta;$$

$$Z_2 = \sqrt{R_2^2 + X_2^2}; \cos \varphi = \frac{R_2}{\sqrt{R_2^2 + X_2^2}},$$

în care α și β sunt diviziunile citite pe scalele K_3 și K_4 . Valoarea obținută pentru Z_2 din relațiile de mai sus trebuie să fie mai mică, cel mult egală cu Z_{2n} .

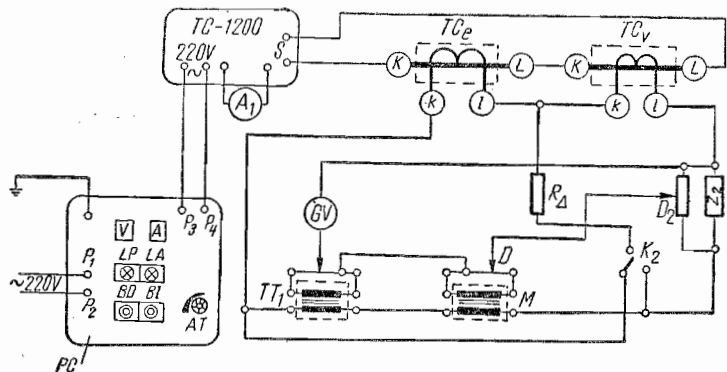


Fig. 5.58. Schema de principiu pentru măsurarea sarcinii secundare a transformatoarelor de tensiune cu trusa AIT:
PC — pupitru de comandă; TC — trusa de 1200 A; TC_e — transformator de curenț etalon; TC_v — transformatorul ce se încearcă.

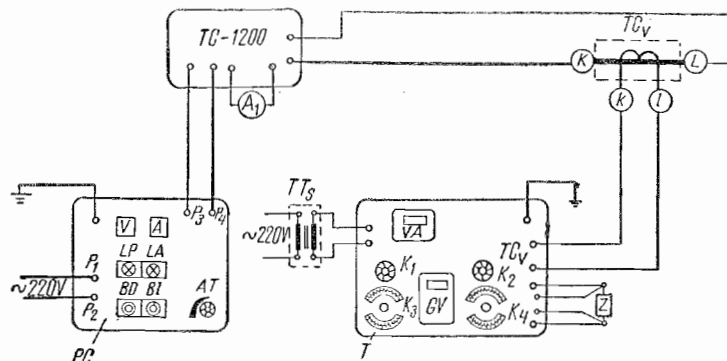


Fig. 5.59. Schema de montaj folosită pentru măsurarea sarcinii secundare a transformatoarelor de curenț:
PC — pupitru de comandă; TC — trusa de 1200 A; TC_v — transformatorul ce se încearcă; TT_s — transformator de separare; T — trusa AIT.

Bibliografie

1. Aptov, I. S. și Homeakov, M. V. **Cum se întreține uleiul electroizolant**. București, Editura tehnică, 1963.
2. Avramescu, A. **Solicitările echipamentului de foarte înaltă tensiune**. În: Revista Electrotehnica, nr. 12, 1959.
3. Badea, I. s.a. **Protecția și automatizarea sistemelor electrice**. București, Editura tehnică, 1963.
4. Badea, I. s.a. **Exploatarea instalațiilor de protecție și automatizare ale sistemelor electrice**. București, Editura tehnică, 1964.
5. Baida, L. I. s.a. **Curs general de măsuri electrice**. București, Editura energetică de stat, 1953.
6. Butchevici, I. V. s.a. **Partea electrică a centralelor și a stațiilor electrice**. București, Editura energetică de stat, 1953.
7. Constantinescu, V. **Măsurarea rezistenței de izolație**. București, Editura tehnică, 1963.
8. Cîrstea, D. s.a. **Încercarea transformatoarelor II**. București, Editura tehnică, 1967.
9. Costina, D. s.a. **Studii experimentale privind nivelul de izolare la impuls de tensiune al seriei noi de transformatoare de 110 kV**. În: Revista Electrotehnica, nr. 11, 1959.
10. Drăgan St. și Gavrilă I. **Îndrumător pentru lucrări de laborator la materiale electrotehnice**. Cluj, Atelierul de multiplicare al bibliotecii centrale a Institutului Politehnic, 1965.
11. Drăgan, St. și Paian, S. **Îndrumător pentru lucrări de laborator la apărate electrice**. Cluj, Atelierul de multiplicare al bibliotecii centrale a Institutului Politehnic, 1965.
12. Dronault, A. **Description du transformateur étalon de 1000 à 50 000 A, tension de service 220 kV**. În: Revue Générale de l'Électricité, No. 9, 1966.
13. Gorgeuil, J. C. **Comportement des réducteurs de tension en régime transitoire**. În: Revue Générale de l'Électricité, No. 6, 1966.
14. Hortopan, Gh. **Tehnica impulsului în laboratorul de înaltă tensiune**. București, Editura tehnică, 1965.

15. Harry, S. Metode de întreținere în exploatare a uleiului de transformator. Vol. I și II, București, I.D.T., 1962.
16. Kondor, T. Tranzistoros feszültségátalakítók. In: Elektrotehnika, No. 4, 1965.
17. Lază, C. și Corlățeanu, V. Mașini electrice. Vol. I, București, ESDP, 1962.
18. Lefebvre, M. Calcul et réalisation d'une maquette de transformateur de courant 220 kV, destiné à la mesure en régime transitoire. In: R.G.E., No. 9, 1966.
19. Mauduit, A. Installations électriques à haute et basse tension. Tom. II, Paris, Dunod, 1959.
20. Nanu, A. Încercarea materialelor electrotehnice. București, Editura tehnică, 1960.
21. Petry, H. Betriebssicherheit von Hochspannungsmesswandern und die zum Nachweisserforderlichen Prüfungen. In: ETZ—A, No. 10, 1966.
22. Rebus, W. Transformatoren. In: ETZ, 1966.
23. Sohier, J. s.a. Comportament des transformateurs de courant en régime asymétrique de courtcircuit. In: R.G.E., No. 6, 1966.
24. Steinberg, C. Teoria și proiectarea aparatelor electrice. Vol. I, București, ESDP, 1964.
25. Săndulescu, L. Încercarea la impuls a echipamentului electro-energetic aflat în exploatare. București, Sesiunea IRME, 1966.
26. Tutovan, V. Introducere în măsurările electrice și magnetice. București, ESDP, 1962.
27. D.G.M.S.I. Instrucțiuni nr. 75/1967 pentru verificarea transformatoarelor de tensiune, 1968.
28. D.G.M.S.I. Instrucțiuni nr. 69/1967 pentru verificarea transformatoarelor de curent, 1967.
29. M.E.E. Regulament de exploatare tehnică a centralelor și rețelelor electrice. București, O.D.P.T., 1967.
30. M.E.E. Normativ 3E-1-1967 de încercări și măsurări la echipamente și instalații electrice, la punerea în funcțiune și în exploatare. București, O.D.P.T., 1967.
31. M.I.C.M. Catalog de aparete electrice de I.T. Vol. II, București, O.D.P.T., 1967.
32. * * * Instrucțiuni de exploatare pentru puntea Schering de gabarit mic, tip MD-16.
33. * * * STAS 118-49; 286-63; 35-58; 811-61; 5489-56; 117-66; 23-50; 22-64; 38-64; 33-54; 6798-67; 178-49; 39-56; 30-51; 2740-60; 24-64; 7573-66.
34. * * * Instrucțiuni de exploatare pentru trusa AIT.

Cuprins:

1. Principiile de funcționare ale transformatoarelor de măsură	3
1.1. Bazele teoretice ale funcționării transformatoarelor de măsură	3
1.2. Rolul transformatoarelor de măsură și domeniul lor de utilizare	4
1.3. Clasificarea transformatoarelor de măsură	5
1.4. Caracteristicile transformatoarelor de măsură	7
1.4.1. Caracteristicile transformatoarelor de tensiune	7
1.4.2. Caracteristicile transformatoarelor de curent	8
1.5. Comportarea transformatoarelor de măsură în diferite regimuri de funcționare ale sistemului electroenergetic	9
1.6. Alegerea transformatoarelor de măsură	10
1.6.1. Alegerea transformatoarelor de tensiune	10
1.6.2. Alegerea transformatoarelor de curent	11
2. Tipurile constructive și schemele electrice interioare ale transformatoarelor de măsură	15
2.1. Transformatoare de fabricație românească	15
2.1.1. Transformatoare de tensiune	15
2.1.2. Transformatoare de curent	19
2.2. Transformatoare de fabricație străină	26
3. Principiile de exploatare ale transformatoarelor de măsură	29
4. Schemele de legare a transformatoarelor de măsură în instalațiile electroenergetice	30
4.1. Noțiuni generale	30
4.2. Schemele de legare a transformatoarelor de tensiune	33
4.2.1. Schema de legare pentru măsurarea tensiunii între faze	33
4.2.2. Schema de legare în V	34

4.2.3. Schema de legare în stea	35	5.10.3. Măsurarea raportului de transformare al transformatoarelor de curent	120
4.3. Schemele de legare a transformatoarelor de curent	39	5.10.3.1. Metoda directă	124
4.3.1. Schema de legare a două transformatoare în stea incompletă	39	5.10.3.2. Metoda indirectă	126
4.3.2. Schema de legare a trei transformatoare în stea	40	5.10.3.3. Metoda comparației	127
4.3.3. Schema filtrului de sevență homopolară	41	5.11. Ridicarea curbei volt-amper a transformatoarelor de curent	133
4.3.4. Schema de legare în triunghi	42	5.12. Măsurarea curentului de mers în gol al transformatoarelor de tensiune	134
4.3.5. Schema de legare în opt	44	5.13. Măsurarea sarcinii secundare a transformatoarelor de măsură	135
4.3.6. Schema cu înfășurările secundare ale transformatoarelor legate în serie	47	5.13.1. Notiuni generale	135
4.3.7. Schema cu înfășurările secundare ale transformatoarelor legate în paralel	47	5.13.2. Măsurarea sarcinii secundare a transformatoarelor de tensiune	142
5. Verificări și încercări ale transformatoarelor de măsură	48	5.13.3. Măsurarea sarcinii secundare a transformatoarelor de curent	147
5.1. Notiuni generale	48	Bibliografie	151
5.2. Verificarea aspectului exterior	50		
5.3. Încercarea uleiului din transformatoarele de măsură	51		
5.4. Măsurarea rezistenței de izolație	54		
5.4.1. Notiuni generale și aparatul folosit	54		
5.4.2. Măsurarea rezistenței de izolație a înfășurărilor transformatoarelor de măsură	58		
5.5. Măsurarea tangentei unghiului de pierderi dielectrice ($\tg \delta$) al izolației transformatoarelor de măsură	59		
5.6. Încercarea izolației cu tensiune alternativă mărită de frecvență industrială	63		
5.6.1. Notiuni generale	68		
5.6.2. Efectuarea încercărilor	69		
5.7. Încercarea izolației cu tensiune de impuls	74		
5.8. Măsurarea rezistenței înfășurărilor	76		
5.8.1. Notiuni generale și metode de măsurare	76		
5.8.2. Efectuarea măsurărilor	79		
5.9. Determinarea polarității bornelor	81		
5.9.1. Notiuni generale	81		
5.9.2. Verificarea polarității bornelor transformatoarelor de tensiune	83		
5.9.3. Verificarea polarității bornelor transformatoarelor de curent	87		
5.9.4. Verificarea legării grupelor de trei transformatoare de curent folosite pentru protecția diferențială	90		
5.10. Determinarea raportului de transformare și a erorilor de raport și de unghi	91		
5.10.1. Notiuni generale	91		
5.10.2. Măsurarea raportului de transformare și a erorilor de raport și de unghi ale transformatoarelor de tensiune	103		
5.10.2.1. Metoda directă	105		
5.10.2.2. Metoda comparației	111		